

C U R

**Grafik dan Tabel
Perhitungan
Beton Bertulang**

Berdasarkan SKSNI T-15-1991-03

Oleh :

Ir. Gideon H. Kusuma, M. Eng.

SERI BETON

4



Lentera Karya

www.lenterakarya234.blogspot.com

Grafik dan Tabel Perhitungan Beton Bertulang

Disusun oleh:

Ir W. C. Vis

(Direktur Konsultan Engineering Teknik Sipil W. C.

Ir Gideon Kusuma M. Eng

(Dosen Fakultas Teknik jurusan Teknik Sipil

Universitas Kristen Petra Surabaya)

Daftar Isi

GRAFIK DAN TABEL PERHITUNGAN BETON BERTULANG

Hak Cipta © 1993

Disusun oleh : Ir. W. C. Vis
(Direktur Konsultan Engineering Teknik Sipil W. C. Vis)

Ir Gideon Kusuma M. Eng
(Dosen Fakultas Teknik jurusan Teknik Sipil
Universitas Petra Surabaya)

Penerjemah : Ir. S.T Utomo

Editor : Ir. Purnomo Wahyu Indarto

JATA PENGANTAR HAKI	vii
XATA PENGANTAR	viii
PINDAHULUAN.....	1
satuan-satuan	2
BAB 1. PRINSIP-PRINSIP PERENCANAAN	5
1.1.a Petunjuk menghitung - umum	6
1.1.b Petunjuk menghitung - umum	7
1.1.c Petunjuk menghitung - umum	8
1.1.d Petunjuk menghitung - umum	9
1.2.a Petunjuk menghitung - umum	10
1.2.b Petunjuk menghitung - umum	11
BAB 2. TABEL-TABEL TULANGAN	13
2.1.a Tebal Minimum Penutup Beton Tulangan Terluas dalam Satuan mm.....	14
2.2.a Kondisi Batang Tulangan	15
2.2.b Petunjuk Penulangan	16
2.3. Tulangan Baja dengan Kawat Jaring Kawat Baja Tulangan	17
BAB 3. PANJANG PENJANGKARAN	19
3.1. Panjang Penjangkaran Dasar I_{cb} untuk Batang Tulangan Tarik	20
3.2. Panjang Penjangkaran Dasar I_{cb} untuk Batang Tulangan Kompresi	20
BAB 4. DISTRIBUSI GAYA-GAYA	23
4.1 Koefisien Momen dikalikan $W_s L_u^2$	24
4.2 Pelat - Umum	26
4.3 Pelat	28
BAB 5. LENTUR TANPA BEBAN AKSIAL	41
5.1 Lentur Tanpa Beban Aksial Pada Penampang persegi	42
5.1.a Mutu Beton f'_c 15	44
5.1.b Mutu Beton f'_c 20	45
5.1.c Mutu Beton f'_c 25	46

5.1.d. Mutu Beton f_c 30	47
5.1.e. Mutu Beton f_c 35	48
5.1.f. Mutu Beton f_c 15	49
5.1.g. Mutu Beton f_c 20	50
5.1.h. Mutu Beton f_c 25	51
5.1.i. Mutu Beton f_c 30	52
5.1.j. Mutu Beton f_c 35	53
5.2. Lentur Tanpa Beban Aksial pada Penampang Persegi dengan Penulangan Tarik Maupun Tekan	54
5.3. Lentur Tanpa Beban Aksial pada Penampang Persegi dengan $\rho' = 0,50 \rho$	57
5.3.a. Mutu Beton f_c 15 dengan Tulangan Tekan	59
5.3.b. Mutu Beton f_c 20 dengan Tulangan Tekan	60
5.3.c. Mutu Beton f_c 25 dengan Tulangan Tekan	61
5.3.d. Mutu Beton f_c 30 dengan Tulangan Tekan	62
5.3.e. Mutu Beton f_c 35 dengan Tulangan Tekan	63
5.3.f. Mutu Beton f_c 15 dengan Tulangan Tekan	64
5.3.g. Mutu Beton f_c 20 dengan Tulangan Tekan	65
5.3.h. Mutu Beton f_c 25 dengan Tulangan Tekan	66
5.3.i. Mutu Beton f_c 30 dengan Tulangan Tekan	67
5.3.j. Mutu Beton f_c 35 dengan Tulangan Tekan	68
5.4. Penulangan Pelat	69
BAB 6. LENTUR DENGAN BEBAN AKSIAL	70
6.1. Beban Lentur dengan Beban Aksial	71
BAB 7. PERENCANAAN KOLOM	72
7.1.a. Perencanaan Kolom pada Struktur dengan Penahan Pengaku	73
7.2. Merencanakan Kolom pada Struktur Tanpa Penahan	74
7.2.b. Diagram Alir Perencanaan Kolom pada Struktur Tanpa Penahan	75
7.2.a. Tabel untuk Menentukan I_{se} dan I_{se}/I_g	76
7.2.b. Nilai untuk Kolom	77
BAB 8. GESEN	78
8.1. Gaya Lintang	79
8.2.a. Tabel Geser	80
BAB 9. LENDUTAN	81
9.1. Lendutan	82
9.2. Penjelasan	83
9.3.a. Tabel untuk Menentukan $M_\alpha = C_3 \cdot 10^6 \text{ Nmm}$	84
BAB 10. RETAK	85
10.1. Tabel untuk Jarak Maksimum Tulangan S_{max} dalam Satuan mm bila Retakan tidak Diperhitungkan	86

Kata Pengantar

HAKI

Adalah merupakan suatu kehormatan bagi kami Himpunan Ahli Konstruksi Indonesia untuk memberikan Kata Pengantar bagi buku ini. Hal ini terutama disebabkan oleh kondisi pada saat ini di mana kita bersama sedang menjalani transisi penggunaan dari Standar Tata Cara Penghitungan Struktur beton untuk Bangunan Gedung – SK SNI T-15-1991-03. Hadirnya suatu buku referensi dalam bahasa Indonesia yang menyajikan penjelasan dasar dan uraian mengenai beberapa latar belakang dari konsep yang diadopsi dalam Standar Beton 1991 ini jelas merupakan suatu dukungan yang sangat berarti. Makna dukungan ini makin terasa karena memang hingga saat ini belum hadir referensi lain, dalam bahasa Indonesia, yang mampu mengisi kebutuhan tersebut. Dapat dikatakan bahwa dengan hadirnya buku ini, selalu membantu seorang teknisi Sipil untuk selalu mengikuti perkembangan ilmu teknik apalagi khususnya teknik beton, dapat lebih mudah dijangkau.

Menarik untuk disimak upaya penyajian yang disampaikan oleh Team Penulis di mana bukan saja perumusan matematis dari formula yang dipakai yang dikemukakan, tetapi disampaikan juga uraian akan filosofi dari masalah yang ditinjau yang disampaikan secara berurutan, elegan, dan dalam bahasa teknis yang mudah dimengerti. Ini merupakan langkah yang relatif jarang kita jumpai dalam buku referensi lainnya. Langkah ini memberi kesempatan pada mereka yang berminat untuk mendalami masalah untuk mengembangkan penguasaannya untuk mencari solusi akan masalah yang lebih kompleks. Sebagai tenaga pengajar yang juga aktif berprofesi di lapangan, pengalaman kami menunjukkan bahwa langkah ini sangat positif. Kami sarankan, bagi mereka yang ingin mengerti secara lebih dalam, untuk secara "sabar" memerlukan urutan uraian yang disajikan. Kami sangat menyarankan agar pembaca tidak tertarik pada formula formula yang ada, tetapi juga menyelami latar belakang dari "lahirnya" formula tersebut.

Walaupun belum dapat dikatakan lengkap, uraian yang disajikan bisa berfungsi sebagai jembatan bagi pembaca untuk memudahkan upaya untuk memahami secara lebih mendalam uraian yang termuat dalam referensi dasar dari sumber Standar Beton 1991, yaitu Standar ACI 318-86 dan Standar New Zealand NZS 3101-1982 Part 1 dan 2, dan NZS 4203-1984.

Kami ucapkan selamat kepada Team Penulis yang telah berhasil dengan baik menyajikan suatu referensi dasar yang mendukung Standar Beton 1991 yang baru.

Jakarta, 15 Juli 1993

Draijat Hoedajanto STSi, MEng, PhD.
Ketua

Kata Pengantar

Dengan diberlakukannya SKSNI-T15-03-1991, dirasa perlu untuk meninjau kembali buku "Perhitungan Perencanaan Sederhana untuk Beton Bertulang" oleh W.C Vis dan R. Sagel, yang diterbitkan oleh STUVO, anggota dari perkumpulan FIP, negeri Belanda.

Bertalian dengan pertanyaan-pertanyaan yang diajukan dalam Simposium di Bandung bulan Oktober 1987, maka diputuskan oleh CUR-Commissie F-1, agar peluang yang ditimbulkan oleh penyesuaikan buku tersebut sekaligus dipergunakan untuk memperluas maksud keseluruhan dengan menerbitkan tiga buku yang satu sama lain ada kaitannya, yaitu:

- Buku tentang Dasar-dasar Perencanaan Beton Bertulang menurut SKSNI-T15-1991-03.
- Buku pedoman penggerjaan Beton oleh Ir Gideon K. R. Sagel, dan P. Kole.
- Buku tentang Perencanaan Struktur Rangka Beton Bertulang di daerah Gempa menurut SKSNI-T15-1991-03 oleh Ir Gideon. K. dan Ir Takim Andriono.
- Buku tentang Grafik dan Tabel menurut SKSNI-T15-1991-03 oleh Ir W.C. Vis dan Ir Gideon. K.

Buku Grafik dan Tabel Perhitungan Beton Bertulang

Bab pendahuluan mencakup ikhtisar satuan dan hubungan antara satuan-satuan SI dan satuan teknis yang dahulu dipakai, demikian pula daftar isi buku grafik dan tabelnya.

Bab pertama memberikan aturan perhitungan yang berlaku secara umum untuk penentuan momen pada konstruksi statis tertentu dan statis tidak tertentu serta bahan keterangan tentang penentuan titik berat dan momen inertia dari balok-balok T.

Bab kedua menyangkut keterangan-keterangan umum tentang penutup beton dan jumlah-jumlah penulangan, seperti diameter dan penampang batang, perihal kombinasi batang-batang dan penulangan jaring.

Bab ketiga menyangkut panjang perjangkaran, dimana diberikan kepanjangan-kepanjangan menurut teori maupun yang berlaku dalam praktik.

Bab keempat memberikan pembagian momen pada balok yang statis tidak tertentu dan pelat-pelat beton yang memikul beban pada dua arah.

Bab kelima ialah untuk penentuan penulangan pada beban lentur tanpa gaya normal dan mencakup tabel-tabel /atau grafik-grafik untuk:

- penulangan tarik bagi $\phi = 0,8$ dan $\phi = 1,0$
- penulangan tekan bagi sembarang nilai dari ϕ
- penulangan tarik dan 50% penulangan tekanan untuk $\phi = 0,8$ dan $\phi = 1,0$
- hubungan antara M_s , A_s , dan d pada lantai dengan variabel ρ

Bab keenam diperuntukkan bagi penentuan penulangan pada beban lentur dengan gaya normal

kolom persegi panjang dengan penulangan simetrik dua-sisi

kolom persegi panjang dengan penulangan simetrik empat-sisi

kolom kolom bulat

Bab ketujuh ialah untuk penentuan momen-momen pada kolom-kolom konstruksi yang ditahan mempunyai yang tidak di tahan. Disamping diagram alir bagi penghitungan juga diberikan grafik-grafik dan daftar tabel untuk penentuan E.I.

Bab kedelapan diperuntukkan untuk penentuan kapasitas gaya lintang dari penampang dan mencakup grafik dan tabel untuk :

penentuan V_c pada berbagai nilai

penentuan V_c pada berbagai diameter, kelebaran balok dan jarak sengkang dari (as) ke (as)

penentuan $V_{c\max}$ bagi berbagai nilai d dan b

Bab kesembilan memberikan disamping syarat kelangsungan menurut peraturan, juga suatu metode perhitungan untuk menentukan kelengkungan pelat-pelat massif dengan bantuan grafik dan tabel.

Pada akhirnya bab kesepuluh memberikan tabel untuk lebar maksimum bagi ruang antara penulangan pada pelat dan balok, dimana tidak perlu lagi adanya perhitungan lebar retak.

Bab ini sebagian diambil atau dikembangkan dari Skripsi/Tugas Akhir no. 374.S. Tabel sebagai dasar perencanaan diambil menurut draft PBI'1988 oleh Bambang H dan Soewarno yang diterima di Jurusan Teknik Sipil - Fakultas Teknik Universitas Kristen Petra dengan dosen pembimbing Ir. M. A. T. M. Sc. dan Ir. Gideon H. K. M. Eng.

Dikarenakan Belanda dan Indonesia pekerjaan tersebut dikoordinasikan oleh CUR-Commissie F-1 kerjasama dengan Indonesia - Samenwerking met Indonesië". Susunan "Kerjasama dengan Indonesia Samenwerking met Indonesië":

Indonesia Team F-1 terdiri dari Sijabat, Ir. H. J; Wiratman, Dr. Ir. W; Purwono, Prof. Ir. R; Shahab, Ir. H. Trianto, Ir. L; Rooseno, Prof. Dr. Ir; Besari, Prof. Dr. Ir. S; Simanjuntak, Ir. J. H; Limassale, Ir. T. P. Baharta, Ir. Sunito, Ir. F. S

Belanda Team CUR F-1 terdiri dari Bijker, Prof. Dr. Ir. E. W; Breusers, Ir. N. H. C; Bruggeling, Prof. dr. Ir. A. S. G; Jansma, Ir. P. H; Kole, Ing. P; Kusuma, Ir. G. H; Mans, Ir. D. G; Nieboer, Ir. H.J.C; Oud, Ir. H. J. C; Sagel, Ing. R; Stoelehorst, Ir. D; Vechgel, Drs. R. H. W. van; Ven, Drs. B. A. F. van der Verthagen, Ir. H. J; Vis, Ir. W.C; Zanetti, Ir. R.A.

Pembimbing penyusun terdiri: dari Indonesia Sijabat, Ir. H. J; Purwono, Prof. Ir. S; Limassale, Ir. S. P. dan dari Belanda Meyer, Ir. S. F; Jansma, Ir. P. H; Blanckers, Ir. B. A.

Juga dicantumkan Ir. S.T. Utomo yang telah menterjemahkan buku ini dari bahasa Belanda ke dalam bahasa Indonesia.

Alhamdulillah ucapan terima kasih kepada perkumpulan pabrik semen Belanda yang telah mengijinkan pemindahan data dari buku CB 19 Pelaksanaan Beton Konstruksi yang mana Ing. R. Sagel adalah salah satu penulis buku tersebut.

Pendahuluan

SATUAN-SATUAN

Penggunaan satuan yang dipakai dalam Grafik dan Tabel Perencanaan Beton bertulang ini, termasuk 'Système International Unites' (sistem satuan internasional, disingkat sebagai satuan-satuan SI).

Satuan-satuan SI

Satuan-satuan dasar		
Besaran dasar	Dinyatakan	Simbol
panjang	meter	m
massa	kilogram	kg
thermodynamis temperatur	kelvin	K
arus listrik	ampere	A
kekuatan cahaya	kandela	cd
jumlah materi	mol	mol

Satuan-satuan yang diturunkan		
Besaran yang diturunkan	Dinyatakan	Simbol
gaya	newton	N = kgm/dt ²
tenaga, energi	joule	J = m ² kg/dt ²
frekuensi	hertz	Hz = dt ⁻¹
gaya	pascal	Pa = N/m ²
luas penampang		

Dalam satuan-satuan ini digunakan prefiks sebagai berikut:

$$\begin{array}{ll}
 T \text{ (tera)} & = 10^{12} \\
 G \text{ (giga)} & = 10^9 \\
 M \text{ (mega)} & = 10^6 \\
 k \text{ (kilo)} & = 10^3
 \end{array}
 \quad
 \begin{array}{ll}
 m \text{ (milli)} & = 10^{-3} \\
 \mu \text{ (micro)} & = 10^{-6} \\
 n \text{ (nano)} & = 10^{-9} \\
 p \text{ (pico)} & = 10^{-12}
 \end{array}$$

Satuan panjang yang disarankan pada susunan SI adalah mm, m, dan km.

Hubungan satuan SI — Satuan "lama" (susunan satuan teknis) g = 10 m/dt².

		SI	lama	lama	SI
gaya		1 N	0,1 kgf	1 kgf	10 N
		1 kN	100 kgf	1 tf	10 kN
gaya per panjang		1 N/m	0,1 kg	1 kgf/m	10 N/m
		1 kN/m	100 kgf/m	1 tf/m	10 kN/m
gaya per luas penampang		1 N/m ²	0,1 kgf/m ²	1 kgf/m ²	10 N/m ²
		1 kN/m ²	100 kgf/m ²	1 tf/m ²	10 kN/m ²
		1 N/mm ²	10 kgf/cm ²	1 kgf/cm ²	0,1 N/mm ²
gaya per volume		1 N/m ³	0,1 kgf/m ³	1 kgf/m ³	10 N/m ³
		1 kN/m ³	100 kgf/m ³	1 tf/m ³	10 kN/m ³
		1 MN/m ³	100 tf/m ³		
moment dari suatu gaya		1 Nm	0,1 kgfm	1 kgfm	10 Nm
		1 kNm	100 kgfm	1 tfm	10 kNm
tenaga	I J = 1 Nm		0,1 kgfm	1 kgfm	10 J
perbedaan temperatur		1 K	1 °C	1 °C	1 K
temperatur nivo		0 K	-273 °C	0 °C	+ 273 K

BAB

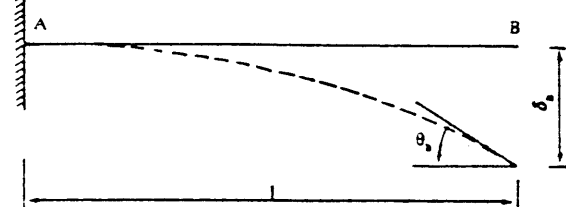
Prinsip Prinsip
Perencanaan

I

Grafik dan Tabel Perputaran Belon Bentukung

1.1.a Petunjuk menghitung — umum
Momen, reaksi, perputaran sudut, defleksi.

o gelagar



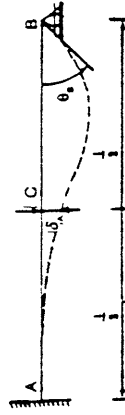
Beban	R_1	M_1	θ_s	δ_s
	F	$-Fl$	$\frac{Fl^2}{2EI}$	$\frac{Fl^3}{3EI}$
	wl	$\frac{wl^2}{2}$	$\frac{wl^2}{6EI}$	$\frac{wl^4}{8EI}$
	$\frac{wl}{2}$	$\frac{wl^2}{6}$	$\frac{wl^3}{24EI}$	$\frac{wl^4}{30EI}$
	0	0	$\frac{\Delta T \alpha l}{h}$	$\frac{\Delta T \alpha l^2}{2h}$

o Petunjuk menghitung — umum

o gelagar, perputaran sudut, defleksi

Beban	R_1	M_1	θ_s	δ_s
	$\frac{F}{2}$	$\frac{Fl}{4}$	$\frac{Fl^2}{16EI}$	$\frac{Fl^3}{48EI}$
	$\frac{Fb}{l}$	$\frac{Fa(l+b)}{6EI}$	$\frac{Fab(l+a)}{6EI}$	$\frac{Fab(l^2 - 4a^2)}{48EI}$
	$\frac{M}{l}$	$\frac{Ml}{3EI}$	$\frac{Ml^2}{16EI}$	$\frac{Ml^3}{48EI}$
	$\frac{M}{l}$	$\frac{M(l^2 - 3b^2)}{6EI}$	$\frac{M(l^2 - 3a^2)}{6EI}$	$\frac{M(l^2 - 4a^2)}{16EI}$
	$\frac{M}{l}$	$-\frac{M}{l}$	$\frac{wl^3}{24EI}$	$\frac{wl^4}{384EI}$
	$\frac{wl}{2}$	$\frac{wl}{8}$	$\frac{wl^3}{192EI}$	$\frac{wl^4}{120EI}$
	$\frac{wl}{4}$	$\frac{wl}{12}$	$\frac{wl^3}{192EI}$	$\frac{wl^4 - 40a^2l^2}{1920EI}$
	$\frac{w(l-a)}{2}$	$\frac{w(3l^2 - 4al)}{24}$	$\frac{w(l^3 - 2al^2 + a^3)}{24EI}$	$\frac{w(l^4 - 40a^2l^2)}{1920EI}$
	0	0	0	$-\frac{\Delta T \alpha l}{2h}$

i.i.c Petunjuk menghitung — umum
Momen, reaksi, perputaran sudut, defleksi



$\frac{F}{16}$	$\frac{5F}{16}$	$\frac{-3Fl}{16}$	$\frac{Fl^2}{32EI}$	$\frac{7Fl^3}{768EI}$
$\frac{Fd(3l^2 - b^2)}{2l^3}$	$\frac{Fd^2(2l + b)}{2l^3}$	$\frac{Fd(l^2 + b^2)}{2l^2}$	$\frac{Fa^2b}{4EI}$	$a \leq b \frac{Fa^2(9b - 2a)}{96EI}$
$\frac{3M}{2l}$	$\frac{M}{2}$	$\frac{Ml}{4EI}$	$\frac{Fa^2b}{4EI}$	$a \geq b \frac{Fd(3l^2 - 5b^2)}{96EI}$
$\frac{3M(l^2 - b^2)}{2l^3}$	$\frac{3M(l^2 - 3b^2)}{2l^3}$	$\frac{Ma(a - 2b)}{4EI}$	$\frac{Ma(6b - 5a)}{32EI}$	$a \leq b$
$\frac{3.6EI}{l^3}$	$\frac{-3.6EI}{l^3}$	$\frac{-3.6}{2l}$	$\frac{Ma(l^2 - 5b^2)}{32EI}$	$a \geq b$
$\frac{5wl}{8}$	$\frac{-wl}{8}$	$\frac{wl^3}{48EI}$	$\frac{wl^4}{192EI}$	
$\frac{21wl}{64}$	$\frac{5wl^2}{64}$	$\frac{5wl^2}{384EI}$	$\frac{5wl^4}{1536EI}$	
$w(5l^3 - 4al^2 - 2a^3l + a^4)$	$w(l^3 - 2a^3l + a^4)$	$w(l^2 - 2a^2l + a^3)$	$w(l^4 - 10a^3l^2 + 15a^4 + 16a^5)$	
$\frac{3\Delta TaeI}{2hl}$	$\frac{3\Delta TaeI}{2hl}$	$\frac{-\Delta Tel}{4h}$	$\frac{\Delta Tel^2}{32h}$	

○ gelagar

i.i.i Petunjuk menghitung — umum
Momen, reaksi, perputaran sudut, defleksi.

i.i.i.i Petunjuk menghitung — umum

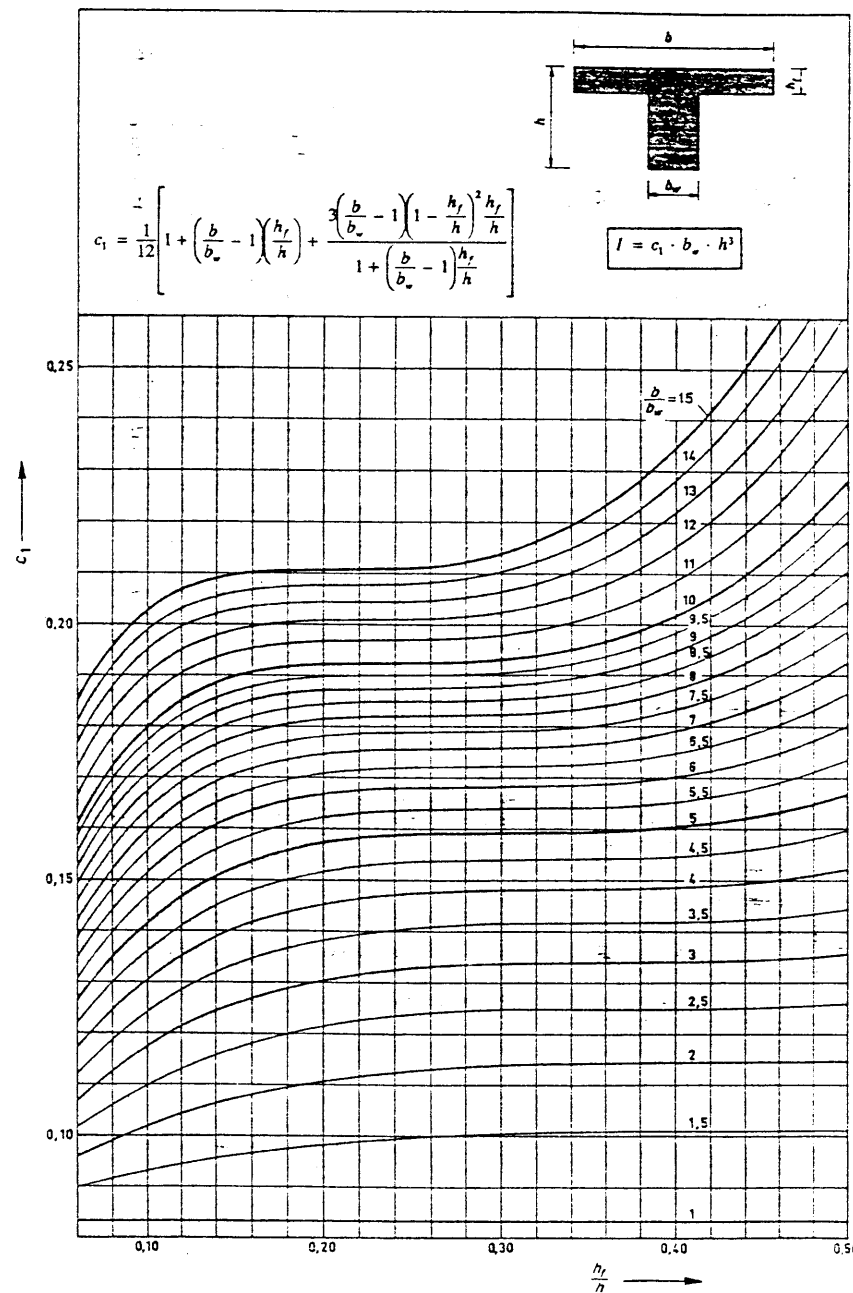
Momen, reaksi, perputaran sudut, defleksi.

○ gelagar

R_1	R_2	R_3	R_4	R_5
$\frac{F}{2}$	$-\frac{Fl}{8}$	$-\frac{Fl}{8}$	$-\frac{Fl}{8}$	$-\frac{Fl^2}{192EI}$
$\frac{Fb^2(3a + b)}{l^3}$	$-\frac{Fahl^2}{l^2}$	$-\frac{Fa^2b}{l^2}$	$-\frac{Fa^2(3b - a)}{48EI}$	
$\frac{6Mab}{l^3}$	$\frac{Ma(b - 2a)}{l^2}$	$\frac{Ma(b - a)}{l^2}$	$\frac{Ma(b - a)}{8EI}$	
$12.6EI$	$-\frac{6.6EI}{l^2}$	$\frac{6.6EI}{l^2}$	$\frac{\frac{6}{2}}{12}$	$\frac{\frac{6}{2}}{384EI}$
$\frac{wl}{2}$	$-\frac{wl^2}{12}$	$-\frac{wl^2}{12}$	$-\frac{5wl}{96}$	$-\frac{7wl^4}{3840EI}$
$\frac{wl}{4}$	$\frac{wl}{4}$	$\frac{wl}{4}$	$\frac{wl}{12}$	$\frac{w(l^4 - 2al^2 + a^2)}{12l} - \frac{w(5l^4 - 20a^3l + 16a^4)}{1920EI}$
$\frac{wl - a}{2}$	0	0	$\frac{\Delta Tel}{h}$	$\frac{\Delta Tel}{h}$

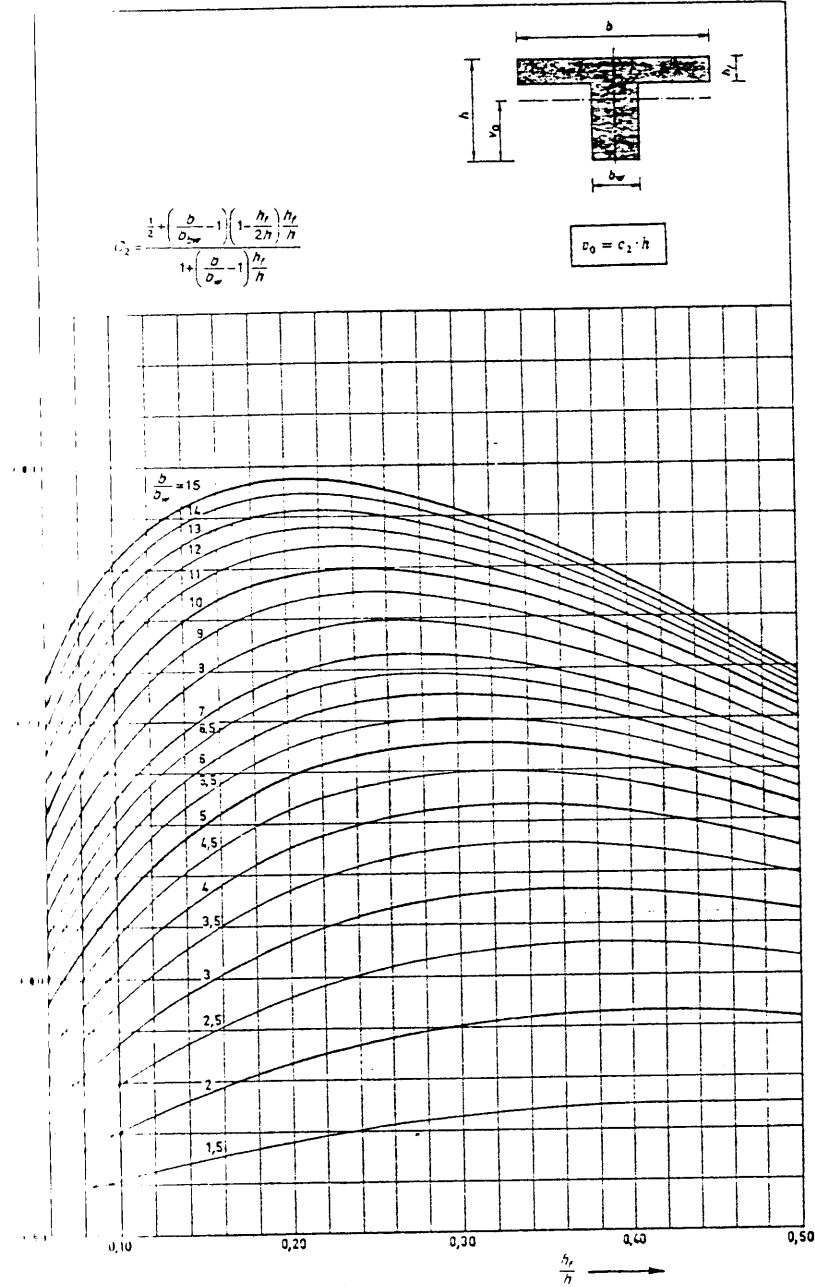
1.2.a Petunjuk menghitung — umum

- Balok-T
- Momen Inersia



1.2.b Petunjuk menghitung — umum

- Balok-T
- Titik berat



BAB

Jabel Tulangan



2.1 Tebal minimum penutup beton pada tulangan terluar dalam satuan mm

Komponen struktur	Beton yang tidak langsung berhubungan dengan tanah atau	Beton yang berhubungan dengan tanah
Lantai/dinding	$\phi_D 36$ dan lebih kecil : 20 $> \phi_D 36$: 40	$\phi_D 16$ dan lebih kecil : 40 $> \phi_D 36$: 50
Balok	Seluruh diameter : 40	$\phi_D 16$ dan lebih kecil : 40 $> \phi_D 16$: 50
Kolom	Seluruh diameter : 40	$\phi_D 16$ dan lebih kecil : 40 $> \phi_D 16$: 50

Untuk konstruksi beton yang dituangkan langsung pada tanah dan selalu berhubungan dengan tanah, berlaku suatu tebal minimal yang umum sebesar 70 mm

Tabel Kondisi Batang Tulangan
Luas penampang penulangan total dalam mm^2

Diameter batang tulangan	Jumlah batang tulangan										
	0	1	2	3	4	5	6	7	8	9	10
0	28	57	85	113	141	170	198	226	254	283	
4	50	101	151	201	251	302	352	402	453	503	
10	79	157	236	314	393	471	550	628	707	785	
12	113	226	339	452	565	679	792	905	1018	1131	
14	154	308	462	616	770	924	1078	1232	1385	1539	
16	201	402	603	804	1005	1206	1407	1608	1810	2011	
19	284	567	851	1134	1418	1701	1985	2268	2552	2835	
20	314	628	942	1257	1571	1885	2199	2513	2827	3142	
22	380	760	1140	1521	1901	2281	2661	3041	3421	3801	
23	491	982	1473	1963	2454	2945	3436	3927	4418	4909	
24	616	1232	1847	2463	3079	3695	4310	4926	5542	6158	
27	804	1608	2413	3217	4021	4825	5630	6434	7238	8042	

Diameter batang tulangan dalam mm^2 per meter lebar pelat

Diameter penampang penulangan dalam mm	Diameter dalam mm								
	5	6	8	10	12	14	16	19	20
50	565	1005	1571	2262	3079	4022	5671	6284	
75	377	670	1047	1508	2053	2681	3780	4189	
100	233	503	785	1131	1539	2011	2835	3142	
125	276	402	628	905	1232	1608	2268	2513	
150	368	335	524	754	1026	1340	1890	2094	
175	462	287	449	646	880	1149	1620	1795	
200	541	251	393	565	770	1005	1418	1571	
225	626	223	349	503	684	894	1260	1396	
250	713	201	314	452	616	804	1134	1257	

2.2.b Petunjuk Pemilihan

- luas tulangan baja beton per m lebar pelat

Luas tulangan baja beton dalam mm² per meter lebar pelat pada penggunaan batang tulang yang dikombinasikan.

		524	85	113	153	32	50	86
80	491	80	113	153	32	50	86	1063
85	462	758	1127	1848	39	47	76	88
90	436	716	1065	175	2	46	71	75
95	413	678	1009	1633	2	42	65	65
100	393	644	938	1571	2	40	61	6476
105	374	613	913	1496	3	38	58	6167
110	357	585	871	1428	2	34	3659	5887
115	341	560	833	1366	2	30	3500	5631
120	327	537	798	1309	2	24	3354	5396
125	314	515	767	1257	2	20	3220	5180
130	302	495	737	1208	2	19	3096	4981
135	291	477	710	1164	2	19	2982	4797
140	280	460	684	1122	2	18	2875	4625
145	271	444	661	1083	2	17	2776	4466
150	262	429	639	1047	2	17	2683	4317
155	253	416	618	1013	2	16	2597	4178
160	245	403	599	982	2	16	2516	4047
165	238	390	581	952	2	15	2439	3925
170	231	379	564	924	2	15	2368	3809
175	224	368	548	898	2	14	2300	3700
180	217	358	532	873	2	14	2236	3598
185	212	348	518	849	2	13	2176	3390
190	207	339	504	827	2	13	2119	3408
195	201	330	491	806	2	12	2064	3321
200	196	322	479	785	2	12	2013	3238
205	192	314	467	766	2	12	1963	3159
210	187	307	456	748	2	12	1917	3084
215	183	300	446	731	2	11	1872	3012
220	178	293	436	714	2	11	1830	2943
225	175	286	426	698	2	11	1789	2878
230	171	280	417	683	2	11	1750	2815
235	167	274	408	668	2	10	1713	2756
240	164	268	399	654	2	10	1677	2698
245	160	263	391	641	2	10	1643	2643
250	157	258	383	628	2	10	1610	2590

4.1 Tulangan baja dengan kawat lanting tulang baja tulangan

A (mm)	lebar panjang dalam mm	luas tulangan per m lebar pelat dalam mm ² pada jarak tulangan dalam mm								
		50	75	100	125	150	175	200	250	300
4	12,6	252	168	126	101	85	72	63	50	42
5	19,6	393	262	196	157	131	112	98	78	65
6	28,1	565	377	282	226	188	162	141	113	94
7	38,5	770	513	385	308	257	220	192	154	128
8	50,1	1005	670	503	402	335	287	251	201	167
9	63,6	1272	848	636	509	424	363	318	254	212

Untuk jaring standar 5,40 x 2,10 m

tulangan	lebar	luas tulangan		lebar	panjang	lebar
		panjang	lebar		panjang	lebar
#4 150	#4-150	84	84	-	-	-
#5 150	#5-150	131	131	#5-100	#7-200	196
#6 150	#6-150	188	188	#6-100	#7-200	282
#7 150	#7-150	257	257	#7-100	#7-200	385
#8 150	#8-150	335	335	#8-100	#8-200	503
#9 150	#9-150	424	424	#9-100	#8-200	636
						251

BAB

Panjang
Penjangkaran



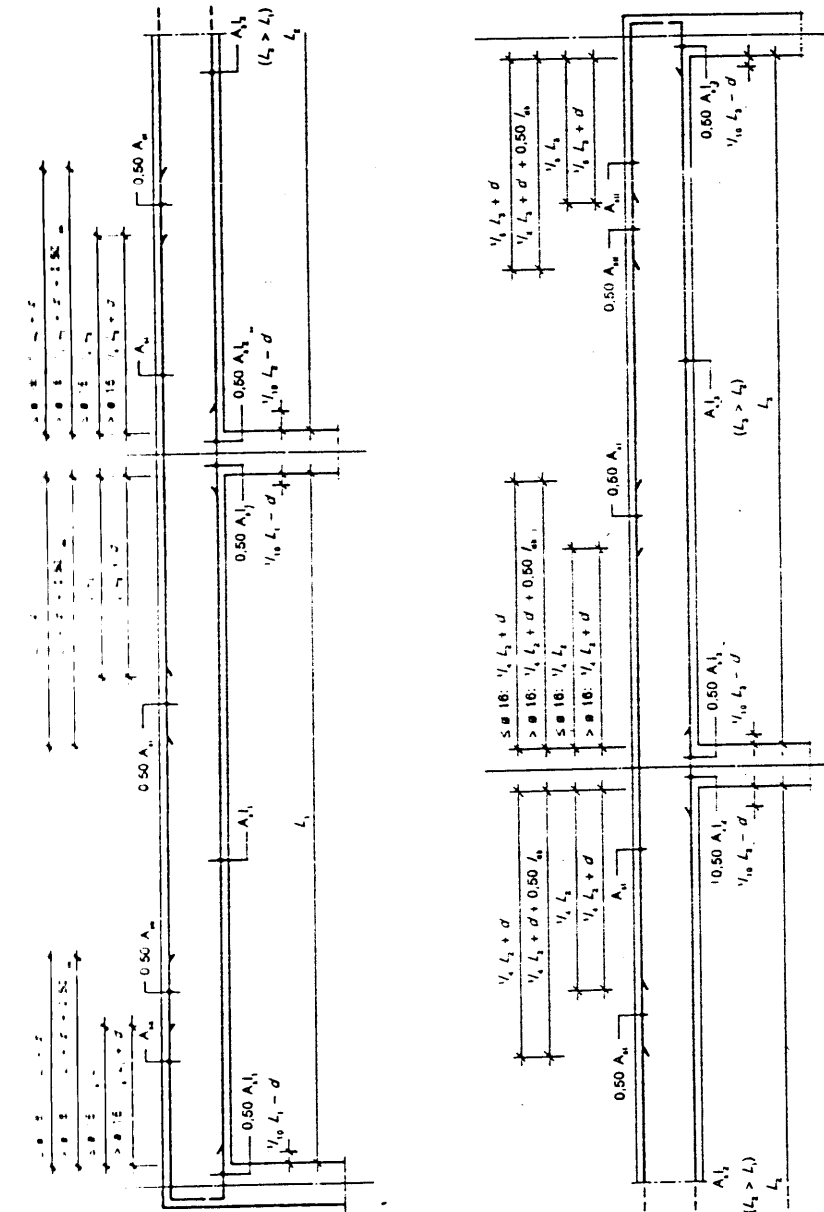
3.1 Panjang penjangkaran dasar l_{db} untuk batang tulangan tarik

Panjang penjangkaran l_{db} dalam mm (tarik)										
	f = 400 MPa					f = 240 MPa				
σ	15	20	25	30	35	15	20	25	30	35
6	300	300	300	300	300	360	360	360	360	360
8	300	300	300	300	300	360	360	360	360	360
10	300	300	300	300	300	360	360	360	360	360
12	300	300	300	300	300	360	360	360	360	360
14	340	340	340	340	340	410	410	410	410	410
16	420	380	380	380	380	500	460	460	460	460
19	590	510	460	460	460	710	610	550	550	550
20	650	560	500	480	480	780	670	600	580	580
22	790	680	610	560	530	950	820	730	670	640
25	1010	880	790	720	660	1210	1060	950	860	790
28	1270	100	990	900	830	1520	1320	1190	1080	1000
32	1660	1440	1290	1170	1090	1990	1730	1550	1400	1310

Untuk batang tulangan atas, nilai dalam tabel harus dikalikan dengan 1,4

3.2 Panjang penjangkaran dasar l_{db} untuk batang tulangan kompresi

Panjang penjangkaran l_{db} dalam mm (kompresi)										
	f = 400 MPa					f = 240 MPa				
σ	15	20	25	30	35	15	20	25	30	35
6	200	200	200	200	200	240	240	240	240	240
8	210	200	200	200	200	250	240	240	240	240
10	260	220	200	200	200	310	260	240	240	240
12	310	270	240	220	200	370	320	290	260	240
14	360	310	280	260	240	430	370	340	310	290
16	410	360	320	290	270	490	430	380	350	320
19	490	420	380	350	320	590	500	460	420	380
20	520	450	400	360	340	620	540	480	430	410
22	570	490	440	400	370	680	590	530	480	440
25	650	560	500	460	420	780	670	600	550	500
28	720	630	560	510	470	860	760	670	610	560
32	830	720	640	580	540	1000	860	770	700	650

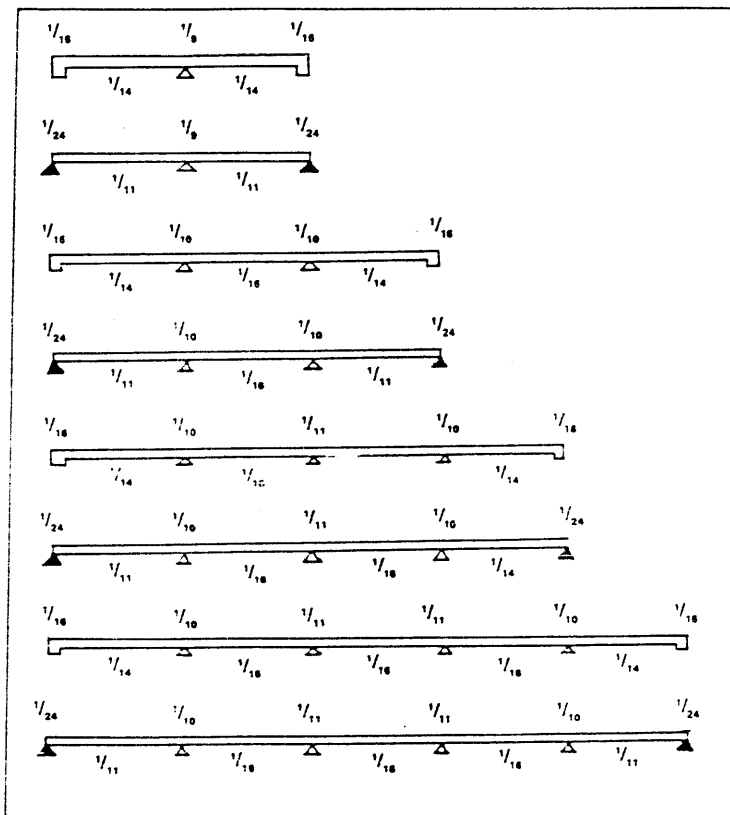


BAB

4

Distribusi Gaya-gaya

4.1 Koefisien momen dikalikan $w_u l_n^2$



14.1

Tabel 4.2.b menunjukkan momen lentur yang bekerja pada jalur selebar 1 meter, masing-masing pada arah x dan pada arah y

- $m_{x_{\max}}$ adalah momen lapangan maksimum per meter lebar di arah-x;
- $m_{y_{\max}}$ adalah momen lapangan maksimum per meter lebar di arah-y;
- $m_{x_{\text{sum}}}$ adalah momen sumbu maksimum per meter lebar di arah-x;
- $m_{y_{\text{sum}}}$ adalah momen sumbu maksimum per meter lebar di arah-y;
- $m_{x_{\text{ins}}}$ adalah momen jepit tak terduga (incidentil) per meter lebar di arah-x;
- $m_{y_{\text{ins}}}$ adalah momen jepit tak terduga (incidentil) per meter lebar di arah-y

seperti pada pelat satu arah yang menerus, pemakaian tabel ini dibatasi dengan beberapa syarat:

- (a) beban tetap rata;
- (b) membatasi perbedaan antara beban maksimum dan minimum pada bentang pelat (atau lekukan):
 $\frac{w_{\text{max}}}{w_{\text{min}}} \leq 0,4 w_{\text{max}}$
- (c) membatasi perbedaan antara beban-beban maksimum pada bentang yang berbeda-beda:
 $w_{\text{max}} \text{ terkecil} \geq 0,8 \text{ kali } w_{\text{max}} \text{ terbesar};$
- (d) membatasi perbedaan dari panjang bentang: yaitu, panjang bentang terpendek $\geq 0,8 \times$ panjang bentang terpanjang.

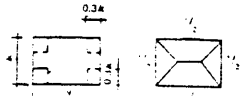
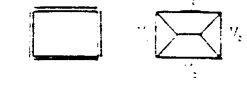
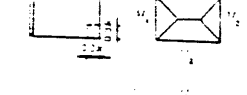
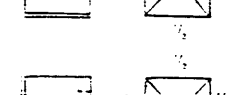
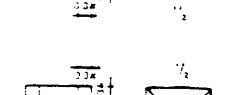
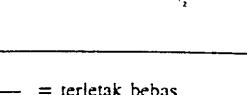
Jika semua syarat batas ini dipenuhi, maka pemakaian Tabel 4.2.b akan menghasilkan nilai-nilai yang aman terhadap momen lentur maksimum. Dalam nilai-nilai ini telah diperhitungkan juga pengaruh dari bentang yang dibebani dan bentang tak dibebani terhadap momen tersebut. Momen jepit tak terduga diambil dengan sama dengan setengah momen lapangan (bentang) pada panel yang berturut-turut.

Maka dalam arah-x: $m_{x_{\text{ins}}} = \frac{1}{2} m_{tx}$; dalam arah-y: $m_{y_{\text{ins}}} = \frac{1}{2} m_{ty}$

Bentuk melengkapi penentuan penyuangan di jalur tepi dan di sudut-sudut pada tepi yang ditumpu bebas.

4.2.b Pelat - Umum

Tabel Momen yang menentukan per meter lebar dalam jalur tengah pada pelat dua arah akibat beban terbagi rata

Skema	Penyaluran beban berdasarkan metode amplop kali $w_u l_{tanah} l_t$	Momen per meter lebar	$\frac{l_y}{l_x}$							
			1.0	1.2	1.4	1.6	1.8	2.0	2.5	3.0
	$m_{tx} = 0.001 w_u l_{tanah}^2 x$ $m_{ty} = 0.001$ $m_{tx'} = \frac{1}{2} m_{tx}$ $m_{ty'} = \frac{1}{2} m_{ty}$	41 54 67 79 87 97 110 117 41 35 31 28 26 25 24 23								
	$m_{tx} = 0.001 w_u l_{tanah}^2 x$ $m_{ty} = 0.001 w_u l_{tanah}^2 x$ $m_{tx'} = -0.001 w_u l_{tanah}^2 x$ $m_{ty'} = -0.001 w_u l_{tanah}^2 x$	25 34 42 49 53 58 62 65 25 22 18 15 15 15 14 14								
	$m_{tx} = 0.001 w_u l_{tanah}^2 x$ $m_{ty} = 0.001 w_u l_{tanah}^2 x$ $m_{tx'} = -0.001 w_u l_{tanah}^2 x$ $m_{ty'} = -0.001 w_u l_{tanah}^2 x$ $m_{tx''} = \frac{1}{2} m_{tx}$ $m_{ty''} = \frac{1}{2} m_{ty}$	51 63 72 78 81 82 83 83 51 54 55 54 54 53 51 49								
	$m_{tx} = 0.001 w_u l_{tanah}^2 x$ $m_{ty} = 0.001 w_u l_{tanah}^2 x$ $m_{tx'} = -0.001 w_u l_{tanah}^2 x$ $m_{ty'} = -0.001 w_u l_{tanah}^2 x$ $m_{tx''} = \frac{1}{2} m_{tx}$ $m_{ty''} = \frac{1}{2} m_{ty}$	30 41 52 61 67 72 80 83 30 27 23 22 20 19 19 19								
	$m_{tx} = 0.001 w_u l_{tanah}^2 x$ $m_{ty} = 0.001 w_u l_{tanah}^2 x$ $m_{tx'} = -0.001 w_u l_{tanah}^2 x$ $m_{ty'} = -0.001 w_u l_{tanah}^2 x$ $m_{tx''} = \frac{1}{2} m_{tx}$ $m_{ty''} = \frac{1}{2} m_{ty}$	68 84 97 106 113 117 122 124 68 74 77 77 77 76 73 71								
	$m_{tx} = 0.001 w_u l_{tanah}^2 x$ $m_{ty} = 0.001 w_u l_{tanah}^2 x$ $m_{tx'} = -0.001 w_u l_{tanah}^2 x$ $m_{ty'} = -0.001 w_u l_{tanah}^2 x$ $m_{tx''} = \frac{1}{2} m_{tx}$ $m_{ty''} = \frac{1}{2} m_{ty}$	24 36 49 63 74 85 103 113 33 33 32 29 27 24 21 20								
	$m_{tx} = 0.001 w_u l_{tanah}^2 x$ $m_{ty} = 0.001 w_u l_{tanah}^2 x$ $m_{tx'} = -0.001 w_u l_{tanah}^2 x$ $m_{ty'} = -0.001 w_u l_{tanah}^2 x$ $m_{tx''} = \frac{1}{2} m_{tx}$ $m_{ty''} = \frac{1}{2} m_{ty}$	33 40 47 52 55 58 62 65 24 20 18 17 17 17 16 16								
	$m_{tx} = 0.001 w_u l_{tanah}^2 x$ $m_{ty} = 0.001 w_u l_{tanah}^2 x$ $m_{tx'} = -0.001 w_u l_{tanah}^2 x$ $m_{ty'} = -0.001 w_u l_{tanah}^2 x$ $m_{tx''} = \frac{1}{2} m_{tx}$ $m_{ty''} = \frac{1}{2} m_{ty}$	31 45 58 71 81 91 106 115 39 37 34 30 27 25 24 23								
	$m_{tx} = 0.001 w_u l_{tanah}^2 x$ $m_{ty} = 0.001 w_u l_{tanah}^2 x$ $m_{tx'} = -0.001 w_u l_{tanah}^2 x$ $m_{ty'} = -0.001 w_u l_{tanah}^2 x$ $m_{tx''} = \frac{1}{2} m_{tx}$ $m_{ty''} = \frac{1}{2} m_{ty}$	91 102 108 111 113 114 114 114 39 47 57 64 70 75 81 84								
	$m_{tx} = 0.001 w_u l_{tanah}^2 x$ $m_{ty} = 0.001 w_u l_{tanah}^2 x$ $m_{tx'} = -0.001 w_u l_{tanah}^2 x$ $m_{ty'} = -0.001 w_u l_{tanah}^2 x$ $m_{tx''} = \frac{1}{2} m_{tx}$ $m_{ty''} = \frac{1}{2} m_{ty}$	25 36 47 57 64 70 79 83 28 27 23 20 18 17 16 16								
	$m_{tx} = 0.001 w_u l_{tanah}^2 x$ $m_{ty} = 0.001 w_u l_{tanah}^2 x$ $m_{tx'} = -0.001 w_u l_{tanah}^2 x$ $m_{ty'} = -0.001 w_u l_{tanah}^2 x$ $m_{tx''} = \frac{1}{2} m_{tx}$ $m_{ty''} = \frac{1}{2} m_{ty}$	54 72 88 100 108 114 121 124 60 59 74 76 76 76 73 71								
	$m_{tx} = 0.001 w_u l_{tanah}^2 x$ $m_{ty} = 0.001 w_u l_{tanah}^2 x$ $m_{tx'} = -0.001 w_u l_{tanah}^2 x$ $m_{ty'} = -0.001 w_u l_{tanah}^2 x$ $m_{tx''} = \frac{1}{2} m_{tx}$ $m_{ty''} = \frac{1}{2} m_{ty}$	28 37 45 50 54 58 62 65 25 21 19 18 17 17 16 16								
	$m_{tx} = 0.001 w_u l_{tanah}^2 x$ $m_{ty} = 0.001 w_u l_{tanah}^2 x$ $m_{tx'} = -0.001 w_u l_{tanah}^2 x$ $m_{ty'} = -0.001 w_u l_{tanah}^2 x$ $m_{tx''} = \frac{1}{2} m_{tx}$ $m_{ty''} = \frac{1}{2} m_{ty}$	60 70 76 80 82 83 83 83 54 55 55 54 53 53 51 49								

— = terletak bebas

— — = menerus pada tumpuan

Tabel 4.2 menyatakan pelat persegi yang diberi beban terbagi rata dengan persyaratan ideal:

tumpuan bebas (ederhana) atau

tumpuan terlepas penuh atau

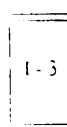
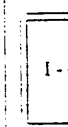
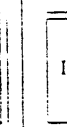
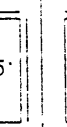
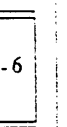
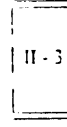
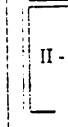
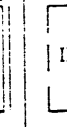
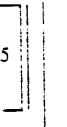
tidak tertutup (ujung bebas/tergantung)

Momen momen yang menentukan pada jalur tepi dan jalur tengah dalam arah-x dan arah-y.

Momen momen dihitung secara teori linear elastis dengan $v = 0$, harus diperhatikan pula pengaruh dari momen puntu. Momen puntu pada sudut-sudut tumpuan bebas diberikan dengan tanda ±.

Tabel 4.2 tidak untuk momen nol, atau penganggapan momen bentang dan momen tumpuan diberikan pada gambar yang dikarsanakan. Ketentuan tambahan yang diberikan dalam buku Dasar-dasar Perencanaan Beton Bertulang dibutuhkan dalam pemakaian Tabel 4.2.b, akan tetapi tidak berlaku untuk Tabel 4.3.b

Tipis bantalan

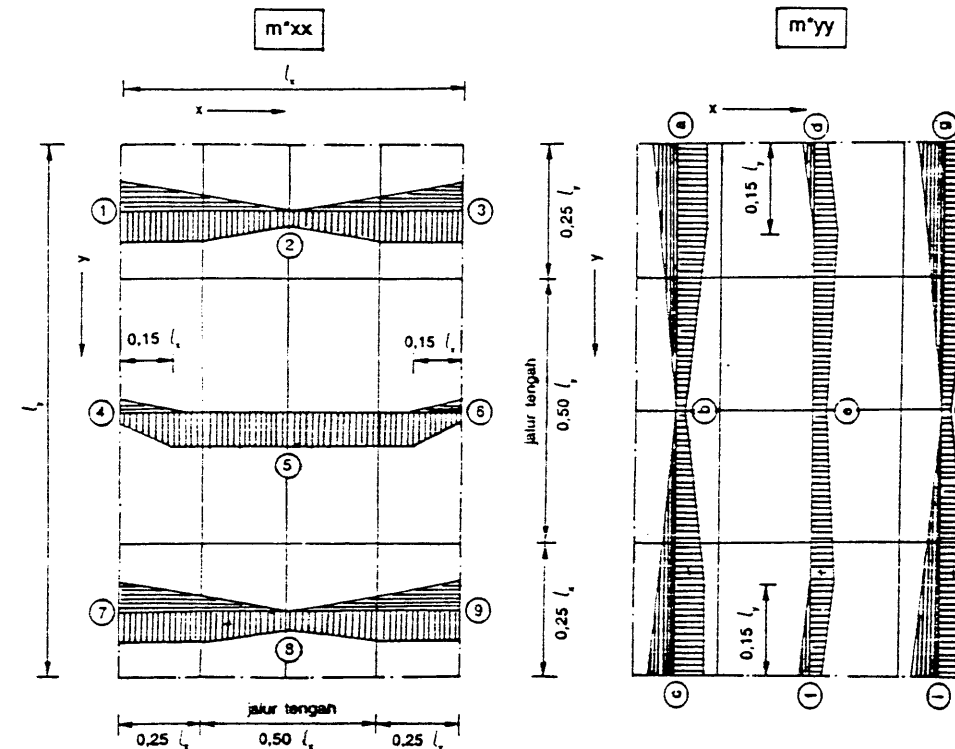
						
						

4.3.b Pelat

pelat I - 1

Momen penulangan per satuan panjang terhadap beban terbagi rata

Skema dari diagram momen penulangan



Koefisien untuk momen penulangan

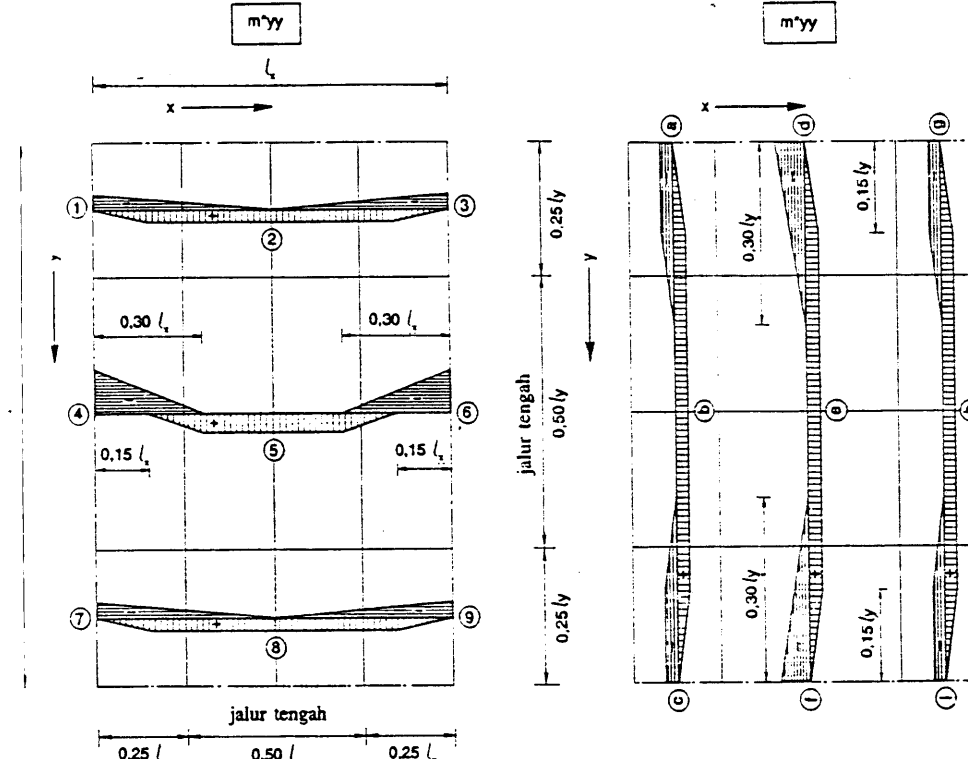
l/l_x	$m_{xx} = 0,001 wl_x^2 x$									$m_{yy} = 0,001 wl_x^2 x$								
	1	2	3	4	5	6	7	8	9	a	b	c	d	e	f	g	h	i
1,0	+43	+14	+43	+15	+39	+15	+43	+14	+43	+43	+14	+43	+15	+39	+15	+43	+14	+43
1,2	+51	+20	+51	+16	+51	+16	+51	+20	+51	+51	+13	+51	+17	+31	+17	+51	+13	+51
1,4	+57	+26	+57	+17	+63	+17	+57	+26	+57	+55	+11	+55	+19	+27	+19	+55	+11	+55
1,6	+62	+31	+62	+17	+74	+17	+62	+31	+62	+57	+10	+57	+21	+23	+21	+57	+10	+57
1,8	+65	+36	+65	+16	+83	+16	+65	+36	+65	+59	+8	+59	+22	+19	+22	+59	+8	+59
2,0	+67	+40	+67	+15	+90	+15	+67	+40	+67	+59	+6	+59	+22	+16	+22	+59	+6	+59
2,5	+70	+49	+70	+12	+103	+12	+70	+49	+70	+59	+4	+59	+24	+9	+24	+59	+4	+59
3,0	+73	+57	+73	+10	+111	+10	+73	+57	+73	+59	+2	+59	+25	+5	+25	+59	+2	+59

pelat I - 1

• pelat I - 2

Momen penulangan per satuan panjang terhadap beban terbagi rata

Skema dari diagram momen penulangan



Koefisien untuk momen penulangan

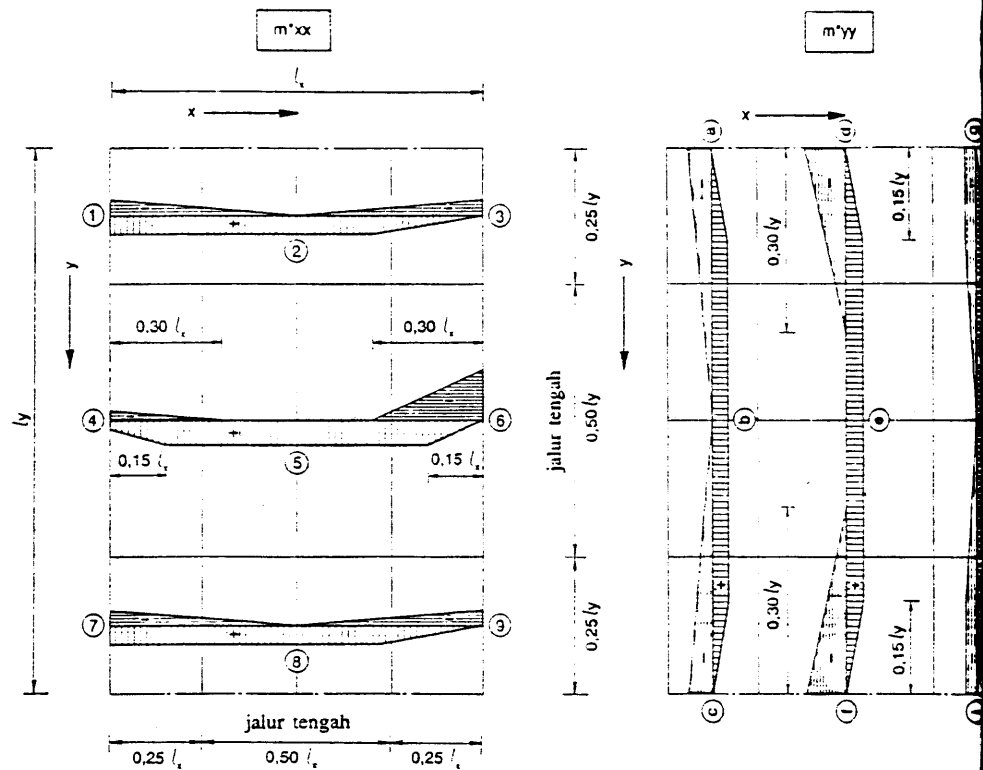
l/l_x	$m_{xx} = 0,001 wl_x^2 x$									$m_{yy} = 0,001 wl_x^2 x$								
	1	2	3	4	5	6	7	8	9	a	b	c	d	e	f	g	h	i
1,0	-14	+11	-14	-44	+17	-44	-14	+11	-14	-14	-14	+11	-14	-14	-44	+17	-14	-14
1,2	-19	+13	-19	-56	+24	-56	-19	+13	-19	-15	+12	-15	-47	+17	-47	-15	+12	-15
1,4	-23	+15	-23	-65	+29	-65	-23	+15	-23	-15	+12	-15	-47	+16	-47	-15	+12	-15
1,6	-27	+17	-27	-71	+32	-71	-27	+17	-27	-15	+13	-15	-47	+15	-47	-15	+13	-15
1,8	-31	+18	-31	-75	+35	-75	-31	+18	-31	-15	+13	-15	-47	+15	-47	-15	+13	-15
2,0	-34	+19	-34	-78	+37	-78	-34	+19	-34	-15	+13	-15	-46	+15	-46	-15	+13	-15
2,5	-41	+20	-41	-81	+40	-81	-41	+20	-41	-15	+13	-15	-45	+15	-45	-15	+13	-15
3,0	-47	+23	-47	-83	+41	-83	-47	+23	-47	-15	+14	-15	-44	+15	-44	-15	+14	-15

4.3.d

• pelat I - 3

Momen penulangan per satuan panjang terhadap beban terbagi rata

Skema dari diagram momen penulangan



Koefisien untuk momen penulangan

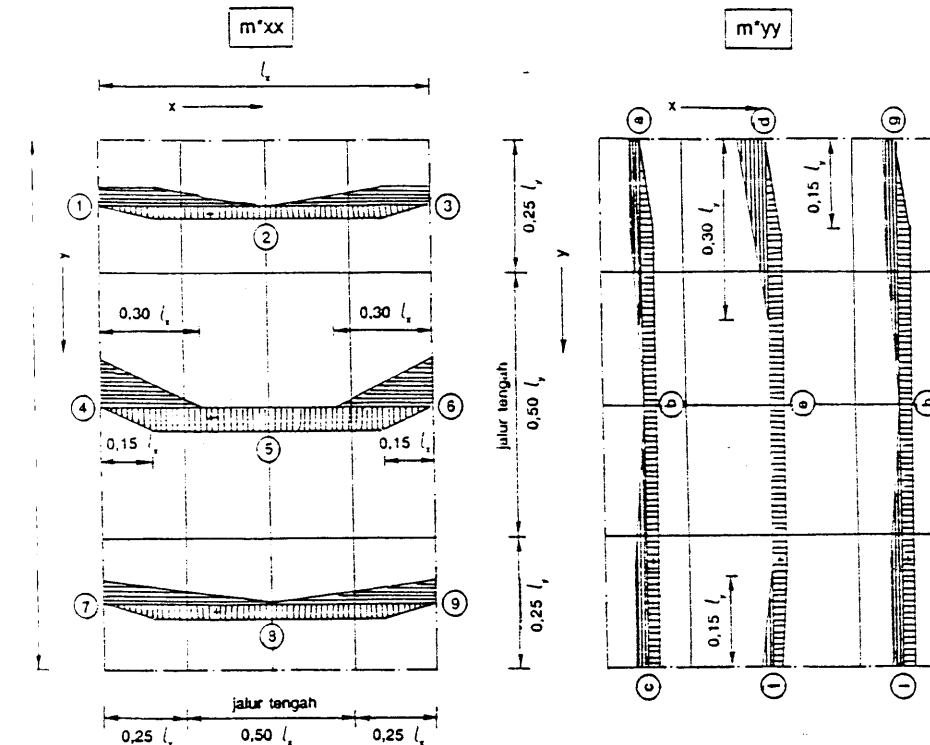
l_y/l_x	$m_{xx} = 0,001 w l_x^2 x$									$m_{yy} = 0,001 w l_x^2 x$								
	1	2	3	4	5	6	7	8	9	a	b	c	d	e	f	g	h	i
1,0	± 17	$+17$	-15	± 10	$+21$	-47	± 17	$+17$	-15	-30	$+20$	-30	-53	$+22$	-53	-15	$+12$	-15
1,2	± 22	$+22$	-20	± 12	$+30$	-63	± 22	$+22$	-20	-34	$+24$	-34	-61	$+23$	-61	-16	$+14$	-16
1,4	± 26	$+26$	-26	± 13	$+38$	-77	± 26	$+26$	-26	-36	$+26$	-36	-65	$+23$	-65	-17	$+15$	-17
1,6	± 29	$+29$	-31	± 13	$+45$	-89	± 29	$+29$	-31	-38	$+27$	-38	-66	$+22$	-66	-17	$+16$	-17
1,8	± 31	$+31$	-36	± 12	$+51$	-98	± 31	$+31$	-36	-38	$+29$	-38	-66	$+22$	-66	-18	$+17$	-18
2,0	± 33	$+33$	-41	± 11	$+56$	-104	± 33	$+33$	-41	-38	$+30$	-38	-66	$+22$	-66	-17	$+17$	-17
2,5	± 36	$+36$	-51	± 8	$+63$	-115	± 36	$+36$	-51	-38	$+29$	-38	-64	$+22$	-64	-17	$+16$	-17
3,0	± 38	$+38$	-60	± 5	$+66$	-120	± 38	$+38$	-60	-38	$+29$	-38	-64	$+22$	-64	-17	$+18$	-17

1 - 3

• pelat I - 4

Momen penulangan per satuan panjang terhadap beban terbagi rata

Skema dari diagram momen penulangan



Koefisien untuk momen penulangan

l_y/l_x	$m_{xx} = 0,001 w l_x^2 x$									$m_{yy} = 0,001 w l_x^2 x$								
	1	2	3	4	5	6	7	8	9	a	b	c	d	e	f	g	h	i
1,0	-15	+12	-15	-53	+22	-53	-30	+20	-30	-15	+17	± 17	-47	+21	± 10	-15	+17	± 17
1,2	-19	+14	-19	-63	+28	-63	-35	+22	-35	-15	+18	± 18	-48	+21	± 11	-15	+18	± 18
1,4	-23	+15	-23	-70	+32	-70	-39	+24	-39	-15	+18	± 18	-48	+20	± 11	-15	+18	± 18
1,6	-27	+17	-27	-75	+35	-75	-43	+25	-43	-15	+18	± 18	-47	+20	± 11	-15	+18	± 18
1,8	-31	+18	-31	-76	+37	-76	-46	+25	-46	-15	+17	± 17	-47	+20	± 11	-15	+17	± 17
2,0	-34	+19	-34	-80	+39	-80	-48	+25	-48	-15	+17	± 17	-46	+20	± 11	-15	+17	± 17
2,5	-41	+20	-41	-82	+41	-82	-54	+27	-54	-15	+16	± 16	-45	+20	± 12	-15	+16	± 16
3,0	-47	+23	-47	-83	+42	-83	-58	+29	-58	-15	+16	± 16	-44	+20	± 13	-15	+16	± 16

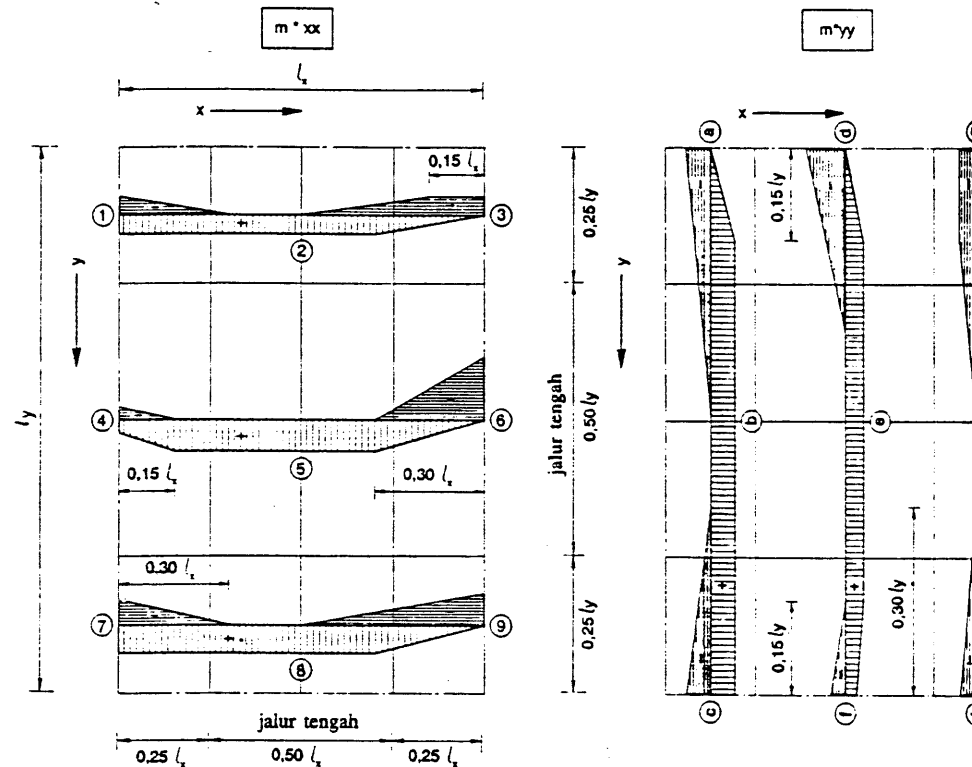
4.3.f

• pelat I - 5

I - 5

Momen penulangan per satuan panjang terhadap beban terbagi rata

Skema dari diagram momen penulangan



Koefisien untuk momen penulangan

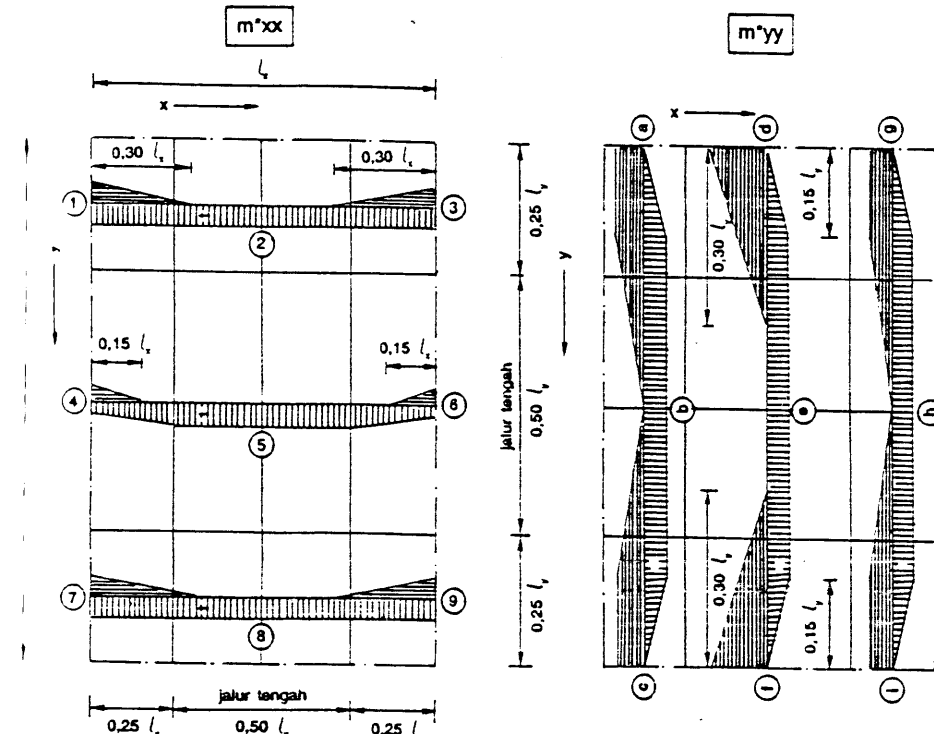
l_y/l_x	$m_{xx} = 0,001 wl_x^2 x$									$m_{yy} = 0,001 wl_x^2 x$								
	1	2	3	4	5	6	7	8	9	a	b	c	d	e	f	g	h	i
1,0	+20	+20	-16	+12	+27	-60	+31	+31	-33	-33	+31	+31	-60	+27	+12	-16	+20	+20
1,2	+24	+24	-21	+13	+37	-76	+36	+36	-41	-36	+35	+35	-65	+27	+14	-17	+22	+22
1,4	+28	+28	-26	+13	+44	-88	+40	+40	-48	-38	+38	+38	-67	+28	+15	-18	+23	+23
1,6	+30	+30	-32	+12	+50	-98	+43	+43	-54	-38	+39	+39	-67	+27	+16	-18	+23	+23
1,8	+32	+32	-36	+11	+55	-104	+45	+45	-59	-38	+39	+39	-67	+28	+16	-18	+23	+23
2,0	+33	+33	-41	+10	+59	-110	+45	+45	-63	-38	+38	+38	-66	+28	+16	-17	+23	+23
2,5	+36	+36	-51	+6	+64	-117	+46	+46	-71	-38	+37	+37	-64	+28	+17	-17	+22	+22
3,0	+38	+38	-60	+4	+67	-121	+48	+48	-78	-38	+37	+37	-63	+28	+18	-17	+22	+22

• pelat I - 6

I - 6

Momen penulangan per satuan panjang terhadap beban terbagi rata

Skema dari diagram momen penulangan



Koefisien untuk momen penulangan

l_y/l_x	$m_{xx} = 0,001 wl_x^2 x$									$m_{yy} = 0,001 wl_x^2 x$								
	1	2	3	4	5	6	7	8	9	a	b	c	d	e	f	g	h	i
1,0	+18	+18	± 18	± 11	+ 21	± 11	± 18	± 18	± 18	-31	+21	-31	-64	+27	-64	-31	+21	-31
1,2	+25	+25	± 25	± 14	+ 31	± 14	± 25	± 25	± 25	-37	+28	-37	-78	+31	-78	-37	+28	-37
1,4	+31	+31	± 31	± 17	+ 42	± 17	± 31	± 31	± 31	-42	+34	-42	-89	+32	-89	-42	+34	-42
1,6	+36	+36	± 36	± 18	+ 53	± 18	± 36	± 36	± 36	-45	+38	-45	-96	+32	-96	-45	+38	-45
1,8	+40	+40	± 40	± 19	+ 64	± 19	± 40	± 40	± 40	-48	+40	-48	-101	+32	-101	-48	+40	-48
2,0	+44	+44	± 44	± 18	+ 73	± 18	± 44	± 44	± 44	-49	+43	-49	-103	+32	-103	-49	+43	-49
2,5	+51	+51	± 51	± 16	+ 91	± 16	± 51	± 51	± 51	-50	+46	-50	-104	+32	-104	-50	+46	-50
3,0	+55	+55	± 55	± 12	+103	± 12	± 55	± 55	± 55	-51	+46	-51	-104	+32	-104	-51	+46	-51

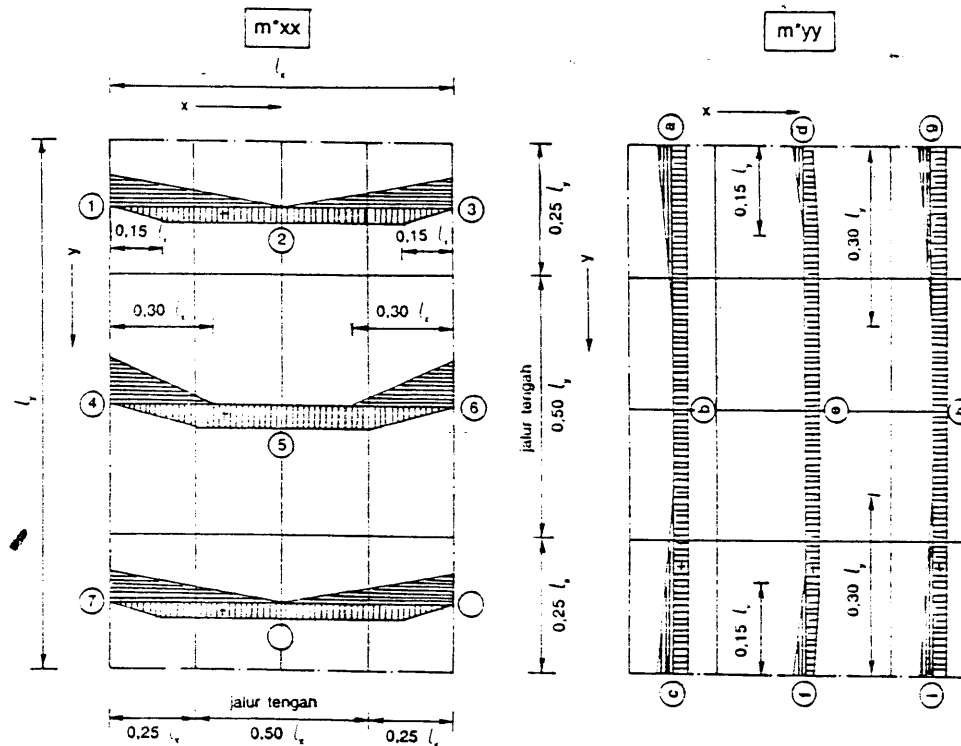
4.3.h

• pelat I - 7

1-7

Momen penulangan per satuan panjang terhadap beban terbagi rata

Skema dari diagram momen penulangan



Koefisien untuk momen penulangan

l/l_x	$m_{xx} = 0,001 wl_x^2 x$									$m_{yy} = 0,001 wl_x^2 x$								
	1	2	3	4	5	6	7	8	9	a	b	c	d	e	f	g	h	i
1.0	-31	+21	-31	-64	+27	-64	-31	+21	-31	+18	+18	+18	+11	+21	+11	+18	+18	+18
1.2	-36	+23	-36	-71	+32	-71	-36	+23	-36	+18	+18	+18	+11	+21	+11	+18	+18	+18
1.4	-40	+24	-40	-76	+35	-76	-40	+24	-40	+18	+18	+18	+11	+20	+11	+18	+18	+18
1.6	-43	+25	-43	-79	+37	-79	-43	+25	-43	+18	+18	+18	+11	+20	+11	+18	+18	+18
1.8	-46	+25	-46	-80	+39	-80	-46	+25	-46	+17	+17	+17	+11	+20	+11	+17	+17	+17
2.0	-48	+25	-48	-82	+40	-82	-48	+25	-48	+17	+17	+17	+12	+20	+12	+17	+17	+17
2.5	-54	+27	-54	-83	+42	-83	-54	+27	-54	+16	+16	+16	+12	+20	+12	+16	+16	+16
3.0	-58	+29	-58	-83	+42	-83	-58	+29	-58	+16	+16	+16	+13	+20	+13	+16	+16	+16

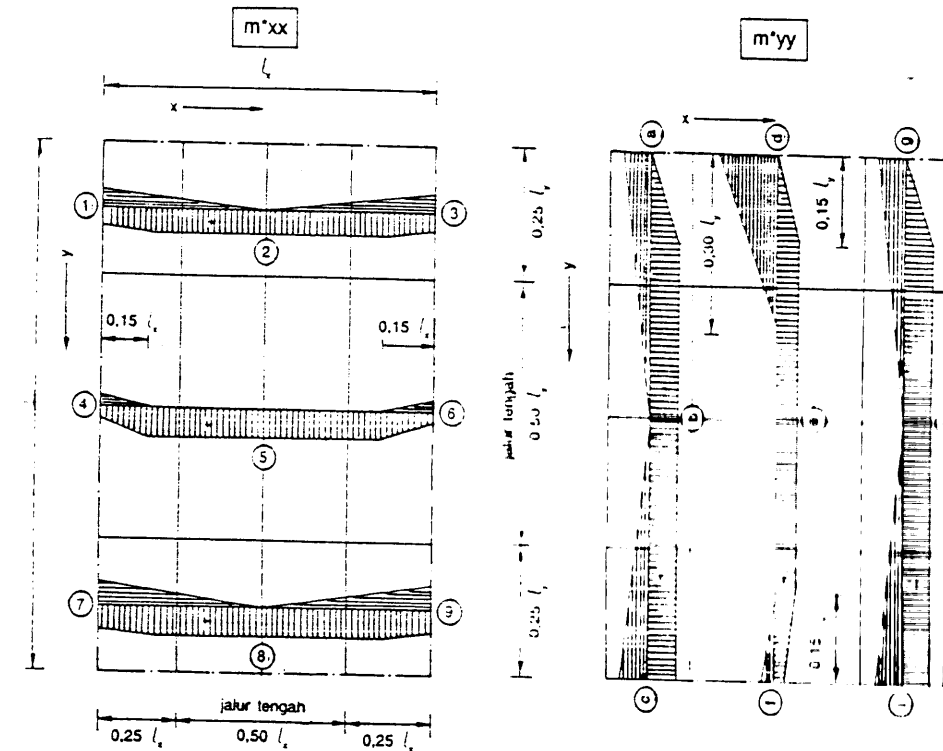
I-3.i

• pelat I - 8

I-8

Momen penulangan per satuan panjang terhadap beban terbagi rata

Skema dari diagram momen penulangan



Koefisien untuk momen penulangan

l/l_x	$m_{xx} = 0,001 wl_x^2 x$									$m_{yy} = 0,001 wl_x^2 x$								
	1	2	3	4	5	6	7	8	9	a	b	c	d	e	f	g	h	i
1.0	+22	+22	+22	+13	+28	+13	+35	+35	+35	-36	+36	+36	-76	+35	+12	-36	+36	+36
1.2	+27	+29	+27	+16	+40	+16	+38	+44	+38	-42	+45	+45	-88	+38	+15	-42	+45	+45
1.4	+32	+34	+32	+18	+52	+18	+43	+52	+43	-45	+51	+51	-97	+39	+18	-45	+51	+51
1.6	+36	+39	+36	+19	+63	+19	+47	+58	+47	-48	+55	+55	-101	+39	+20	-48	+55	+55
1.8	+39	+43	+39	+18	+73	+18	+48	+62	+48	-49	+57	+57	-104	+39	+21	-49	+57	+57
2.0	+42	+46	+42	+18	+82	+18	+49	+65	+49	-50	+57	+57	-105	+39	+22	-50	+58	+58
2.5	+45	+51	+45	+14	+97	+14	+47	+70	+47	-51	+58	+58	-104	+40	+23	-51	+58	+58
3.0	+46	+55	+46	+11	+107	+11	+44	+74	+44	-51	+57	+57	-102	+40	+24	-51	+57	+57

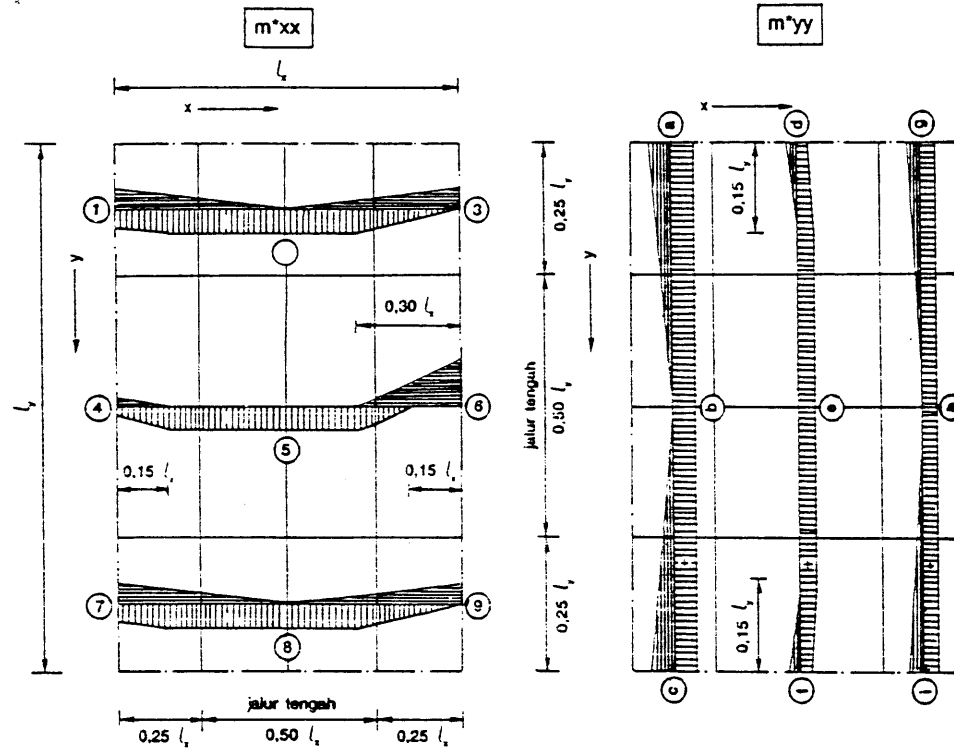
4.3.j

• pelat I - 9

I - 9

Momen penulangan per satuan panjang terhadap beban terbagi rata

Skema dari diagram momen penulangan



Koefisien untuk momen penulangan

l_y/l_x	$m_{xx} = 0.001 w l_x^2 x$									$m_{yy} = 0.001 w l_x^2 x$								
	1	2	3	4	5	6	7	8	9	a	b	c	d	e	f	g	h	i
1,0	± 36	$+36$	-36	± 12	$+35$	-76	± 36	$+36$	-36	± 35	$+35$	± 35	± 13	$+28$	± 13	$+22$	$+22$	± 21
1,2	± 35	$+40$	-43	± 12	$+43$	-90	± 35	$+40$	-43	± 35	$+35$	± 35	± 15	$+28$	± 15	± 22	$+22$	± 21
1,4	± 35	$+42$	-50	± 11	$+49$	-99	± 35	$+42$	-50	± 35	$+35$	± 35	± 16	$+28$	± 16	± 22	$+22$	± 21
1,6	± 34	$+44$	-55	± 10	$+55$	-106	± 34	$+44$	-55	± 35	$+35$	± 35	± 16	$+28$	± 16	± 22	$+22$	± 21
1,8	± 32	$+45$	-59	± 9	$+59$	-111	± 32	$+45$	-59	± 35	$+35$	± 35	± 16	$+28$	± 16	± 22	$+22$	± 21
2,0	± 31	$+46$	-63	± 8	$+62$	-115	± 31	$+46$	-63	± 35	$+35$	± 35	± 17	$+28$	± 17	± 22	$+22$	± 21
2,5	± 28	$+47$	-71	± 5	$+66$	-120	± 28	$+47$	-71	± 35	$+35$	± 35	± 17	$+28$	± 17	± 22	$+22$	± 21
3,0	± 25	$+48$	-78	± 3	$+68$	-122	± 25	$+48$	-78	± 35	$+35$	± 35	± 18	$+28$	± 18	± 22	$+22$	± 21

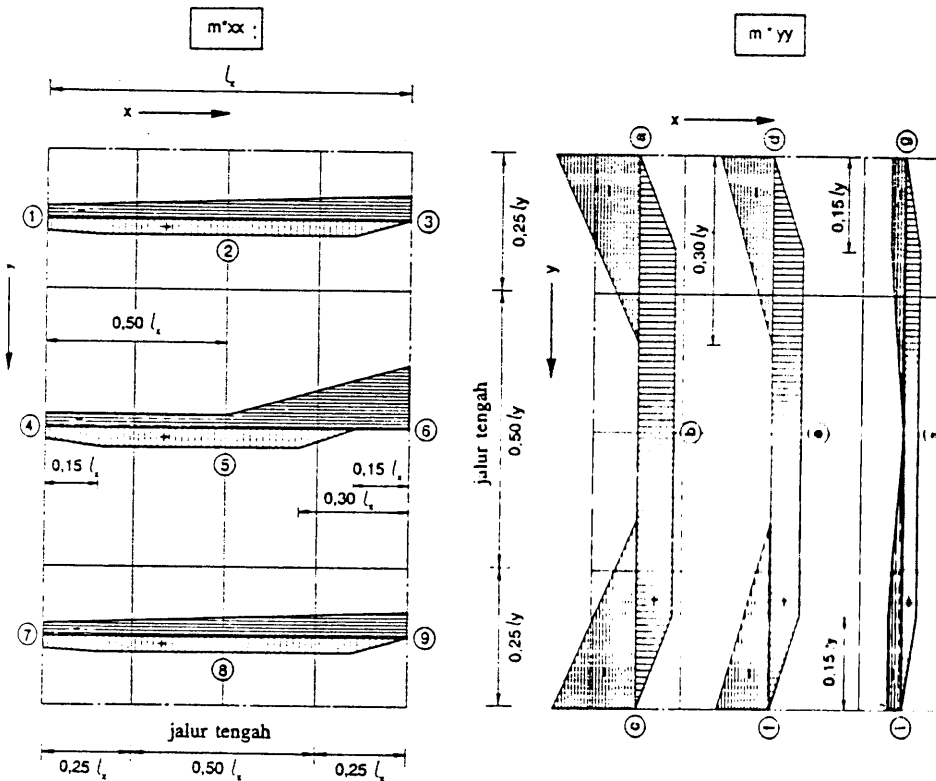
I - 9

• pelat II - 3

II - 3

Momen penulangan per satuan panjang terhadap beban terbagi rata

Skema dari diagram momen penulangan



Koefisien untuk momen penulangan

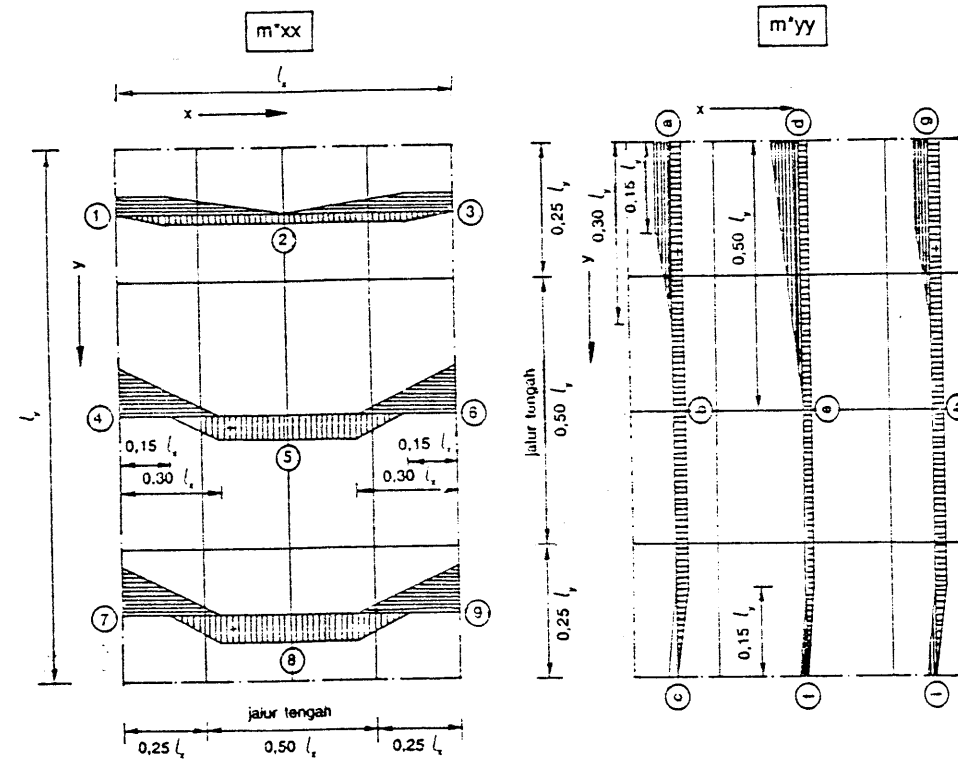
l_y/l_x	$m_{xx} = 0.001 w l_x^2 x$									$m_{yy} = 0.001 w l_x^2 x$								
	1	2	3	4	5	6	7	8	9	a	b	c	d	e	f	g	h	i
1,0	± 3	$+15$	-15	± 2	$+14$	-48	± 3	$+15$	-15	-83	$+40$	-83	-63	$+30$	-63	-15	$+13$	-15
1,2	± 5	$+18$	-21	± 4	$+21$	-69	± 5	$+18$	-21	-115	$+54$	-115	-79	$+39$	-79	-18	$+17$	-18
1,4	± 11	$+24$	-28	± 6	$+27$	-94	± 11	$+24$	-28	-149	$+66$	-149	-94	$+47$	-94	-21	$+20$	-21
1,6	± 18	$+30$	-36	± 10	$+34$	-120	± 18	$+30$	-36	-182	$+78$	-182	-106	$+56$	-106	-24	$+24$	-24
1,8	± 26	$+36$	-45	± 15	$+40$	-148	± 26	$+36$	-45	-212	$+88$	-212	-116	$+64$	-166	-27	$+27$	-27
2,0	± 34	$+42$	-53	± 19	$+44$	-176	± 34	$+42$	-53	-239	$+94$	-239	-124	$+70$	-124	-30	$+29$	-30
2,5	± 54	$+56$	-77	± 29	$+52$	-242	± 54	$+56$	-77	-288	$+110$	-288	-137	$+85$	-137	-35	$+33$	-35
3,0	± 70	$+70$	-102	± 35	$+53$	-299	± 70	$+70$	-102	-316	$+119$	-316	-143	$+94$	-143	-38	$+36$	-38

4.3.1

• pelat II - 4

Momen penulangan per satuan panjang terhadap beban terbagi rata

Skema dari diagram momen penulangan



Koefisien untuk momen penulangan

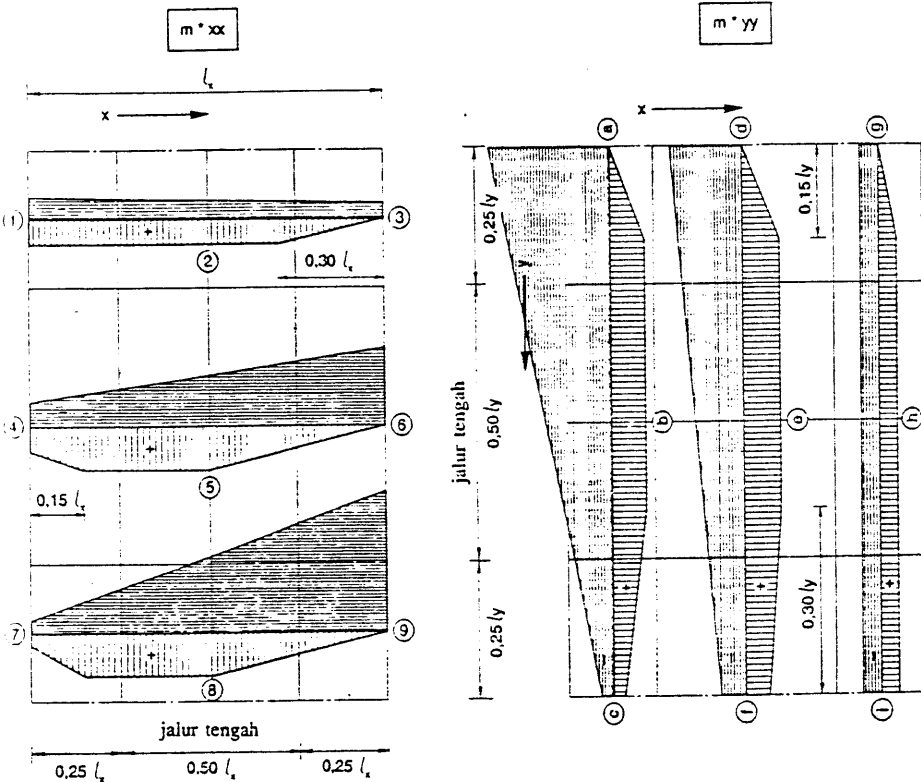
l_y/l_x	$m_{xx} = 0.001 wl_x^2 x$									$m_{yy} = 0.001 wl_x^2 x$								
	1	2	3	4	5	6	7	8	9	a	b	c	d	e	f	g	h	i
1,0	-15	+13	-15	-63	+30	-63	-83	+40	-83	±15	+15	-3	-18	+14	-2	±15	+15	-3
1,2	-19	+14	-19	-69	+33	-69	-84	+42	-84	±15	+15	-2	-18	+15	-2	±15	+15	-2
1,4	-23	+15	-23	-74	+35	-74	-84	+42	-84	±15	+15	-2	-17	+15	-2	±15	+15	-2
1,6	-27	+17	-27	-77	+37	-77	-84	+42	-84	±15	+15	-2	-17	+15	-2	±15	+15	-2
1,8	-31	+18	-31	-79	+39	-79	-84	+42	-84	±15	+15	-3	-17	+15	-2	±15	+15	-3
2,0	-34	+19	-34	-80	+40	-80	-84	+42	-84	±15	+15	-4	-16	+15	-3	±15	+15	-4
2,5	-41	+20	-41	-82	+41	-82	-84	+42	-84	±15	+15	-5	-15	+15	-4	±15	+15	-5
3,0	-47	+23	-47	-83	+42	-83	-84	+42	-84	±15	+15	-8	-14	+15	-6	±15	+15	-8

II - 5

• pelat II - 5

Momen penulangan per satuan panjang terhadap beban terbagi rata

Skema dari diagram momen penulangan



Koefisien untuk momen penulangan

l_y/l_x	$m_{xx} = 0.001 wl_x^2 x$									$m_{yy} = 0.001 wl_x^2 x$								
	1	2	3	4	5	6	7	8	9	a	b	c	d	e	f	g	h	i
1,0	±34	+34	-30	±39	+62	-121	±17	+66	-248	-248	-66	±17	-121	+62	±39	-34	+34	±34
1,2	±46	+46	-36	±51	+69	-159	±22	+64	-298	-287	-87	±18	-131	+76	±38	-33	+33	±33
1,4	±57	+57	-44	±60	+73	-196	±24	+59	-339	-315	-103	±17	-139	+87	±35	-36	+36	±36
1,6	±65	+65	-52	±65	+76	-231	±25	+51	-373	-334	-115	±16	-145	+94	±31	-37	+37	±37
1,8	±72	+72	-60	±68	+77	-263	±24	+43	-399	-347	-121	±14	-148	+99	±26	-39	+39	±39
2,0	±77	+77	-68	±69	+76	-293	±22	+36	-420	-355	-126	±12	-151	+102	±22	-40	+40	±40
2,5	±86	+86	-85	±64	+69	-350	±17	+22	-455	-361	-131	±9	-153	+105	±16	-41	+41	±41
3,0	±91	+91	-106	±56	+60	-390	±12	+13	-475	-361	-131	±9	-153	+108	±13	-41	+41	±41

BAB

Lentur Tanpa
Beban Aksial

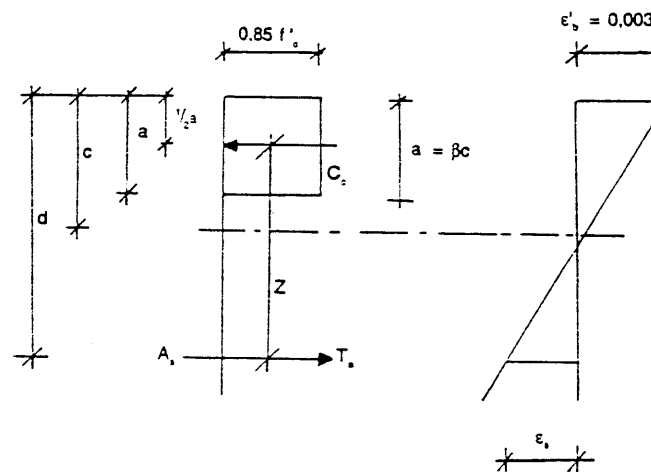
5

5.1 Lentur tanpa beban aksial pada penampang persegi

Penjelasan tabel

Koefisien yang diberikan pada tabel-tabel 5.1.a s/d 5.1.j akan diturunkan di bawah ini, atas dasar dimensi-dimensi berikut:

- b , d , c dan z dalam satuan m
- M_u dalam satuan kNm
- A_s dalam satuan mm^2
- f'_c dan f_y dalam satuan MPa
- C_c dan T_s dalam satuan kN



$$C_c = 0.85 \phi f'_c b \cdot \beta_1 \cdot c \cdot 10^3$$

$$\begin{aligned} B &= 0.85 \text{ untuk } f'_c \leq 30 \text{ MPa} \\ B &= 0.81 \text{ untuk } f'_c = 35 \text{ MPa} \end{aligned}$$

$$T_s = A_s \cdot \phi f_y \cdot 10^{-3}$$

$$M_u = C_c \cdot z = 0.7225 \phi f'_c b \cdot c \cdot z \cdot 10^3 \text{ untuk } f'_c \leq 30 \text{ MPa}$$

$$M_u = C_c \cdot z = 0.6885 \phi f'_c b \cdot c \cdot z \cdot 10^3 \text{ untuk } f'_c = 35 \text{ MPa}$$

$$M_u = T_s \cdot z = A_s \cdot f_y z \cdot 10^{-3}$$

$$z = (d - 0.425c) \text{ untuk } f'_c < 30 \text{ MPa}$$

$$z = (d - 0.405c) \text{ untuk } f'_c = 35 \text{ MPa}$$

$$A_s = \rho b \cdot d \cdot 10^6$$

$C_c = T_s$ menghasilkan sebagai berikut

$$\frac{\rho f_y}{0.85 \beta_1 f'_c} \text{ ataupun } \frac{c}{d} = 1.384 \rho \frac{f_y}{f'_c} \text{ untuk } f'_c \leq 30 \text{ MPa}$$

$$\text{Atau } \frac{c}{d} = 1.384 \rho \frac{f_y}{f'_c} \text{ untuk } f'_c = 35 \text{ MPa}$$

$$\text{Untuk seluruh mutu beton: } \frac{z}{d} = (1 - 0.588 \rho \frac{f_y}{f'_c})$$

$$\frac{M_u}{bd^2} = \rho \phi f_y (1 - 0.588 \rho \frac{f_y}{f'_c}) \cdot 10^3$$

Untuk kanan dari persamaan di atas hanya tergantung pada mutu beton dan baja maupun ratio penulangan
Dalam memilih mutu beton dan baja, hubungan antara $\frac{M_u}{bd^2}$ dan ρ dinyatakan dalam tabel-tabel 5.1.a
d/ 5.1.j

$$\text{Dari } M_u = A_s \phi f_y \cdot z \cdot 10^3 \text{ didapatkan } A_s = \frac{M_u \cdot 10^3}{\phi f_y z}$$

$$\text{Bila ditulis sesuai dengan } A_s = \frac{M_u}{a_s d} \text{ maka nilai } a_s \text{ berupa: } a_s = \phi f_y \frac{z}{d} 10^{-3}$$

Pada tabel ternyata nilai dari a_s hanya sedikit bervariasi. Dengan demikian, penyimpangan akibat kesalahan menginterpolasikan hampir tidak ada.

5.1.a MUTU BETON $f'_c = 15$ $\phi = 0,8$

M/bd	$f'_c = 230 \text{ MPa}$		$f'_c = 400 \text{ MPa}$		c/d	z/d
	P	a _n	P	a _n		
100	0,0005	0,191	0,0003	0,318	0,012	0,995
200	0,0011	0,190	0,0006	0,317	0,023	0,990
300	0,0016	0,189	0,0010	0,315	0,035	0,985
400	0,0021	0,188	0,0013	0,314	0,047	0,980
500	0,0027	0,187	0,0016	0,312	0,059	0,975
600	0,0032	0,186	0,0019	0,310	0,071	0,970
700	0,0038	0,185	0,0023	0,309	0,084	0,964
800	0,0043	0,184	0,0026	0,307	0,096	0,959
900	0,0049	0,183	0,0029	0,305	0,109	0,954
1000	0,0055	0,182	0,0033	0,303	0,122	0,948
1100	0,0061	0,181	0,0036	0,302	0,135	0,943
1200	0,0067	0,180	0,0040	0,300	0,148	0,937
1300	0,0073	0,179	0,0044	0,298	0,161	0,932
1400	0,0079	0,178	0,0047	0,296	0,174	0,926
1500	0,0085	0,177	0,0051	0,294	0,188	0,920
1600	0,0091	0,176	0,0055	0,293	0,202	0,914
1700	0,0097	0,174	0,0058	0,291	0,216	0,908
1800	0,0104	0,173	0,0062	0,289	0,230	0,902
1900	0,0110	0,172	0,0066	0,287	0,245	0,896
2000	0,0117	0,171	0,0070	0,285	0,259	0,890
2100	0,0124	0,170	0,0074	0,283	0,274	0,883
2200	0,0131	0,168	0,0078	0,281	0,289	0,877
2300	0,0138	0,167	0,0083	0,279	0,305	0,870
2400	0,0145	0,166	0,0087	0,276	0,320	0,864
2500	0,0152	0,165	0,0091	0,274	0,336	0,857
2600	0,0159	0,163	0,0096	0,272	0,353	0,850
2700	0,0167	0,162	0,0100	0,270	0,369	0,843
2800	0,0174	0,160	0,0105	0,267	0,386	0,836
2900	0,0182	0,159	0,0109	0,265	0,404	0,828
3000	0,0190	0,158	0,0114	0,263	0,422	0,821
3100	0,0199	0,156	0,0119	0,260	0,440	0,813
3200	0,0207	0,155	0,0124	0,258	0,458	0,805
3300	0,0216	0,153			0,478	0,797
3400	0,0225	0,151			0,497	0,789
3500	0,0234	0,150			0,518	0,780

5.1.b MUTU BETON $f'_c = 20$ $\phi = 0,8$

M/bd	$f'_c = 230 \text{ MPa}$			$f'_c = 400 \text{ MPa}$			c/d	z/d
	P	L	a _n	P	L	a _n		
100	0,0005			0,191			0,0003	0,319
200	0,0010			0,191			0,0006	0,318
300	0,0016			0,190			0,0009	0,316
400	0,0021			0,189			0,0013	0,315
500	0,0027			0,188			0,0016	0,314
600	0,0032			0,188			0,0019	0,313
700	0,0037			0,187			0,0022	0,312
800	0,0043			0,186			0,0026	0,310
900	0,0049			0,185			0,0029	0,309
1000	0,0054			0,185			0,0032	0,308
1100	0,0060			0,184			0,0036	0,306
1200	0,0066			0,183			0,0039	0,305
1300	0,0071			0,182			0,0043	0,304
1400	0,0077			0,182			0,0046	0,303
1500	0,0083			0,181			0,0050	0,301
1600	0,0089			0,180			0,0053	0,300
1700	0,0095			0,179			0,0057	0,299
1800	0,0101			0,178			0,0061	0,297
1900	0,0107			0,177			0,0064	0,296
2000	0,0113			0,177			0,0068	0,294
2100	0,0119			0,176			0,0072	0,293
2200	0,0126			0,175			0,0075	0,292
2300	0,0132			0,174			0,0079	0,290
2400	0,0139			0,173			0,0083	0,289
2500	0,0145			0,172			0,0087	0,287
2600	0,0152			0,171			0,0091	0,286
2700	0,0158			0,171			0,0095	0,284
2800	0,0165			0,170			0,0099	0,283
2900	0,0172			0,169			0,0103	0,281
3000	0,0179			0,168			0,0107	0,280
3100	0,0186			0,167			0,0112	0,278
3200	0,0193			0,166			0,0116	0,276
3300	0,0200			0,165			0,0120	0,275
3400	0,0207			0,164			0,0124	0,273
3500	0,0215			0,163			0,0129	0,271
3600	0,0222			0,162			0,0133	0,270
3700	0,0230			0,161			0,0138	0,268
3800	0,0238			0,160			0,0143	0,266
3900	0,0246			0,159			0,0147	0,264
4000	0,0254			0,158			0,0152	0,263
4100	0,0262			0,156			0,0157	0,261
4200	0,0270			0,155			0,0162	0,259
4300	0,0279			0,154			0,0167	0,257
4400	0,0288			0,153				0,478
4500	0,0296			0,152				0,492
4600	0,0305			0,151				0,507
4700	0,0315			0,149				0,523
4800	0,0324			0,148				0,538

5.1.c MUTU BETON f'_c 25 $\phi = 0,8$

M/BF	$f'_c = 240 \text{ MPa}$		$f'_c = 400 \text{ MPa}$		c/d	z/d
	P	Q	P	Q		
100	0,0005	0,191	0,0003	0,319	0,007	0,997
200	0,0010	0,191	0,0006	0,318	0,014	0,994
300	0,0016	0,190	0,0009	0,317	0,021	0,991
400	0,0021	0,190	0,0013	0,316	0,028	0,988
500	0,0026	0,189	0,0016	0,315	0,035	0,985
600	0,0032	0,189	0,0019	0,314	0,042	0,982
700	0,0037	0,188	0,0022	0,313	0,049	0,979
800	0,0043	0,187	0,0026	0,312	0,057	0,976
900	0,0048	0,187	0,0029	0,311	0,064	0,973
1000	0,0054	0,186	0,0032	0,310	0,071	0,970
1100	0,0059	0,186	0,0036	0,309	0,079	0,967
1200	0,0065	0,185	0,0039	0,308	0,086	0,963
1300	0,0071	0,184	0,0042	0,307	0,094	0,960
1400	0,0076	0,184	0,0046	0,306	0,101	0,957
1500	0,0082	0,183	0,0049	0,305	0,109	0,954
1600	0,0088	0,182	0,0053	0,304	0,116	0,950
1700	0,0093	0,182	0,0056	0,303	0,124	0,947
1800	0,0099	0,181	0,0060	0,302	0,132	0,944
1900	0,0105	0,181	0,0063	0,301	0,140	0,941
2000	0,0111	0,180	0,0067	0,300	0,148	0,937
2200	0,0123	0,179	0,0074	0,298	0,164	0,930
2400	0,0135	0,177	0,0081	0,296	0,180	0,924
2600	0,0148	0,176	0,0089	0,293	0,196	0,917
2800	0,0160	0,175	0,0096	0,291	0,213	0,909
3000	0,0173	0,173	0,0104	0,289	0,230	0,902
3200	0,0186	0,172	0,0112	0,286	0,247	0,895
3400	0,0200	0,170	0,0120	0,284	0,265	0,887
3600	0,0213	0,169	0,0128	0,281	0,283	0,880
3800	0,0227	0,167	0,0136	0,279	0,302	0,872
4000	0,0241	0,166	0,0145	0,276	0,320	0,864
4200	0,0256	0,164	0,0153	0,274	0,340	0,856
4400	0,0270	0,163	0,0162	0,271	0,359	0,847
4600	0,0286	0,161	0,0171	0,268	0,380	0,839
4800	0,0301	0,159	0,0181	0,266	0,400	0,830
5000	0,0317	0,158	0,0190	0,263	0,422	0,821
5200	0,0334	0,156	0,0200	0,260	0,443	0,812
5400	0,0351	0,154	0,0210	0,257	0,466	0,802
5600	0,0368	0,152		0,489	0,792	
5800	0,0386	0,150		0,513	0,782	
6000	0,0405	0,148		0,538	0,771	

5.1.d MUTU BETON f'_c 30 $\phi = 0,8$

M/BF	$f'_c = 240 \text{ MPa}$		$f'_c = 400 \text{ MPa}$		c/d	z/d
	P	Q	P	Q		
100	0,0005	0,192	0,0003	0,319	0,006	0,998
200	0,0010	0,191	0,0006	0,318	0,012	0,995
300	0,0016	0,191	0,0009	0,318	0,017	0,993
400	0,0021	0,190	0,0013	0,317	0,023	0,990
500	0,0026	0,190	0,0016	0,316	0,029	0,988
600	0,0032	0,189	0,0019	0,315	0,035	0,985
700	0,0037	0,189	0,0022	0,313	0,041	0,983
800	0,0043	0,188	0,0026	0,312	0,047	0,980
900	0,0048	0,187	0,0029	0,311	0,053	0,977
1000	0,0054	0,186	0,0032	0,310	0,059	0,975
1100	0,0059	0,186	0,0036	0,309	0,065	0,972
1200	0,0065	0,185	0,0039	0,308	0,071	0,970
1300	0,0071	0,184	0,0042	0,307	0,078	0,967
1400	0,0076	0,184	0,0046	0,306	0,084	0,964
1500	0,0082	0,183	0,0049	0,305	0,090	0,962
1600	0,0088	0,182	0,0053	0,304	0,096	0,959
1700	0,0093	0,182	0,0056	0,303	0,103	0,956
1800	0,0099	0,181	0,0060	0,302	0,110	0,953
1900	0,0105	0,181	0,0063	0,301	0,117	0,949
2000	0,0111	0,180	0,0067	0,300	0,123	0,943
2200	0,0123	0,179	0,0074	0,298	0,133	0,937
2400	0,0135	0,177	0,0081	0,296	0,145	0,932
2600	0,0148	0,176	0,0089	0,293	0,158	0,926
2800	0,0160	0,175	0,0096	0,291	0,170	0,920
3000	0,0173	0,173	0,0104	0,289	0,182	0,914
3200	0,0186	0,172	0,0112	0,286	0,195	0,908
3400	0,0200	0,170	0,0120	0,284	0,208	0,902
3600	0,0213	0,169	0,0128	0,281	0,221	0,896
3800	0,0227	0,167	0,0136	0,279	0,234	0,890
4000	0,0241	0,166	0,0145	0,276	0,248	0,883
4200	0,0256	0,164	0,0153	0,274	0,261	0,877
4400	0,0270	0,163	0,0162	0,271	0,275	0,870
4600	0,0286	0,161	0,0171	0,268	0,289	0,864
4800	0,0301	0,159	0,0181	0,266	0,304	0,857
5000	0,0317	0,158	0,0190	0,263	0,319	0,850
5200	0,0334	0,156	0,0200	0,260	0,334	0,843
5400	0,0351	0,154	0,0210	0,257	0,349	0,836
5600	0,0368	0,152		0,489	0,365	0,828
5800	0,0386	0,150		0,513	0,381	0,821
6000	0,0405	0,148		0,538	0,397	0,813
					0,414	0,805
					0,431	0,458
					0,449	0,478
					0,467	0,497
					0,486	0,518
						0,538

5.1.e MUTU BETON f'_c 35 $\phi = 0,8$

M _n /bd	$f'_c = 240 \text{ MPa}$		$f'_c = 400 \text{ MPa}$		c/d	z/d
	p	a _e	p	a _e		
100	0,0005	0,192	0,0003	0,319	0,005	0,998
200	0,0010	0,191	0,0006	0,319	0,010	0,996
300	0,0016	0,191	0,0009	0,318	0,016	0,994
400	0,0021	0,190	0,0013	0,317	0,021	0,992
500	0,0026	0,190	0,0016	0,317	0,026	0,989
600	0,0032	0,190	0,0019	0,316	0,032	0,987
700	0,0037	0,189	0,0022	0,315	0,037	0,985
800	0,0042	0,189	0,0025	0,315	0,042	0,983
900	0,0048	0,188	0,0029	0,314	0,048	0,981
1000	0,0053	0,188	0,0032	0,313	0,053	0,979
1100	0,0059	0,187	0,0035	0,312	0,058	0,976
1200	0,0064	0,187	0,0038	0,312	0,064	0,974
1300	0,0070	0,187	0,0042	0,311	0,069	0,972
1400	0,0075	0,186	0,0045	0,310	0,075	0,970
1500	0,0081	0,186	0,0048	0,310	0,080	0,967
1600	0,0086	0,185	0,0052	0,309	0,086	0,965
1700	0,0092	0,185	0,0055	0,308	0,092	0,963
1800	0,0098	0,184	0,0059	0,307	0,097	0,961
1900	0,0103	0,184	0,0062	0,307	0,103	0,958
2000	0,0109	0,184	0,0065	0,306	0,109	0,956
2200	0,0120	0,183	0,0072	0,304	0,120	0,951
2400	0,0132	0,182	0,0079	0,303	0,131	0,947
2600	0,0144	0,181	0,0086	0,301	0,143	0,942
2800	0,0156	0,180	0,0093	0,300	0,155	0,937
3000	0,0168	0,179	0,0101	0,298	0,167	0,932
3200	0,0180	0,178	0,0108	0,297	0,179	0,928
3400	0,0192	0,177	0,0115	0,295	0,191	0,923
3600	0,0204	0,176	0,0123	0,294	0,204	0,918
3800	0,0217	0,175	0,0130	0,292	0,216	0,913
4000	0,0230	0,174	0,0138	0,290	0,229	0,907
4200	0,0242	0,173	0,0145	0,289	0,241	0,902
4400	0,0255	0,172	0,0153	0,287	0,254	0,897
4600	0,0269	0,171	0,0161	0,285	0,268	0,892
4800	0,0282	0,170	0,0169	0,284	0,281	0,886
5000	0,0296	0,169	0,0177	0,282	0,294	0,881
5200	0,0309	0,168	0,0186	0,280	0,308	0,875
5400	0,0323	0,167	0,0194	0,278	0,322	0,870
5600	0,0338	0,166	0,0203	0,276	0,336	0,864
5800	0,0352	0,165	0,0211	0,275	0,351	0,858
6000	0,0367	0,164	0,0220	0,273	0,365	0,852
6200	0,0382	0,162	0,0229	0,271	0,380	0,846
6400	0,0397	0,161	0,0238	0,269	0,395	0,840
6600	0,0412	0,160	0,0247	0,267	0,411	0,834
6800	0,0428	0,159	0,0257	0,265	0,426	0,827
7000	0,0444	0,158	0,0266	0,263	0,442	0,821
7200	0,0461	0,156	0,0276	0,261	0,459	0,814
7400	0,0477	0,155	0,0286	0,258	0,475	0,807
7600	0,0494	0,154	0,0297	0,256	0,492	0,801
7800	0,0512	0,152	0,0307	0,254	0,510	0,793
8000	0,0530	0,151	0,0318	0,252	0,528	0,786
8200	0,0548	0,150	0,0329	0,249	0,546	0,779

5.1.i MUTU BETON f'_c 15 $\phi = 1$

M _n /bd	$f'_c = 240 \text{ MPa}$		$f'_c = 400 \text{ MPa}$		c/d	z/d
	p	a _e	p	a _e		
100	0,0004	0,239	0,0003	0,398	0,009	0,996
200	0,0008	0,238	0,0005	0,397	0,019	0,992
300	0,0013	0,237	0,0008	0,395	0,028	0,988
400	0,0017	0,236	0,0010	0,394	0,038	0,984
500	0,0021	0,235	0,0013	0,392	0,047	0,980
600	0,0026	0,234	0,0015	0,390	0,057	0,976
700	0,0030	0,233	0,0018	0,389	0,066	0,972
800	0,0034	0,232	0,0021	0,387	0,076	0,968
900	0,0039	0,231	0,0023	0,385	0,086	0,963
1000	0,0043	0,230	0,0026	0,384	0,096	0,959
1100	0,0048	0,229	0,0029	0,382	0,106	0,955
1200	0,0053	0,228	0,0032	0,380	0,116	0,950
1300	0,0057	0,227	0,0034	0,378	0,127	0,946
1400	0,0062	0,226	0,0037	0,377	0,137	0,942
1500	0,0067	0,225	0,0040	0,375	0,148	0,937
1600	0,0071	0,224	0,0043	0,373	0,158	0,933
1700	0,0076	0,223	0,0046	0,371	0,169	0,928
1800	0,0081	0,222	0,0049	0,369	0,180	0,924
1900	0,0086	0,221	0,0052	0,368	0,191	0,919
2000	0,0091	0,219	0,0055	0,366	0,202	0,914
2100	0,0096	0,218	0,0058	0,364	0,213	0,909
2200	0,0101	0,217	0,0061	0,362	0,224	0,905
2300	0,0107	0,216	0,0064	0,360	0,236	0,900
2400	0,0112	0,215	0,0067	0,358	0,247	0,895
2500	0,0117	0,214	0,0070	0,356	0,259	0,890
2600	0,0122	0,212	0,0073	0,354	0,271	0,885
2700	0,0128	0,211	0,0077	0,352	0,283	0,880
2800	0,0133	0,210	0,0080	0,350	0,295	0,874
2900	0,0139	0,209	0,0083	0,348	0,308	0,869
3000	0,0145	0,207	0,0087	0,346	0,320	0,864
3100	0,0150	0,206	0,0090	0,343	0,333	0,858
3200	0,0156	0,205	0,0094	0,341	0,346	0,853
3300	0,0162	0,203	0,0097	0,339	0,359	0,847
3400	0,0168	0,202	0,0101	0,337	0,373	0,842
3500	0,0174	0,201	0,0105	0,334	0,386	0,836
3600	0,0181	0,199	0,0108	0,332	0,400	0,830
3700	0,0187	0,198	0,0112	0,330	0,414	0,824
3800	0,0194	0,196	0,0116	0,327	0,429	0,818
3900	0,0200	0,195	0,0120	0,325	0,443	0,812
4000	0,0207	0,193	0,0124	0,322	0,458	0,805
4100	0,0214	0,192			0,474	0,799
4200	0,0221	0,190			0,489	0,792
4300	0,0228	0,188			0,505	0,785
4400	0,0236	0,187			0,522	0,778
4500	0,0243	0,185			0,538	0,771

5.1.g MUTU BETON $f'_c = 20$ $\phi = 1$

M_u/bd^2	$f'_c = 240 \text{ MPa}$		$f'_c = 400 \text{ MPa}$		c/d	z/d
	ρ	a_s	ρ	a_s		
100	0,0004	0,239	0,0003	0,399	0,007	0,997
200	0,0008	0,239	0,0005	0,398	0,014	0,994
300	0,0013	0,238	0,0008	0,396	0,021	0,991
400	0,0017	0,237	0,0010	0,395	0,028	0,988
500	0,0021	0,236	0,0013	0,394	0,035	0,985
600	0,0025	0,236	0,0015	0,393	0,042	0,982
700	0,0030	0,235	0,0018	0,392	0,049	0,979
800	0,0034	0,234	0,0020	0,390	0,057	0,976
900	0,0039	0,233	0,0023	0,389	0,064	0,973
1000	0,0043	0,233	0,0026	0,388	0,071	0,970
1100	0,0047	0,232	0,0028	0,387	0,079	0,967
1200	0,0052	0,231	0,0031	0,395	0,086	0,963
1300	0,0056	0,230	0,0034	0,384	0,094	0,960
1400	0,0061	0,230	0,0037	0,383	0,101	0,957
1500	0,0066	0,229	0,0039	0,381	0,109	0,954
1600	0,0070	0,228	0,0042	0,380	0,116	0,950
1700	0,0075	0,227	0,0045	0,379	0,124	0,947
1800	0,0079	0,227	0,0048	0,378	0,132	0,944
1900	0,0084	0,226	0,0051	0,376	0,140	0,941
2000	0,0089	0,225	0,0053	0,375	0,148	0,937
2100	0,0094	0,224	0,0056	0,374	0,156	0,934
2200	0,0099	0,223	0,0059	0,372	0,164	0,930
2300	0,0103	0,222	0,0062	0,371	0,172	0,927
2400	0,0108	0,222	0,0065	0,369	0,180	0,824
2500	0,0113	0,221	0,0068	0,368	0,188	0,820
2600	0,0118	0,220	0,0071	0,367	0,196	0,917
2700	0,0123	0,219	0,0074	0,365	0,205	0,913
2800	0,0128	0,218	0,0077	0,364	0,213	0,909
2900	0,0133	0,217	0,0080	0,362	0,222	0,906
3000	0,0139	0,217	0,0083	0,361	0,230	0,902
3100	0,0144	0,216	0,0086	0,359	0,239	0,899
3200	0,0149	0,215	0,0089	0,358	0,247	0,895
3300	0,0154	0,214	0,0093	0,356	0,256	0,891
3400	0,0160	0,213	0,0096	0,355	0,265	0,887
3500	0,0165	0,212	0,0099	0,353	0,274	0,883
3600	0,0171	0,211	0,0102	0,352	0,283	0,880
3700	0,0176	0,210	0,0106	0,350	0,292	0,876
3800	0,0182	0,209	0,0109	0,349	0,302	0,872
3900	0,0187	0,208	0,0112	0,347	0,311	0,868
4000	0,0193	0,207	0,0116	0,346	0,320	0,864
4100	0,0199	0,206	0,0119	0,344	0,330	0,860
4200	0,0205	0,205	0,0123	0,342	0,340	0,856
4300	0,0210	0,204	0,0126	0,341	0,349	0,851
4400	0,0216	0,203	0,0130	0,339	0,359	0,847
4500	0,0222	0,202	0,0133	0,337	0,369	0,843
4600	0,0229	0,201	0,0137	0,335	0,380	0,839
4700	0,0235	0,200	0,0141	0,334	0,390	0,834
4800	0,0241	0,199	0,0145	0,332	0,400	0,830
4900	0,0247	0,198	0,0148	0,330	0,411	0,825
5000	0,0254	0,197	0,0152	0,328	0,422	0,821
5100	0,0260	0,196	0,0156	0,326	0,432	0,816
5200	0,0267	0,195	0,0160	0,325	0,443	0,812
5300	0,0274	0,194	0,0164	0,323	0,455	0,807
5400	0,0281	0,192			0,466	0,802
5500	0,0288	0,191			0,478	0,797
5600	0,0295	0,190			0,489	0,792
5700	0,0302	0,189			0,501	0,787
5800	0,0309	0,188			0,513	0,782
5900	0,0317	0,186			0,526	0,777
6000	0,0324	0,185				

5.1.h MUTU BETON $f'_c = 25$ $\phi = 1$

M_u/bd^2	$f'_c = 240 \text{ MPa}$		$f'_c = 400 \text{ MPa}$		c/d	z/d
	ρ	a_s	ρ	a_s		
100	0,0004	0,239	0,0003	0,399	0,006	0,998
200	0,0008	0,239	0,0005	0,398	0,011	0,995
300	0,0013	0,238	0,0008	0,396	0,017	0,993
400	0,0017	0,237	0,0010	0,395	0,022	0,990
500	0,0021	0,236	0,0013	0,394	0,028	0,988
600	0,0025	0,236	0,0015	0,393	0,034	0,986
700	0,0030	0,235	0,0018	0,392	0,040	0,983
800	0,0034	0,234	0,0020	0,390	0,046	0,981
900	0,0039	0,233	0,0023	0,389	0,052	0,978
1000	0,0043	0,233	0,0026	0,388	0,058	0,976
1100	0,0047	0,232	0,0028	0,387	0,064	0,973
1200	0,0052	0,231	0,0031	0,395	0,070	0,970
1300	0,0056	0,230	0,0034	0,384	0,076	0,967
1400	0,0061	0,230	0,0037	0,383	0,082	0,964
1500	0,0066	0,229	0,0039	0,381	0,088	0,961
1600	0,0070	0,228	0,0042	0,380	0,094	0,958
1700	0,0075	0,227	0,0045	0,379	0,100	0,955
1800	0,0079	0,227	0,0048	0,378	0,106	0,952
1900	0,0084	0,226	0,0051	0,376	0,112	0,949
2000	0,0089	0,225	0,0053	0,375	0,118	0,946
2100	0,0094	0,224	0,0056	0,374	0,124	0,943
2200	0,0099	0,223	0,0059	0,372	0,130	0,940
2300	0,0103	0,222	0,0062	0,371	0,136	0,937
2400	0,0108	0,222	0,0065	0,369	0,142	0,934
2500	0,0113	0,221	0,0068	0,368	0,148	0,931
2600	0,0118	0,220	0,0071	0,367	0,154	0,928
2700	0,0123	0,219	0,0074	0,365	0,160	0,925
2800	0,0128	0,218	0,0077	0,364	0,166	0,922
2900	0,0133	0,217	0,0080	0,362	0,172	0,919
3000	0,0139	0,217	0,0083	0,361	0,178	0,916
3100	0,0144	0,216	0,0086	0,359	0,184	0,913
3200	0,0149	0,215	0,0089	0,358	0,190	0,910
3300	0,0154	0,214	0,0093	0,356	0,196	0,907
3400	0,0160	0,213	0,0096	0,355	0,202	0,904
3500	0,0165	0,212	0,0099	0,353	0,208	0,901
3600	0,0171	0,211	0,0102	0,352	0,214	0,898
3700	0,0176	0,210	0,0106	0,350	0,220	0,895
3800	0,0182	0,209	0,0109	0,349	0,226	0,892
3900	0,0187	0,208	0,0112	0,347	0,232	0,889
4000	0,0193	0,207	0,0116	0,346	0,238	0,886
4100	0,0199	0,206	0,0119	0,344	0,244	0,883
4200	0,0205	0,205	0,0123	0,342	0,250	0,879
4300	0,0210	0,204	0,0126	0,341	0,256	0,876
4400	0,0216	0,203	0,0130	0,339	0,262	0,873
4500	0,0222	0,202	0,0133	0,337	0,268	0,869
4600	0,0229	0,201	0,0137	0,335	0,274	0,866
4700	0,0235	0,200	0,0141	0,334	0,280	0,863
4800	0,0241	0,199	0,0145	0,332	0,286	0,859
4900	0,0247	0,198	0,0148	0,330	0,292	0,856
5000	0,0254	0,197	0,0152	0,328	0,298	0,853
5100	0,0260	0,196	0,0156	0,326	0,304	0,850
5200	0,0267	0,195	0,0160	0,325	0,310	0,847
5300	0,0274	0,194	0,0164	0,323	0,316	0,844
5400	0,0281	0,192			0,322	0,840
5500	0,0288	0,191			0,328	0,837
5600	0,0295	0,190			0,334	0,834
5700	0,0302	0,189			0,340	0,831
5800	0,0309	0,188			0,346	0,828
5900	0,0317	0,186			0,352	0,825
6000	0,0324	0,185			0,358	0,822

5.1.i MUTU BETON f'_c 30 $\phi = 1$

M _w /bd ²	$f'_c = 240 \text{ MPa}$		$f'_c = 400 \text{ MPa}$		c/d	z/d
	ρ	a_u	ρ	a_u		
100	0.0004	0.240	0.0003	0.399	0.005	0.998
200	0.0008	0.239	0.0005	0.398	0.009	0.996
300	0.0013	0.239	0.0008	0.398	0.014	0.994
400	0.0017	0.238	0.0010	0.397	0.019	0.992
500	0.0021	0.238	0.0013	0.396	0.023	0.990
600	0.0025	0.237	0.0015	0.395	0.028	0.988
700	0.0030	0.237	0.0018	0.394	0.033	0.986
800	0.0034	0.236	0.0020	0.394	0.038	0.984
900	0.0038	0.236	0.0023	0.393	0.042	0.982
1000	0.0043	0.235	0.0026	0.392	0.047	0.980
1100	0.0047	0.235	0.0028	0.391	0.052	0.978
1200	0.0051	0.234	0.0031	0.390	0.057	0.976
1300	0.0056	0.234	0.0033	0.390	0.062	0.974
1400	0.0060	0.233	0.0036	0.389	0.066	0.972
1500	0.0064	0.233	0.0039	0.388	0.071	0.970
1600	0.0069	0.232	0.0041	0.387	0.076	0.968
1700	0.0073	0.232	0.0044	0.386	0.081	0.965
1800	0.0078	0.231	0.0047	0.385	0.086	0.963
1900	0.0082	0.231	0.0049	0.384	0.091	0.961
2000	0.0087	0.230	0.0052	0.384	0.096	0.959
2200	0.0096	0.229	0.0058	0.382	0.106	0.955
2400	0.0105	0.228	0.0063	0.380	0.116	0.950
2600	0.0115	0.227	0.0069	0.378	0.127	0.946
2800	0.0124	0.226	0.0074	0.377	0.137	0.942
3000	0.0133	0.225	0.0080	0.375	0.148	0.937
3200	0.0143	0.224	0.0086	0.373	0.158	0.933
3400	0.0153	0.223	0.0092	0.371	0.169	0.928
3600	0.0162	0.222	0.0097	0.369	0.180	0.924
3800	0.0172	0.221	0.0103	0.368	0.191	0.919
4000	0.0182	0.219	0.0109	0.366	0.202	0.914
4200	0.0192	0.218	0.0115	0.364	0.213	0.909
4400	0.0203	0.217	0.0122	0.362	0.224	0.905
4600	0.0213	0.216	0.0128	0.360	0.236	0.900
4800	0.0224	0.215	0.0134	0.358	0.347	0.895
5000	0.0234	0.214	0.0140	0.356	0.259	0.890
5200	0.0245	0.212	0.0147	0.354	0.271	0.885
5400	0.0256	0.211	0.0153	0.352	0.383	0.880
5600	0.0267	0.210	0.0160	0.350	0.295	0.874
5800	0.0278	0.209	0.0167	0.348	0.308	0.869
6000	0.0289	0.207	0.0174	0.346	0.320	0.864
6200	0.0301	0.206	0.0181	0.343	0.333	0.858
6400	0.0313	0.205	0.0188	0.341	0.346	0.853
6600	0.0325	0.203	0.0195	0.339	0.359	0.847
6800	0.0337	0.202	0.0202	0.337	0.337	0.842
7000	0.0349	0.201	0.0209	0.334	0.386	0.836
7200	0.0361	0.199	0.0217	0.332	0.400	0.830
7400	0.0374	0.198	0.0225	0.330	0.414	0.824
7600	0.0387	0.196	0.0232	0.327	0.429	0.818
7800	0.0400	0.195	0.0240	0.325	0.443	0.812
8000	0.0414	0.193	0.0248	0.322	0.458	0.805
8200	0.0428	0.192			0.474	0.799
8400	0.0442	0.190			0.489	0.792
8600	0.0456	0.188			0.505	0.785
8800	0.0471	0.187			0.522	0.778
9000	0.0486	0.185			0.538	0.771

5.1.j MUTU BETON f'_c 35 $\phi = 1$

M _w /bd ²	$f'_c = 240 \text{ MPa}$		$f'_c = 400 \text{ MPa}$		c/d	z/d
	ρ	a_u	ρ	a_u		
100	0.0004	0.240	0.0003	0.399	0.005	0.998
200	0.0008	0.239	0.0005	0.398	0.009	0.996
300	0.0013	0.239	0.0008	0.398	0.014	0.994
400	0.0017	0.238	0.0010	0.397	0.019	0.992
500	0.0021	0.238	0.0013	0.396	0.023	0.990
600	0.0025	0.237	0.0015	0.395	0.028	0.988
700	0.0030	0.237	0.0018	0.394	0.033	0.986
800	0.0034	0.236	0.0020	0.394	0.038	0.984
900	0.0038	0.236	0.0023	0.393	0.042	0.982
1000	0.0043	0.235	0.0026	0.392	0.047	0.980
1100	0.0047	0.235	0.0028	0.391	0.052	0.978
1200	0.0051	0.234	0.0031	0.390	0.057	0.976
1300	0.0056	0.234	0.0033	0.390	0.062	0.974
1400	0.0060	0.233	0.0036	0.389	0.066	0.972
1500	0.0064	0.233	0.0039	0.388	0.071	0.970
1600	0.0069	0.232	0.0041	0.387	0.076	0.968
1700	0.0073	0.232	0.0044	0.386	0.081	0.965
1800	0.0078	0.231	0.0047	0.385	0.086	0.963
1900	0.0082	0.231	0.0049	0.384	0.091	0.961
2000	0.0087	0.230	0.0052	0.384	0.096	0.959
2200	0.0096	0.229	0.0058	0.382	0.106	0.955
2400	0.0105	0.228	0.0063	0.380	0.116	0.950
2600	0.0115	0.227	0.0069	0.378	0.127	0.946
2800	0.0124	0.226	0.0074	0.377	0.137	0.942
3000	0.0133	0.225	0.0080	0.375	0.148	0.937
3200	0.0143	0.224	0.0086	0.373	0.158	0.933
3400	0.0153	0.223	0.0092	0.371	0.169	0.928
3600	0.0162	0.222	0.0097	0.369	0.180	0.924
3800	0.0172	0.221	0.0103	0.368	0.191	0.919
4000	0.0182	0.219	0.0109	0.366	0.202	0.914
4200	0.0192	0.218	0.0115	0.364	0.213	0.909
4400	0.0203	0.217	0.0122	0.362	0.224	0.905
4600	0.0213	0.216	0.0128	0.360	0.236	0.900
4800	0.0224	0.215	0.0134	0.358	0.347	0.895
5000	0.0234	0.214	0.0140	0.356	0.259	0.890
5200	0.0245	0.212	0.0147	0.354	0.271	0.885
5400	0.0256	0.211	0.0153	0.352	0.383	0.880
5600	0.0267	0.210	0.0160	0.350	0.295	0.874
5800	0.0278	0.209	0.0167	0.348	0.308	0.869
6000	0.0289	0.207	0.0174	0.346	0.320	0.864
6200	0.0301	0.206	0.0181	0.343	0.333	0.858
6400	0.0313	0.205	0.0188	0.341	0.346	0.853
6600	0.0325	0.203	0.0195	0.339	0.359	0.847
6800	0.0337	0.202	0.0202	0.337	0.337	0.842
7000	0.0349	0.201	0.0209	0.334	0.386	0.836
7200	0.0361	0.199	0.0217	0.332	0.400	0.830
7400	0.0374	0.198	0.0225	0.330	0.414	0.824
7600	0.0387	0.196	0.0232	0.327	0.429	0.818
7800	0.0400	0.195	0.0240	0.325	0.443	0.812
8000	0.0414	0.193	0.0248	0.322	0.458	0.805
8200	0.0428	0.192			0.474	0.799
8400	0.0442	0.190			0.489	0.792
8600	0.0456	0.188			0.505	0.785
8800	0.0471	0.187			0.522	0.778
9000	0.0486	0.185			0.538	0.771

5.2 Lentur tanpa beban aksial pada penampang persegi dengan penulangan tarik maupun tekan.

Penjelasan grafik dalam menentukan A' :

$$M_{u1} = A_{s\text{ maks}} \phi f_y z$$

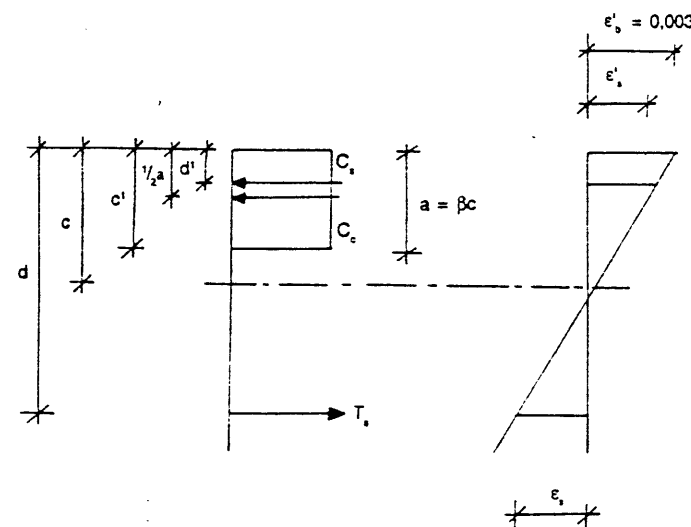
$$A_{s\text{ maks}} = \rho_{\text{maks}} bd \quad \rho_{\text{maks}} = 0,75 \rho_b$$

$$z = (d - 0,425 c_{\text{maks}}) \text{ untuk } f'_c \leq 30 \text{ MPa}$$

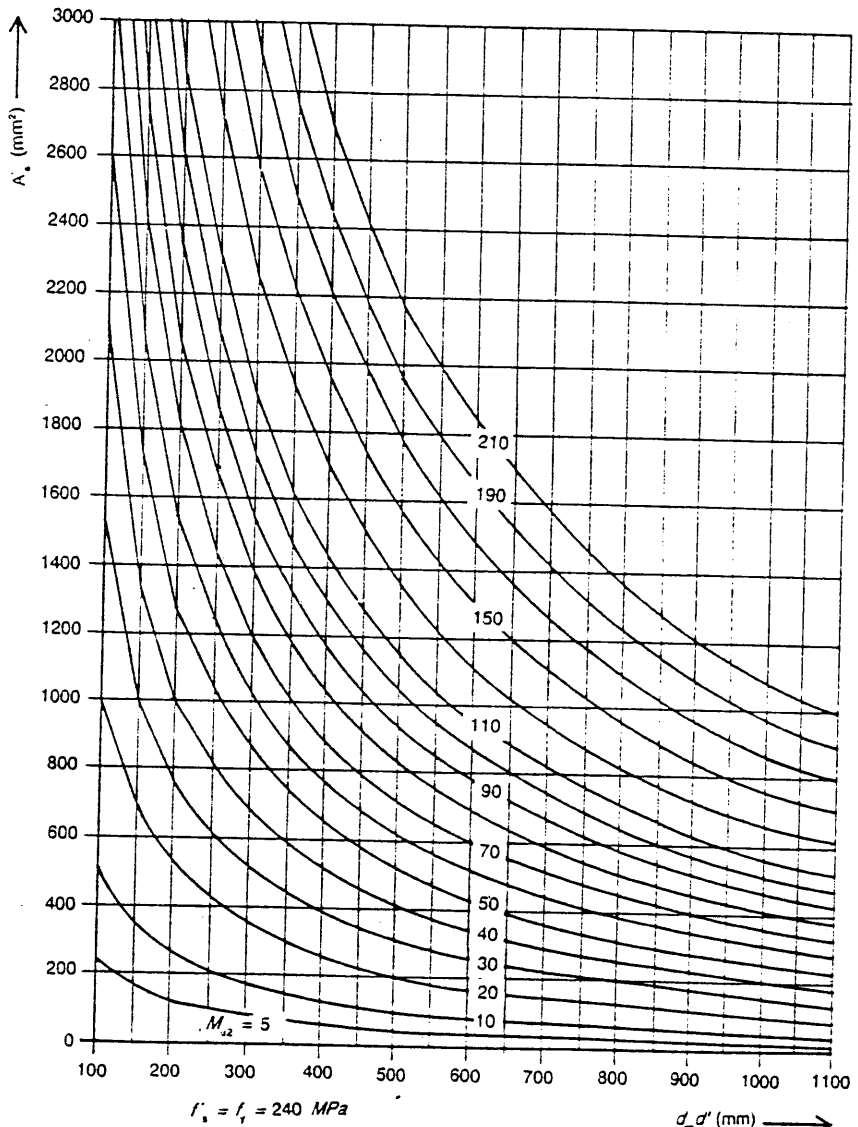
$$z = (d - 0,405 c_{\text{maks}}) \text{ untuk } f'_c = 30 \text{ MPa}$$

$$M_{u2} = M_u - M_{u1}$$

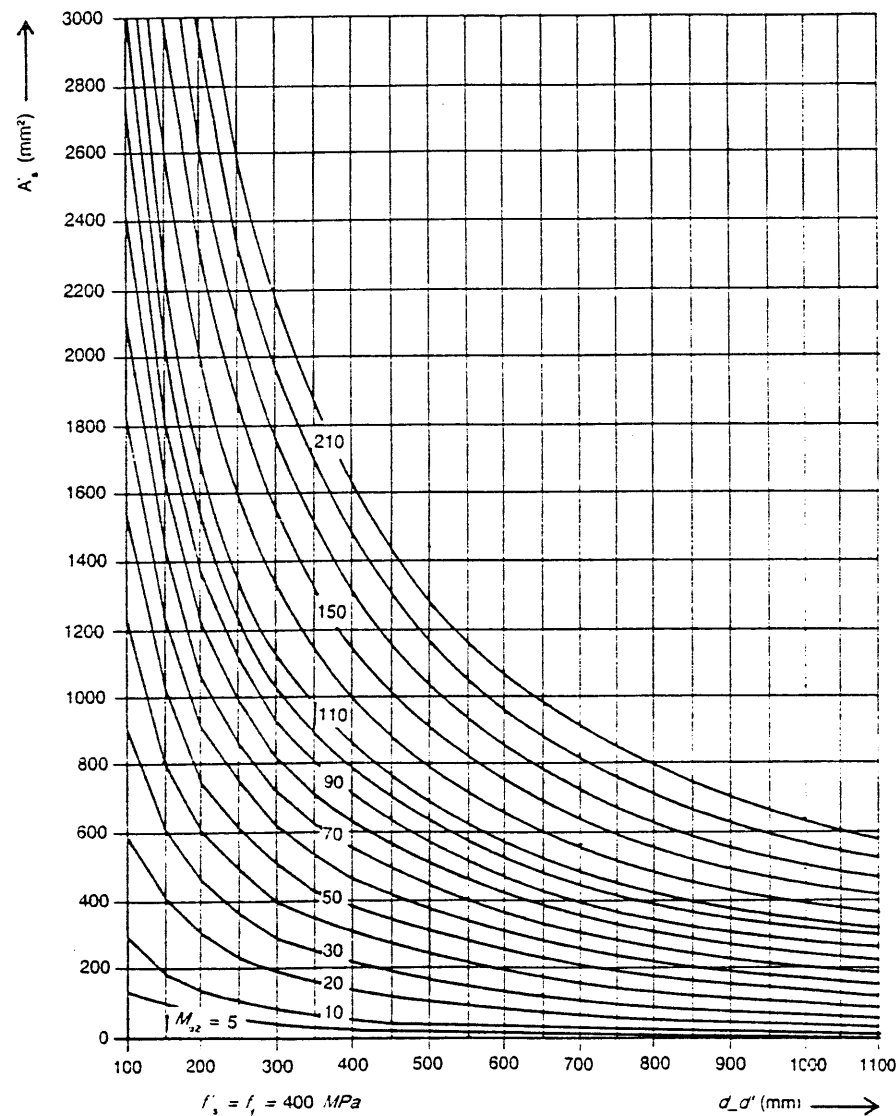
$$A'_s = \frac{M_{u2}}{\phi f_y (d-d')}$$



Pada Grafik 5.2.a dan 5.2.b, sumbu horisontal dinyatakan sebagai tinggi manfaat ($d-d'$) dalam satuan mm. Melalui garis-garis M_{u2} , nilai-nilai A' , dapat dibaca pada sumbu vertikal.



Gambar 5.2.a



Gambar 5.25

Lentur tanpa beban aksial pada penampang persegi dengan $\rho^2 = 0.50 \rho$

Penjelasan tabel-tabel.

Koefisien-koefisien dalam tabel 5.3.a sampai dengan 5.3.j diturunkan menurut dimensi yang sama pada tabel 5.1.a sampai dengan 5.1.j.

a, l, c dan z dalam satuan m:

ρ dalam kNm; A'_s dalam satuan mm²
dan f_y dalam satuan MPa; C_s , C_c dan T_s dalam satuan kN

$$= 0.85 \rho f'_c b B c . 10^3$$

$B = 0.85$ untuk $f'_c \leq 30 \text{ MPa}$

$$= 0.5 \rho b d f'_y . 10^3$$

$B = 0.81$ untuk $f'_c = 35 \text{ MPa}$

$$= \rho b d f'_y . 10^3$$

untuk $f'_c \leq 30 \text{ MPa}$

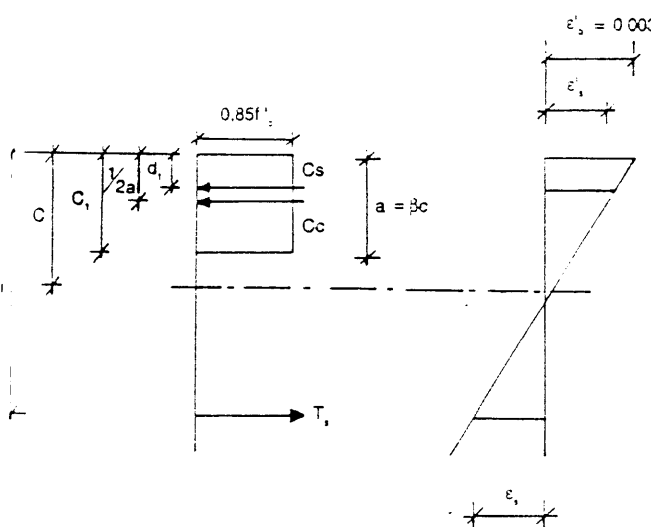
$$= 0.225 \rho f'_c b c . 10^3 + 0.5 \rho b d f'_y . 10^3 = \rho b d f'_y . 10^3$$

$$= 0.692 \rho \frac{f'_y}{f'_c}$$

untuk $f'_c = 35 \text{ MPa}$

$$= 0.885 \rho f'_c b c . 10^3 + 0.5 \rho b d f'_y . 10^3 = \rho b d f'_y . 10^3$$

$$= 0.726 \rho \frac{f'_y}{f'_c}$$



$z = (d - 0,425c)$ untuk $f'_c \leq 30$ MPa
 $z = (d - 0,405c)$ untuk $f'_c = 35$ MPa

$$M_u = \frac{1}{2} T_c (d - d')$$

Untuk $f'_c \leq 30$ MPa :

$$\frac{M_u}{bd^2} = \frac{1}{2} \rho f_y \left[\left(1 - 0,425 \frac{c}{d} \right) + \left(1 - \frac{d'}{d} \right) \right]$$

Untuk $f'_c = 35$ MPa

$$\frac{M_u}{bd^2} = \frac{1}{2} \rho f_y \left[\left(1 - 0,405 \frac{c}{d} \right) + \left(1 - \frac{d'}{d} \right) \right]$$

Suku kanan dari persamaan di atas hanya tergantung pada mutu beton dan baja maupun ratio penulangan ρ dan d' .

Pada tabel-tabeli untuk $\phi = 0,8$ dan $\phi = 1,0$ nilai-nilai dari $\frac{d'}{d} = 0,10, 0,15$ dan $0,20$.



3.4 MUTU BETON $f'_c = 15$ dengan tulangan tekan

$\phi = 0,8$

M_u/bd^2	$f_y = 240$ MPa			$f_y = 400$ MPa				
	$d'/d =$	0,10	0,15	0,20	$d'/d =$	0,10	0,15	0,20
200		0,0011	0,0011	0,0012		0,0007	0,0007	0,0007
400		0,0022	0,0023	0,0023		0,0013	0,0014	0,0014
600		0,0033	0,0034	0,0035		0,0020	0,0020	0,0021
800		0,0044	0,0046	0,0047		0,0027	0,0027	0,0028
1000		0,0056	0,0057	0,0059		0,0033	0,0034	0,0035
1200		0,0067	0,0069	0,0071		0,0040	0,0041	0,0042
1400		0,0078	0,0080	0,0083		0,0047	0,0048	0,0050
1600		0,0090	0,0092	0,0095		0,0054	0,0055	0,0057
1800		0,0101	0,0104	0,0107		0,0061	0,0062	0,0072
2000		0,0113	0,0116	0,0119		0,0068	0,0070	0,0064
2200		0,0124	0,0128	0,0132		0,0075	0,0077	0,0079
2400		0,0136	0,0140	0,0144		0,0082	0,0084	0,0087
2600		0,0148	0,0152	0,0157		0,0089	0,0091	0,0094
2800		0,0160	0,0165	0,0170		0,0096	0,0099	0,0102
3000		0,0172	0,0177	0,0182		0,0103	0,0106	0,0109
3200		0,0184	0,0189	0,0195		0,0110	0,0114	0,0117
3400		0,0196	0,0202	0,0208		0,0118	0,0121	0,0125
3600		0,0208	0,0214	0,0221		0,0125	0,0129	0,0133
3800		0,0220	0,0227	0,0234		0,0132	0,0136	0,0141
4000		0,0233	0,0240	0,0247		0,0140	0,0144	0,0148

5.3.b MUTU BETON $f'_c = 20$ dengan tulangan tekan $\phi = 0,8$

M_u/bd^2	$f_y = 240 \text{ MPa}$ $d'/d =$			$f_y = 400 \text{ MPa}$ $d'/d =$		
	0,10	0,15	0,20	0,10	0,15	0,20
200	0,0011	0,0011	0,0012	0,0007	0,0007	0,0007
400	0,0022	0,0023	0,0023	0,0013	0,0014	0,0014
600	0,0033	0,0034	0,0035	0,0020	0,0020	0,0021
800	0,0044	0,0045	0,0047	0,0027	0,0027	0,0028
1000	0,0055	0,0057	0,0059	0,0033	0,0034	0,0035
1200	0,0067	0,0068	0,0070	0,0040	0,0041	0,0042
1400	0,0078	0,0080	0,0082	0,0047	0,0048	0,0049
1600	0,0089	0,0092	0,0094	0,0054	0,0055	0,0057
1800	0,0101	0,0103	0,0106	0,0060	0,0062	0,0064
2000	0,0112	0,0115	0,0118	0,0067	0,0069	0,0071
2200	0,0123	0,0127	0,0131	0,0074	0,0076	0,0078
2400	0,0135	0,0139	0,0143	0,0081	0,0083	0,0086
2600	0,0147	0,0151	0,0155	0,0088	0,0090	0,0093
2800	0,0158	0,0163	0,0168	0,0095	0,0098	0,0101
3000	0,0170	0,0175	0,0180	0,0102	0,0105	0,0108
3200	0,0182	0,0187	0,0192	0,0109	0,0112	0,0115
3400	0,0193	0,0199	0,0205	0,0116	0,0119	0,0123
3600	0,0205	0,0211	0,0218	0,0123	0,0127	0,0131
3800	0,0217	0,0223	0,0230	0,0130	0,0134	0,0138
4000	0,0229	0,0236	0,0243	0,0137	0,0142	0,0146
4200	0,0241	0,0248	0,0256	0,0145	0,0149	0,0154
4400	0,0253	0,0261	0,0269	0,0152	0,0156	0,0161
4600	0,0265	0,0273	0,0282	0,0159	0,0164	0,0169
4800	0,0277	0,0286	0,0295	0,0166	0,0172	0,0177
5000	0,0290	0,0299	0,0308	0,0174	0,0179	0,0185
5200	0,0302	0,0311	0,0321	0,0181	0,0187	0,0193
5400	0,0314	0,0324	0,0334	0,0189	0,0194	0,0201
5600	0,0327	0,0337	0,0348	0,0196	0,0202	0,0209

5.3.c MUTU BETON $f'_c = 25$ dengan tulangan tekan $\phi = 0,8$

M_u/bd^2	$f_y = 240 \text{ MPa}$ $d'/d =$			$f_y = 400 \text{ MPa}$ $d'/d =$		
	0,10	0,15	0,20	0,10	0,15	0,20
200	0,0011	0,0011	0,0012	0,0007	0,0007	0,0007
400	0,0022	0,0023	0,0023	0,0013	0,0014	0,0014
600	0,0033	0,0034	0,0035	0,0020	0,0020	0,0021
800	0,0044	0,0045	0,0047	0,0027	0,0028	0,0028
1000	0,0055	0,0057	0,0059	0,0033	0,0034	0,0035
1200	0,0067	0,0068	0,0070	0,0040	0,0042	0,0042
1400	0,0078	0,0080	0,0082	0,0047	0,0049	0,0049
1600	0,0089	0,0092	0,0094	0,0054	0,0057	0,0056
1800	0,0101	0,0103	0,0106	0,0060	0,0062	0,0064
2000	0,0112	0,0115	0,0118	0,0067	0,0069	0,0071
2200	0,0123	0,0127	0,0131	0,0074	0,0078	0,0078
2400	0,0135	0,0139	0,0143	0,0081	0,0086	0,0085
2600	0,0147	0,0151	0,0155	0,0088	0,0090	0,0093
2800	0,0158	0,0163	0,0168	0,0095	0,0098	0,0100
3000	0,0170	0,0175	0,0180	0,0102	0,0105	0,0107
3200	0,0182	0,0187	0,0192	0,0109	0,0112	0,0115
3400	0,0193	0,0199	0,0205	0,0116	0,0119	0,0122
3600	0,0205	0,0211	0,0218	0,0123	0,0127	0,0129
3800	0,0217	0,0223	0,0230	0,0130	0,0134	0,0137
4000	0,0229	0,0236	0,0243	0,0137	0,0142	0,0144
4200	0,0241	0,0248	0,0256	0,0145	0,0149	0,0152
4400	0,0253	0,0261	0,0269	0,0152	0,0156	0,0159
4600	0,0265	0,0273	0,0282	0,0159	0,0164	0,0167
4800	0,0277	0,0286	0,0295	0,0166	0,0172	0,0175
5000	0,0290	0,0299	0,0308	0,0174	0,0179	0,0182
5200	0,0302	0,0311	0,0321	0,0181	0,0187	0,0190
5400	0,0314	0,0324	0,0334	0,0189	0,0194	0,0198
5600	0,0327	0,0337	0,0348	0,0196	0,0202	0,0205

5.3.d MUTU BETON $f'_c = 30$ dengan tulangan tekan $\phi = 0,8$ Diketahui ρ tulangan tarik, ρ tulangan tekan = 0,5 . ρ tulangan tarik

M_u/bd^2	$f_y = 240 \text{ MPa}$ $d/d =$			$f_y = 400 \text{ MPa}$ $d/d =$		
	0,10	0,15	0,20	0,10	0,15	0,20
200	0,0011	0,0011	0,0012	0,0007	0,0007	0,0007
400	0,0022	0,0023	0,0023	0,0013	0,0014	0,0014
600	0,0033	0,0034	0,0035	0,0020	0,0020	0,0020
800	0,0044	0,0045	0,0047	0,0026	0,0027	0,0028
1000	0,0055	0,0057	0,0058	0,0033	0,0034	0,0035
1200	0,0066	0,0068	0,0070	0,0040	0,0041	0,0042
1400	0,0078	0,0080	0,0082	0,0046	0,0048	0,0049
1600	0,0089	0,0091	0,0094	0,0053	0,0055	0,0056
1800	0,0100	0,0103	0,0106	0,0060	0,0062	0,0064
2000	0,0111	0,0114	0,0118	0,0067	0,0069	0,0071
2200	0,0122	0,0126	0,0130	0,0073	0,0076	0,0078
2400	0,0134	0,0138	0,0142	0,0080	0,0083	0,0086
2600	0,0145	0,0149	0,0154	0,0087	0,0090	0,0092
2800	0,0157	0,0161	0,0166	0,0094	0,0097	0,0099
3000	0,0168	0,0173	0,0178	0,0101	0,0104	0,0107
3200	0,0179	0,0185	0,0190	0,0108	0,0111	0,0114
3400	0,0191	0,0196	0,0202	0,0115	0,0118	0,0121
3600	0,0202	0,0208	0,0214	0,0121	0,0125	0,0129
3800	0,0214	0,0220	0,0227	0,0128	0,0132	0,0136
4000	0,0226	0,0232	0,0239	0,0135	0,0139	0,0143
4200	0,0237	0,0244	0,0251	0,0142	0,0146	0,0151
4400	0,0249	0,0256	0,0264	0,0149	0,0154	0,0158
4600	0,0261	0,0268	0,0276	0,0156	0,0161	0,0166
4800	0,0272	0,0280	0,0289	0,0163	0,0168	0,0173
5000	0,0284	0,0292	0,0301	0,0170	0,0175	0,0181
5200	0,0296	0,0305	0,0314	0,0178	0,0183	0,0188
5400	0,0308	0,0317	0,0326	0,0185	0,0190	0,0196
5600	0,0320	0,0329	0,0339	0,0192	0,0197	0,0203
5800	0,0332	0,0341	0,0352	0,0199	0,0205	0,0211
6000	0,0344	0,0354	0,0365	0,0206	0,0212	0,0219
6200	0,0356	0,0366	0,0377	0,0213	0,0220	0,0226
6400	0,0368	0,0379	0,0390	0,0221	0,0227	0,0234
6600	0,0380	0,0391	0,0403	0,0223	0,0235	0,0242
6800	0,0392	0,0404	0,0416	0,0235	0,0242	0,0250
7000	0,0404	0,0416	0,0429	0,0242	0,0250	0,0258
7200	0,0416	0,0429	0,0442	0,0250	0,0257	0,0265
7400	0,0428	0,0441	0,0455	0,0257	0,0265	0,0273
7600	0,0441	0,0454	0,0469	0,0264	0,0272	0,0281
7800	0,0453	0,0467	0,0482	0,0272	0,0280	0,0289
8000	0,0465	0,0480	0,0495	0,0279	0,0288	0,0297
8200	0,0478	0,0493	0,0508	0,0287	0,0296	0,0305

5.3.e MUTU BETON $f'_c = 35$ dengan tulangan tekan $\phi = 0,8$ Diketahui ρ tulangan tarik, ρ tulangan tekan = 0,5 . ρ tulangan tarik

M_u/bd^2	$f_y = 240 \text{ MPa}$ $d/d =$			$f_y = 400 \text{ MPa}$ $d/d =$		
	0,10	0,15	0,20	0,10	0,15	0,20
200	0,0011	0,0011	0,0012	0,0007	0,0007	0,0007
400	0,0022	0,0023	0,0023	0,0013	0,0013	0,0014
600	0,0033	0,0034	0,0035	0,0020	0,0020	0,0021
800	0,0044	0,0045	0,0047	0,0026	0,0027	0,0028
1000	0,0055	0,0057	0,0058	0,0033	0,0034	0,0035
1200	0,0066	0,0068	0,0070	0,0040	0,0041	0,0042
1400	0,0078	0,0080	0,0082	0,0046	0,0048	0,0049
1600	0,0089	0,0091	0,0094	0,0053	0,0055	0,0056
1800	0,0100	0,0103	0,0106	0,0060	0,0062	0,0064
2000	0,0111	0,0114	0,0118	0,0067	0,0069	0,0071
2200	0,0122	0,0126	0,0130	0,0073	0,0076	0,0078
2400	0,0134	0,0138	0,0142	0,0080	0,0083	0,0086
2600	0,0145	0,0149	0,0154	0,0087	0,0090	0,0092
2800	0,0157	0,0161	0,0166	0,0094	0,0097	0,0099
3000	0,0168	0,0173	0,0178	0,0101	0,0104	0,0107
3200	0,0179	0,0185	0,0190	0,0108	0,0111	0,0114
3400	0,0191	0,0196	0,0202	0,0115	0,0118	0,0121
3600	0,0202	0,0208	0,0214	0,0121	0,0125	0,0129
3800	0,0214	0,0220	0,0227	0,0128	0,0132	0,0136
4000	0,0226	0,0232	0,0239	0,0135	0,0139	0,0143
4200	0,0237	0,0244	0,0251	0,0142	0,0146	0,0151
4400	0,0249	0,0256	0,0264	0,0149	0,0154	0,0158
4600	0,0261	0,0268	0,0276	0,0156	0,0161	0,0166
4800	0,0272	0,0280	0,0289	0,0163	0,0168	0,0173
5000	0,0284	0,0292	0,0301	0,0170	0,0175	0,0181
5200	0,0296	0,0305	0,0314	0,0178	0,0183	0,0188
5400	0,0308	0,0317	0,0326	0,0185	0,0190	0,0196
5600	0,0320	0,0329	0,0339	0,0192	0,0197	0,0203
5800	0,0332	0,0341	0,0352	0,0199	0,0205	0,0211
6000	0,0344	0,0354	0,0365	0,0206	0,0212	0,0218
6200	0,0356	0,0366	0,0377	0,0213	0,0220	0,0226
6400	0,0368	0,0379	0,0390	0,0221	0,0227	0,0234
6600	0,0380	0,0391	0,0403	0,0223	0,0235	0,0242
6800	0,0392	0,0404	0,0416	0,0235	0,0242	0,0250
7000	0,0404	0,0416	0,0429	0,0242	0,0250	0,0258
7200	0,0416	0,0429	0,0442	0,0250	0,0257	0,0265
7400	0,0428	0,0441	0,0455	0,0257	0,0265	0,0273
7600	0,0441	0,0454	0,0469	0,0264	0,0272	0,0281
7800	0,0453	0,0467	0,0482	0,0272	0,0280	0,0289
8000	0,0465	0,0480	0,0495	0,0279	0,0288	0,0297
8200	0,0478	0,0493	0,0508	0,0287	0,0296	0,0305

5.3.f MUTU BETON f'_c 15 dengan tulangan tekan $\phi = 1$ Diketahui ρ tulangan tarik, ρ tulangan tekan = 0,5 . ρ tulangan tarik

M_u/bd^2	$f_y = 240 \text{ MPa}$ $d'/d =$			$f_y = 400 \text{ MPa}$ $d'/d =$		
	0,10	0,15	0,20	0,10	0,15	0,20
200	0,0009	0,0009	0,0009	0,0005	0,0005	0,0006
400	0,0018	0,0018	0,0019	0,0011	0,0011	0,0011
600	0,0026	0,0027	0,0028	0,0016	0,0016	0,0017
800	0,0035	0,0036	0,0037	0,0021	0,0022	0,0022
1000	0,0044	0,0046	0,0047	0,0027	0,0028	0,0028
1200	0,0053	0,0055	0,0056	0,0032	0,0033	0,0034
1400	0,0062	0,0064	0,0066	0,0037	0,0038	0,0040
1600	0,0071	0,0073	0,0076	0,0043	0,0044	0,0045
1800	0,0081	0,0083	0,0085	0,0048	0,0050	0,0051
2000	0,0090	0,0092	0,0095	0,0054	0,0055	0,0057
2200	0,0099	0,0102	0,0105	0,0059	0,0061	0,0063
2400	0,0108	0,0111	0,0115	0,0065	0,0067	0,0069
2600	0,0117	0,0121	0,0124	0,0070	0,0072	0,0075
2800	0,0127	0,0130	0,0134	0,0076	0,0078	0,0081
3000	0,0136	0,0140	0,0144	0,0082	0,0084	0,0087
3200	0,0146	0,0150	0,0154	0,0087	0,0090	0,0093
3400	0,0155	0,0160	0,0164	0,0093	0,0096	0,0099
3600	0,0165	0,0169	0,0175	0,0099	0,0102	0,0105
3800	0,0174	0,0179	0,0185	0,0105	0,0108	0,0111
4000	0,0184	0,0189	0,0195	0,0110	0,0114	0,0117
4200	0,0193	0,0199	0,0205	0,0116	0,0120	0,0123
4400	0,0203	0,0209	0,0216	0,0122	0,0126	0,0130
4600	0,0213	0,0219	0,0226	0,0128	0,0132	0,0136
4800	0,0223	0,0230	0,0237	0,0134	0,0138	0,0142
5000	0,0233	0,0240	0,0247	0,0140	0,0144	0,0148
5200	0,0243	0,0250	0,0258	0,0146	0,0150	0,0155

5.3.g MUTU BETON f'_c 20 dengan tulangan tekan $\phi = 1$ Diketahui ρ tulangan tarik, ρ tulangan tekan = 0,5 . ρ tulangan tarik

M_u/bd^2	$f_y = 240 \text{ MPa}$ $d'/d =$			$f_y = 400 \text{ MPa}$ $d'/d =$		
	0,10	0,15	0,20	0,10	0,15	0,20
200	0,0009	0,0009	0,0009	0,0009	0,0009	0,0009
400	0,0018	0,0018	0,0019	0,0011	0,0011	0,0011
600	0,0026	0,0027	0,0028	0,0016	0,0016	0,0016
800	0,0035	0,0036	0,0037	0,0021	0,0022	0,0022
1000	0,0044	0,0046	0,0047	0,0027	0,0028	0,0028
1200	0,0053	0,0055	0,0056	0,0032	0,0033	0,0034
1400	0,0062	0,0064	0,0066	0,0037	0,0038	0,0039
1600	0,0071	0,0073	0,0076	0,0043	0,0044	0,0045
1800	0,0081	0,0083	0,0085	0,0048	0,0049	0,0051
2000	0,0090	0,0092	0,0095	0,0054	0,0055	0,0057
2200	0,0099	0,0102	0,0105	0,0059	0,0061	0,0062
2400	0,0108	0,0111	0,0115	0,0065	0,0067	0,0068
2600	0,0117	0,0121	0,0124	0,0070	0,0072	0,0074
2800	0,0127	0,0130	0,0134	0,0076	0,0078	0,0086
3000	0,0136	0,0140	0,0144	0,0082	0,0084	0,0092
3200	0,0146	0,0150	0,0154	0,0087	0,0090	0,0098
3400	0,0155	0,0160	0,0164	0,0093	0,0096	0,0104
3600	0,0165	0,0169	0,0175	0,0099	0,0102	0,0115
3800	0,0174	0,0179	0,0185	0,0105	0,0111	0,0121
4000	0,0184	0,0189	0,0195	0,0110	0,0117	0,0128
4200	0,0193	0,0199	0,0205	0,0116	0,0120	0,0134
4400	0,0203	0,0209	0,0216	0,0122	0,0126	0,0140
4600	0,0213	0,0219	0,0226	0,0128	0,0132	0,0146
4800	0,0223	0,0230	0,0237	0,0134	0,0142	0,0152
5000	0,0233	0,0240	0,0247	0,0140	0,0148	0,0158
5200	0,0243	0,0250	0,0258	0,0146	0,0155	0,0164
5400						
5600						
5800						
6000						
6200						
6400						
6600						
6800						

5.3.h MUTU BETON f'_c 25 dengan tulangan tekan $\phi = 1$ Diketahui ρ tulangan tarik, ρ tulangan tekan = 0,5 . ρ tulangan tarik

M_u/bd^2	$f_y = 240 \text{ MPa}$ $d'/d =$			$f_y = 400 \text{ MPa}$ $d'/d =$		
	0,10	0,15	0,20	0,10	0,15	0,20
200	0,0009	0,0009	0,0009	0,0005	0,0005	0,0006
400	0,0018	0,0018	0,0019	0,0011	0,0011	0,0011
600	0,0026	0,0027	0,0028	0,0016	0,0016	0,0017
800	0,0035	0,0036	0,0037	0,0021	0,0022	0,0022
1000	0,0044	0,0045	0,0047	0,0026	0,0027	0,0028
1200	0,0053	0,0055	0,0056	0,0032	0,0033	0,0034
1400	0,0062	0,0064	0,0065	0,0037	0,0038	0,0039
1600	0,0071	0,0073	0,0075	0,0043	0,0044	0,0045
1800	0,0080	0,0082	0,0084	0,0048	0,0049	0,0051
2000	0,0089	0,0091	0,0094	0,0053	0,0055	0,0056
2200	0,0098	0,0101	0,0104	0,0059	0,0060	0,0062
2400	0,0107	0,0110	0,0113	0,0064	0,0066	0,0068
2600	0,0116	0,0119	0,0123	0,0070	0,0072	0,0074
2800	0,0125	0,0129	0,0132	0,0075	0,0077	0,0079
3000	0,0134	0,0138	0,0142	0,0081	0,0083	0,0085
3200	0,0143	0,0147	0,0152	0,0086	0,0088	0,0091
3400	0,0153	0,0157	0,0162	0,0092	0,0094	0,0097
3600	0,0162	0,0166	0,0171	0,0097	0,0100	0,0103
3800	0,0171	0,0176	0,0181	0,0103	0,0106	0,0109
4000	0,0180	0,0185	0,0191	0,0108	0,0111	0,0115
4200	0,0190	0,0195	0,0201	0,0114	0,0117	0,0120
4400	0,0199	0,0205	0,0211	0,0119	0,0123	0,0126
4600	0,0208	0,0214	0,0221	0,0125	0,0129	0,0132
4800	0,0218	0,0224	0,0231	0,0131	0,0134	0,0138
5000	0,0227	0,0234	0,0241	0,0136	0,0140	0,0144
5200	0,0236	0,0243	0,0251	0,0142	0,0146	0,0150
5400	0,0246	0,0253	0,0261	0,0147	0,0152	0,0156
5600	0,0255	0,0263	0,0271	0,0153	0,0158	0,0162
5800	0,0265	0,0273	0,0281	0,0159	0,0164	0,0169
6000	0,0274	0,0282	0,0291	0,0165	0,0169	0,0175
6200	0,0284	0,0292	0,0301	0,0170	0,0175	0,0181
6400	0,0294	0,0302	0,0312	0,0176	0,0181	0,0187
6600	0,0303	0,0312	0,0322	0,0182	0,0187	0,0193
6800	0,0313	0,0322	0,0332	0,0188	0,0193	0,0199
7000	0,0322	0,0332	0,0342	0,0193	0,0199	0,0205
7200	0,0332	0,0342	0,0353	0,0199	0,0205	0,0212
7400	0,0342	0,0352	0,0363	0,0205	0,0211	0,0218
7600	0,0352	0,0362	0,0374	0,0211	0,0217	0,0224
7800	0,0362	0,0373	0,0384	0,0217	0,0224	0,0231
8000	0,0371	0,0383	0,0395	0,0223	0,0230	0,0237
8200	0,0381	0,0393	0,0405	0,0229	0,0236	0,0243
8400	0,0391	0,0403	0,0416	0,0235	0,0242	0,0250
8600	0,0401	0,0413	0,0427	0,0241	0,0248	0,0256

1.1.1 MUTU BETON f'_c 30 dengan tulangan tekan $\phi = 1$ Diketahui ρ tulangan tarik, ρ tulangan tekan = 0,5 . ρ tulangan tarik

M_u/bd^2	$f_y = 240 \text{ MPa}$ $d'/d =$			$f_y = 400 \text{ MPa}$ $d'/d =$		
	0,10	0,15	0,20	0,10	0,15	0,20
300	0,0009	0,0009	0,0009	0,0009	0,0009	0,0009
400	0,0018	0,0018	0,0018	0,0019	0,0019	0,0019
500	0,0026	0,0026	0,0027	0,0029	0,0029	0,0030
600	0,0035	0,0036	0,0037	0,0037	0,0037	0,0038
700	0,0044	0,0045	0,0047	0,0047	0,0048	0,0049
800	0,0053	0,0055	0,0056	0,0056	0,0057	0,0058
900	0,0062	0,0064	0,0065	0,0066	0,0067	0,0068
1000	0,0071	0,0073	0,0075	0,0076	0,0077	0,0078
1100	0,0080	0,0082	0,0084	0,0085	0,0086	0,0087
1200	0,0089	0,0091	0,0094	0,0095	0,0096	0,0097
1300	0,0098	0,0101	0,0104	0,0106	0,0108	0,0110
1400	0,0107	0,0110	0,0113	0,0115	0,0117	0,0119
1500	0,0116	0,0119	0,0123	0,0125	0,0127	0,0129
1600	0,0125	0,0129	0,0132	0,0135	0,0138	0,0141
1700	0,0134	0,0138	0,0142	0,0146	0,0149	0,0152
1800	0,0143	0,0147	0,0152	0,0156	0,0160	0,0164
1900	0,0153	0,0157	0,0162	0,0166	0,0170	0,0174
2000	0,0162	0,0166	0,0171	0,0175	0,0179	0,0183
2100	0,0171	0,0176	0,0181	0,0185	0,0189	0,0193
2200	0,0180	0,0185	0,0191	0,0195	0,0200	0,0204
2300	0,0189	0,0195	0,0201	0,0206	0,0211	0,0216
2400	0,0199	0,0205	0,0211	0,0217	0,0223	0,0228
2500	0,0208	0,0214	0,0221	0,0227	0,0233	0,0238
2600	0,0218	0,0224	0,0231	0,0237	0,0243	0,0248
2700	0,0227	0,0234	0,0241	0,0247	0,0253	0,0258
2800	0,0236	0,0243	0,0251	0,0257	0,0263	0,0268
2900	0,0246	0,0253	0,0261	0,0267	0,0273	0,0278
3000	0,0255	0,0263	0,0271	0,0277	0,0283	0,0288
3100	0,0265	0,0273	0,0281	0,0287	0,0293	0,0298
3200	0,0274	0,0282	0,0291	0,0297	0,0303	0,0308
3300	0,0284	0,0292	0,0301	0,0307	0,0313	0,0318
3400	0,0294	0,0302	0,0312	0,0318	0,0324	0,0329
3500	0,0303	0,0312	0,0322	0,0328	0,0334	0,0339
3600	0,0313	0,0322	0,0332	0,0338	0,0344	0,0349
3700	0,0322	0,0332	0,0342	0,0348	0,0354	0,0359
3800	0,0332	0,0342	0,0353	0,0354	0,0360	0,0365
3900	0,0342	0,0352	0,0363	0,0364	0,0370	0,0375
4000	0,0352	0,0362	0,0374	0,0375	0,0380	0,0385
4100	0,0362	0,0373	0,0384	0,0385	0,0390	0,0395
4200	0,0371	0,0383	0,0395	0,0396	0,0401	0,0406
4300	0,0381	0,0393	0,0405	0,0406	0,0411	0,0416
4400	0,0391	0,0403	0,0416	0,0417	0,0421	0,0426
4500	0,0401	0,0413	0,0427	0,0428	0,0435	0,0440

5.3.j MUTU BETON $f_c = 35$ dengan tulangan tekan

$\sigma = 1$

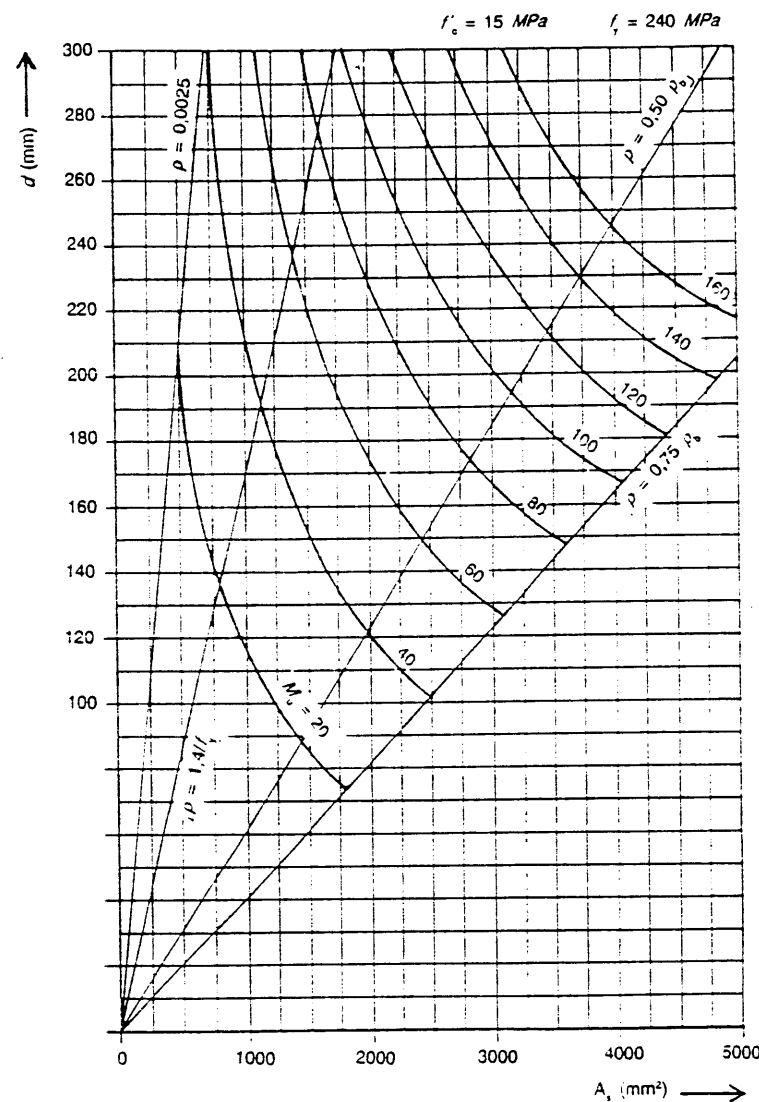
Diketahui ρ tulangan tarik, ρ tulangan tekan = $0,5 \cdot \rho$ tulangan tarik

M_u/bd^2	$f_y = 240 \text{ MPa}$ $d'/d =$			$f_y = 400 \text{ MPa}$ $d'/d =$		
	0.10	0.15	0.20	0.10	0.15	0.20
200	0,0009	0,0009	0,0009	0,0005	0,0005	0,0006
400	0,0018	0,0018	0,0019	0,0011	0,0011	0,0011
600	0,0026	0,0027	0,0028	0,0016	0,0016	0,0017
800	0,0035	0,0036	0,0037	0,0021	0,0022	0,0022
1000	0,0044	0,0045	0,0047	0,0026	0,0027	0,0028
1200	0,0053	0,0054	0,0056	0,0032	0,0033	0,0034
1400	0,0062	0,0064	0,0065	0,0037	0,0038	0,0039
1600	0,0071	0,0073	0,0075	0,0042	0,0044	0,0045
1800	0,0080	0,0082	0,0084	0,0048	0,0049	0,0050
2000	0,0089	0,0091	0,0094	0,0053	0,0055	0,0056
2200	0,0098	0,0100	0,0103	0,0059	0,0060	0,0062
2400	0,0106	0,0109	0,0113	0,0064	0,0066	0,0068
2600	0,0115	0,0119	0,0122	0,0069	0,0071	0,0073
2800	0,0124	0,0128	0,0132	0,0075	0,0077	0,0079
3000	0,0133	0,0137	0,0141	0,0080	0,0082	0,0085
3200	0,0143	0,0146	0,0151	0,0086	0,0088	0,0090
3400	0,0152	0,0156	0,0160	0,0091	0,0093	0,0096
3600	0,0161	0,0165	0,0170	0,0096	0,0099	0,0102
3800	0,0170	0,0174	0,0180	0,0102	0,0105	0,0108
4000	0,0179	0,0184	0,0189	0,0107	0,0110	0,0114
4200	0,0188	0,0193	0,0199	0,0113	0,0116	0,0119
4400	0,0197	0,0203	0,0209	0,0118	0,0122	0,0125
4600	0,0206	0,0212	0,0218	0,0124	0,0127	0,0131
4800	0,0215	0,0222	0,0228	0,0129	0,0133	0,0137
5000	0,0225	0,0231	0,0238	0,0135	0,0139	0,0143
5200	0,0234	0,0241	0,0248	0,0140	0,0144	0,0149
5400	0,0243	0,0250	0,0257	0,0146	0,0150	0,0154
5600	0,0252	0,0260	0,0267	0,0151	0,0156	0,0160
5800	0,0262	0,0269	0,0277	0,0157	0,0161	0,0166
6000	0,0271	0,0279	0,0287	0,0163	0,0167	0,0172
6200	0,0280	0,0288	0,0297	0,0168	0,0173	0,0178
6400	0,0290	0,0298	0,0307	0,0174	0,0179	0,0184
6600	0,0299	0,0308	0,0317	0,0179	0,0185	0,0190
6800	0,0308	0,0317	0,0327	0,0185	0,0190	0,0196
7000	0,0318	0,0327	0,0337	0,0191	0,0196	0,0202
7200	0,0327	0,0337	0,0347	0,0196	0,0202	0,0208
7400	0,0337	0,0346	0,0357	0,0202	0,0208	0,0214
7600	0,0346	0,0356	0,0367	0,0208	0,0214	0,0220
7800	0,0356	0,0366	0,0377	0,0213	0,0220	0,0226
8000	0,0365	0,0376	0,0387	0,0219	0,0225	0,0232
8200	0,0375	0,0386	0,0397	0,0225	0,0231	0,0238
8400	0,0384	0,0395	0,0407	0,0230	0,0237	0,0244
8600	0,0394	0,0405	0,0418	0,0236	0,0243	0,0251
8800	0,0403	0,0415	0,0428	0,0242	0,0249	0,0257
9000	0,0413	0,0425	0,0438	0,0248	0,0255	0,0263
9200	0,0422	0,0435	0,0448	0,0253	0,0261	0,0269
9400	0,0432	0,0445	0,0459	0,0259	0,0267	0,0275
9600	0,0442	0,0455	0,0469	0,0265	0,0273	0,0281
9800	0,0451	0,0465	0,0479	0,0271	0,0279	0,0288
10000	0,0461	0,0475	0,0490	0,0277	0,0285	0,0294
10200	0,0471	0,0485	0,0500	0,0283	0,0291	0,0300
10400	0,0481	0,0495	0,0511	0,0288	0,0297	0,0306
10600	0,0490	0,0505	0,0521	0,0294	0,0303	0,0313
10800	0,0500	0,0515	0,0532	0,0300	0,0309	0,0319
11000	0,0510	0,0526	0,0542	0,0306	0,0315	0,0325
11200	0,0520	0,0536	0,0553	0,0312	0,0321	0,0332
11400	0,0530	0,0546	0,0563	0,0318	0,0328	0,0338

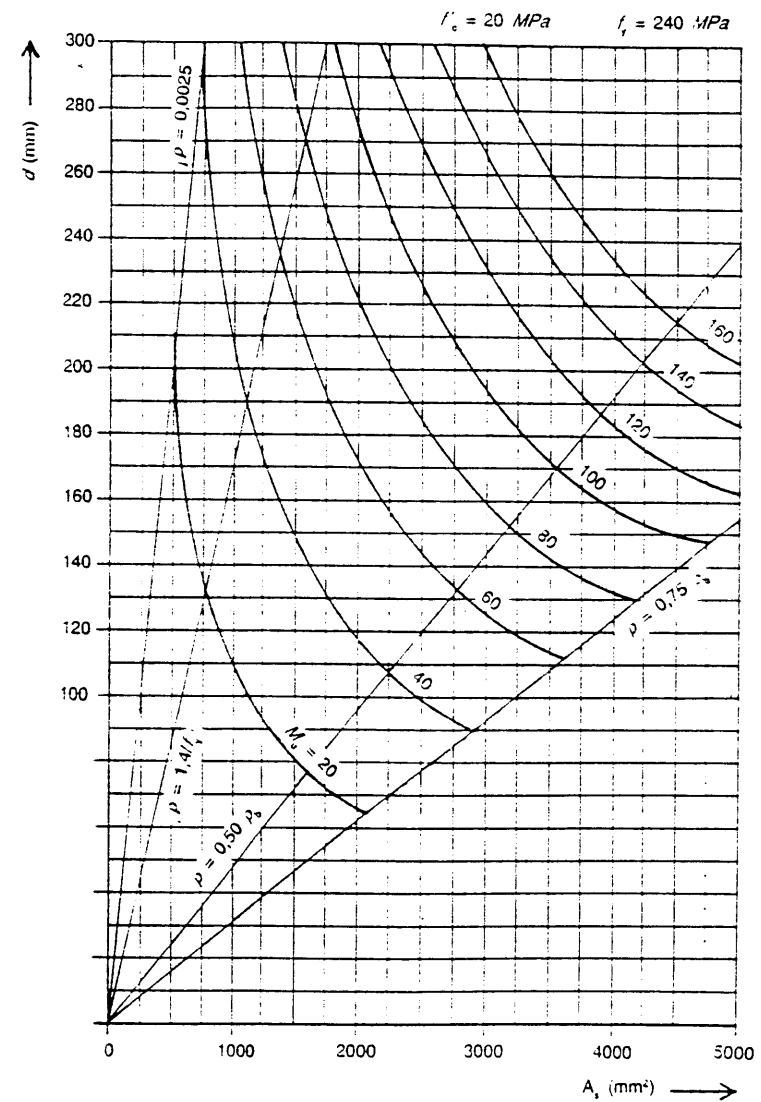
Penulangan pekat

Grafik-grafik 5.4.a s/d 5.4.c memberikan besar momen M_u pada tinggi manfaat d dan jumlah tulangan ρ . Pada grafik tersebut, batas-batas daari penulangan maksimum diberikan sebesar $\rho_{\max} = 0,75 \rho_b$. Untuk pula nilai-nilai untuk $\rho = 0,5 \rho_b$ dan $\rho_{\min} = \frac{L_4}{f_y}$ atau berurut-urut $\rho_{\min} = 0,025$ kemudian 0,018. Jika tebal diketahui maka momen M_u pada ketebalan ini dapat ditentukan. Melalui garis-garis M_u , nilai-nilai A dapat dibaca pada sumbu horizontal.

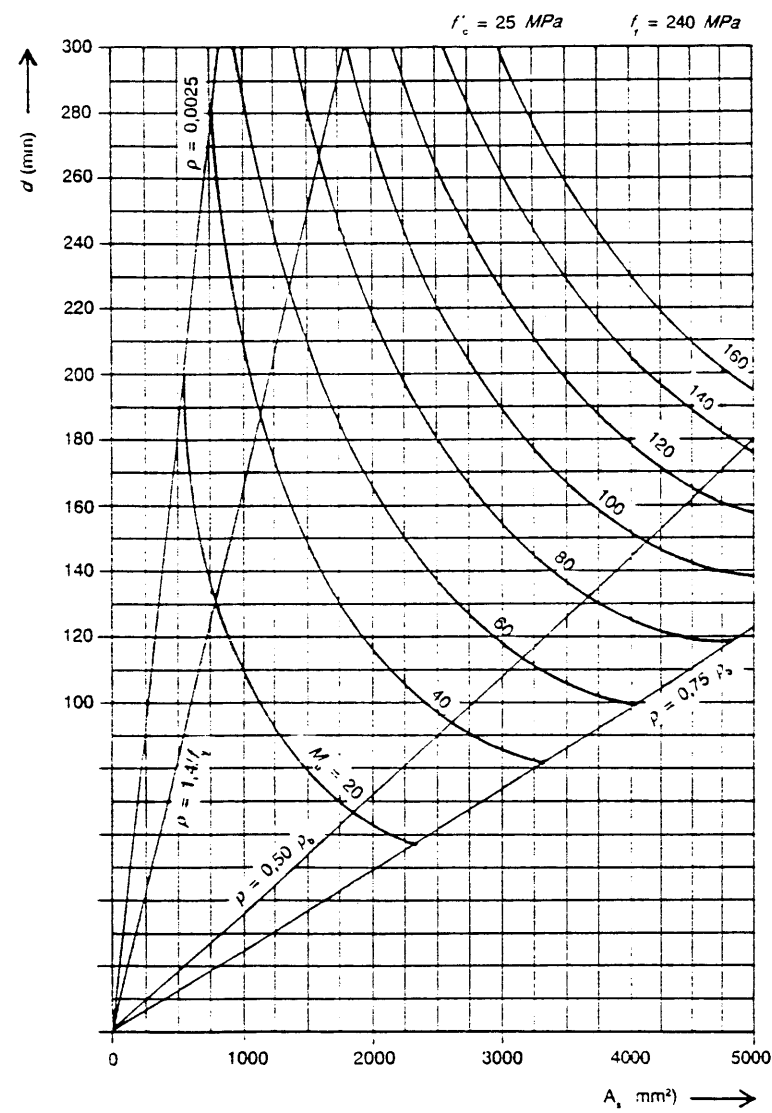
catatan : Perlu diperingatkan bahwa perubahan ketebalan akan mengakibatkan perubahan M_u pula.



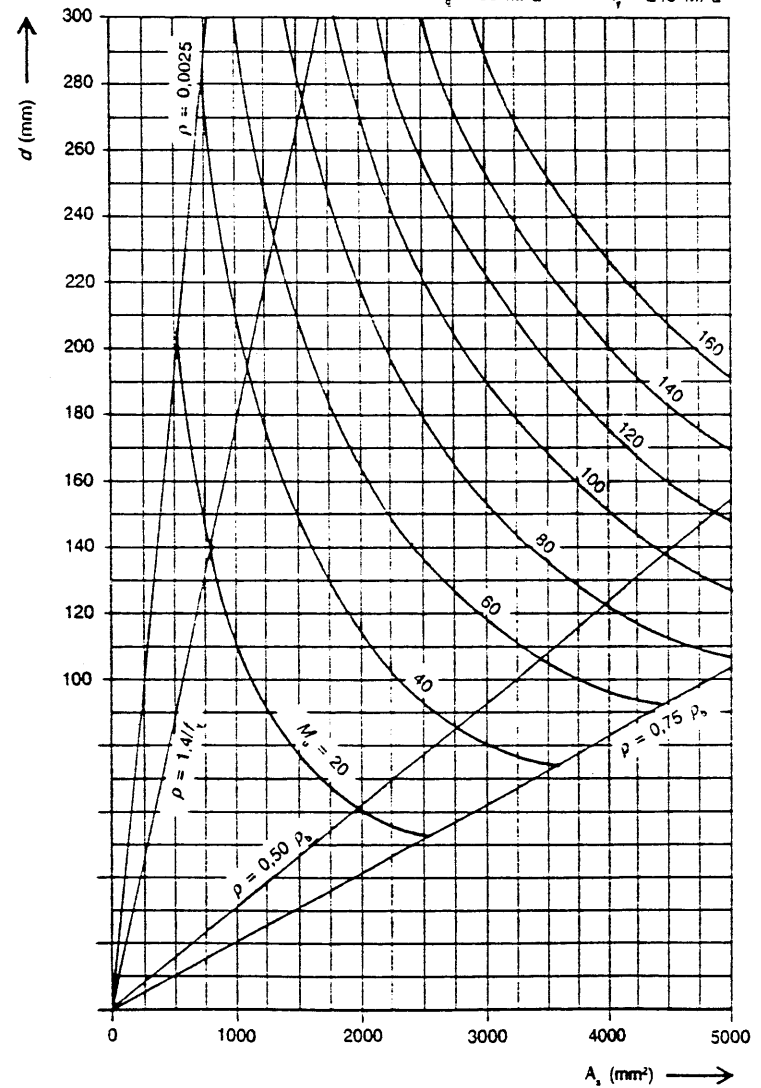
Gambar 5.4.a



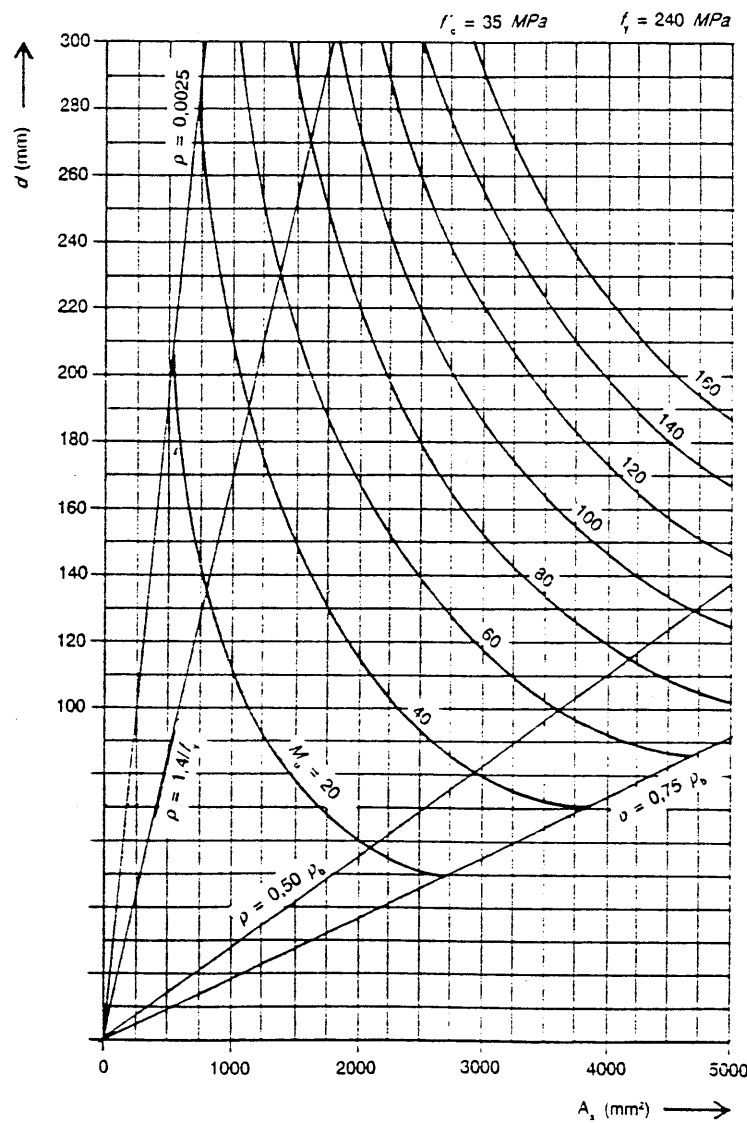
Gambar 5.4.b



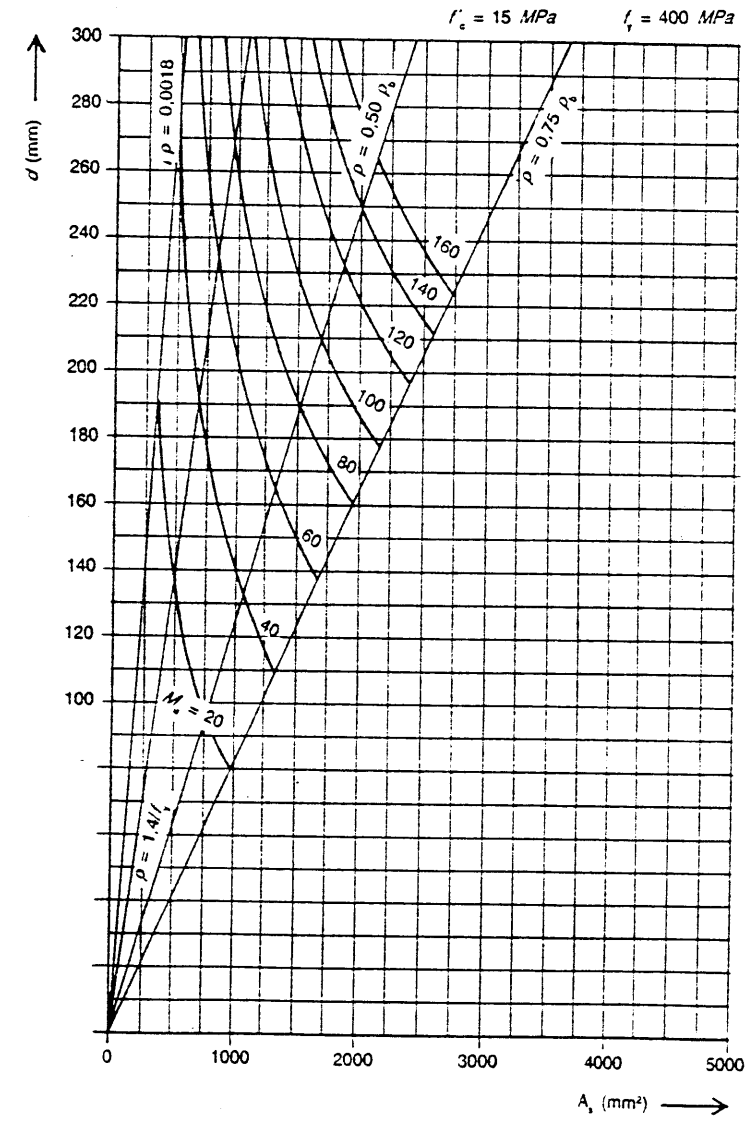
$f'_c = 30 \text{ MPa}$ $f_t = 240 \text{ MPa}$



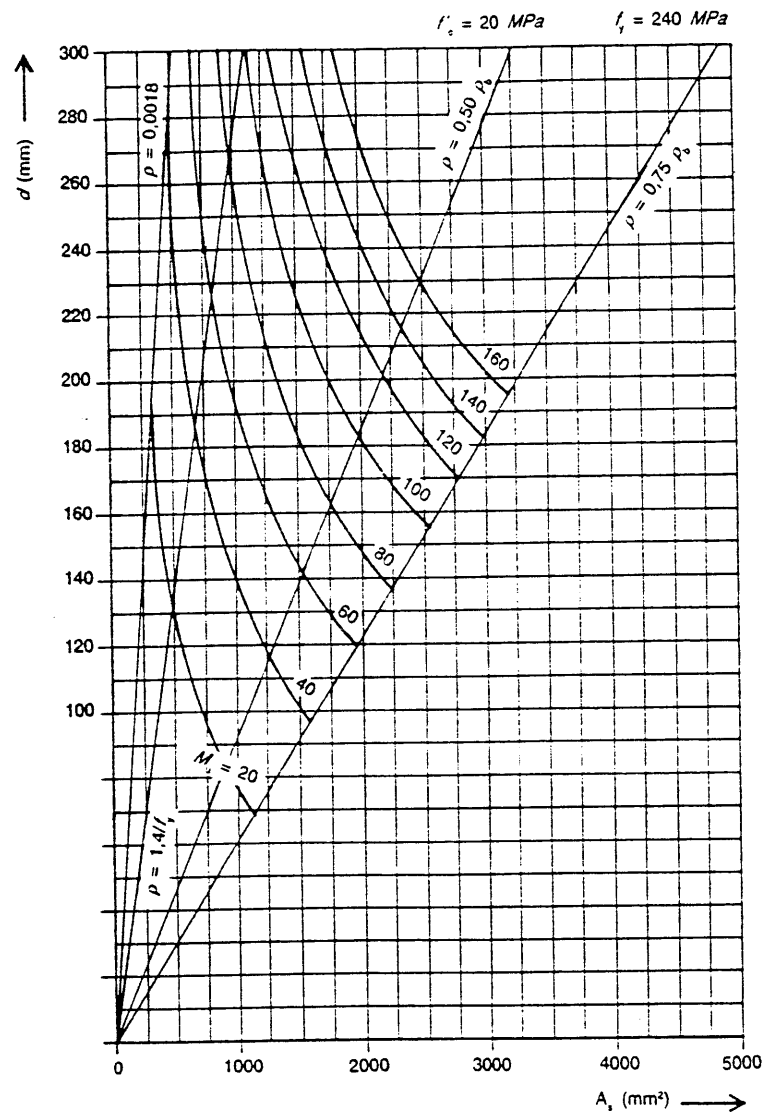
Gambar 5.4.d



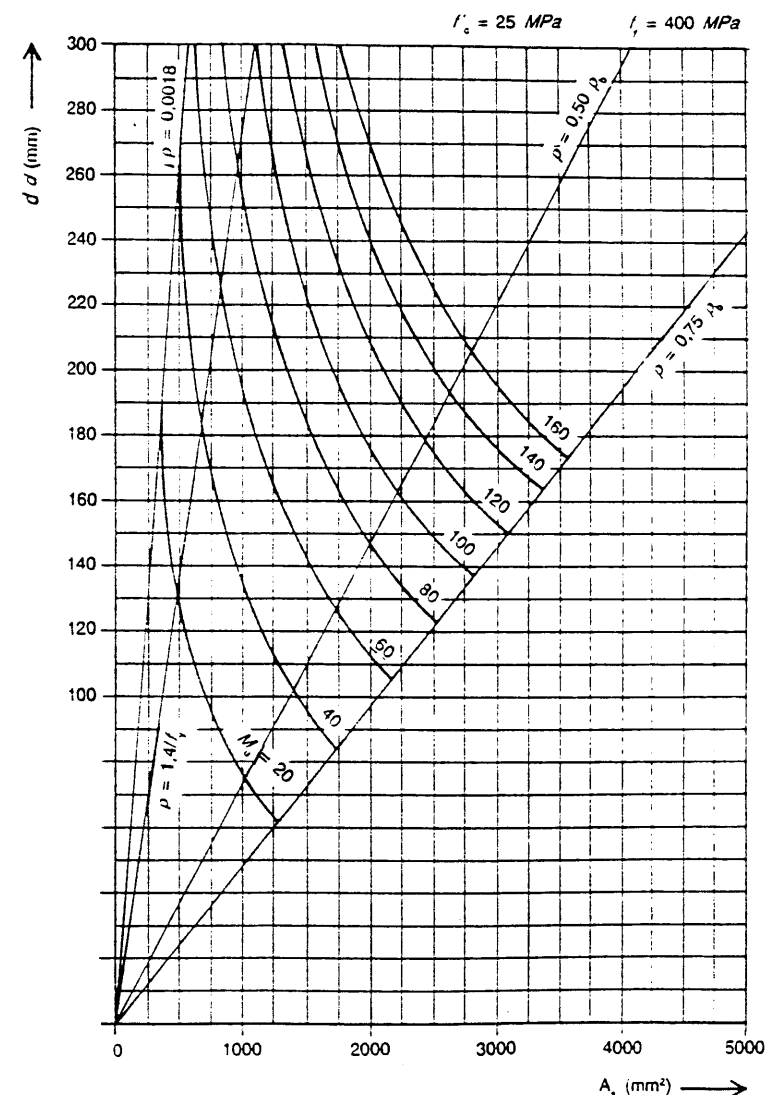
Gambar 5.4.e



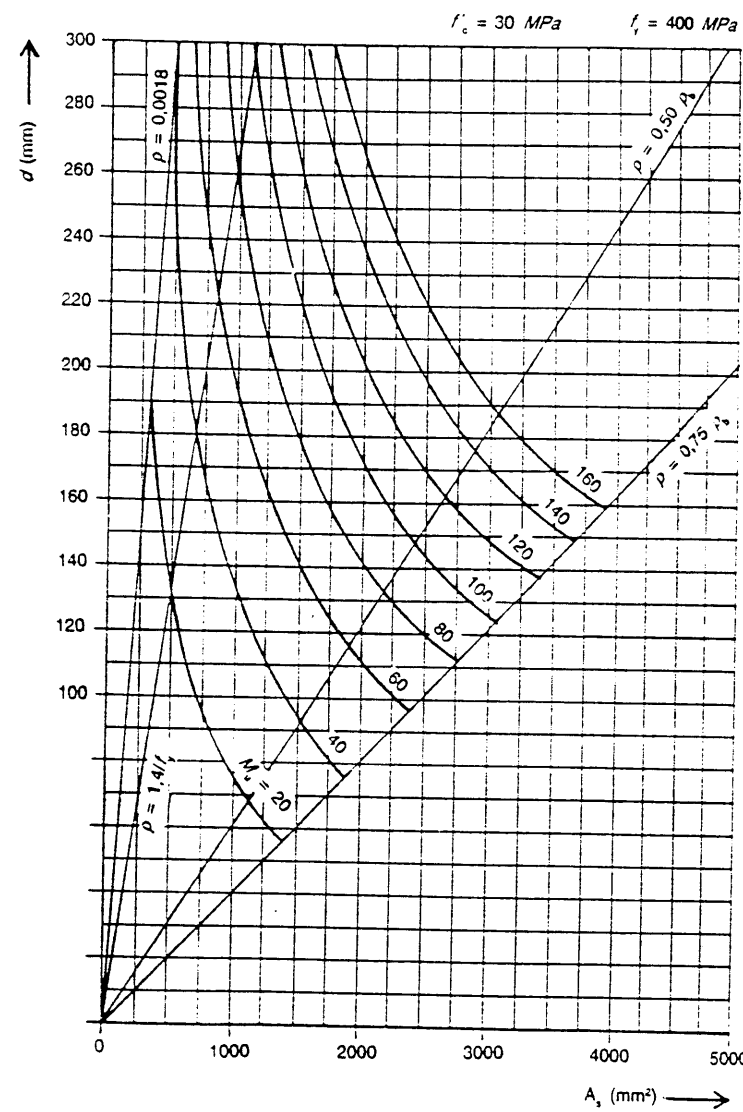
Gambar 5.4.f



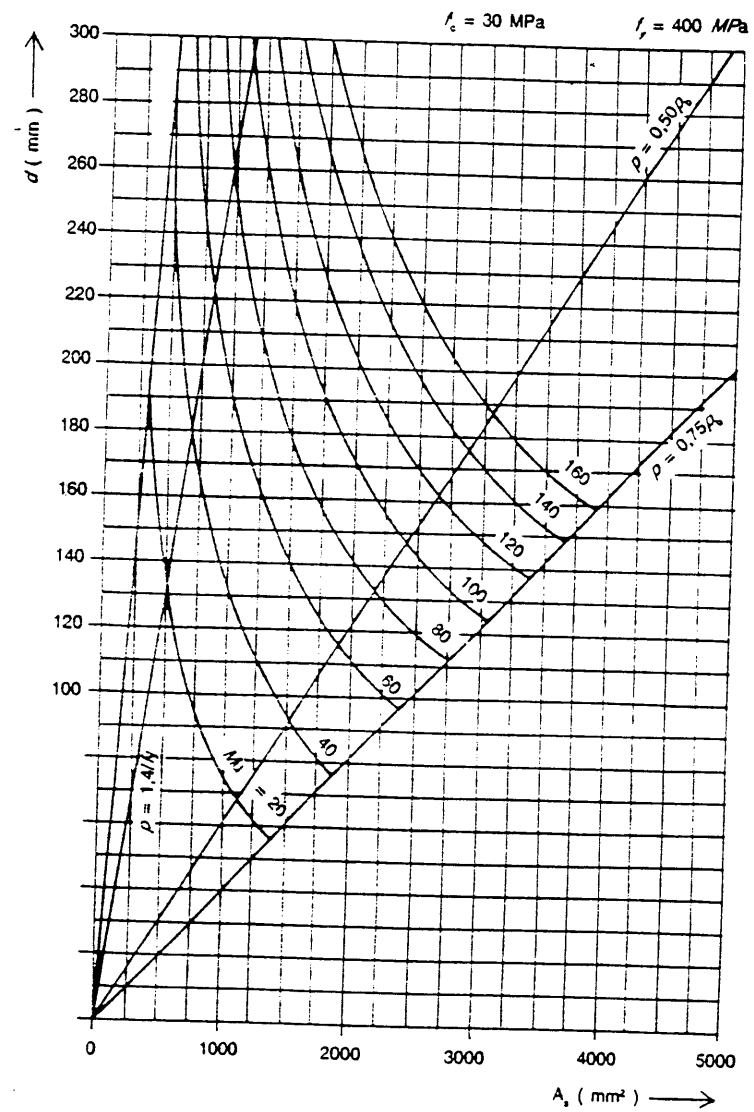
Gambar 5.4.g

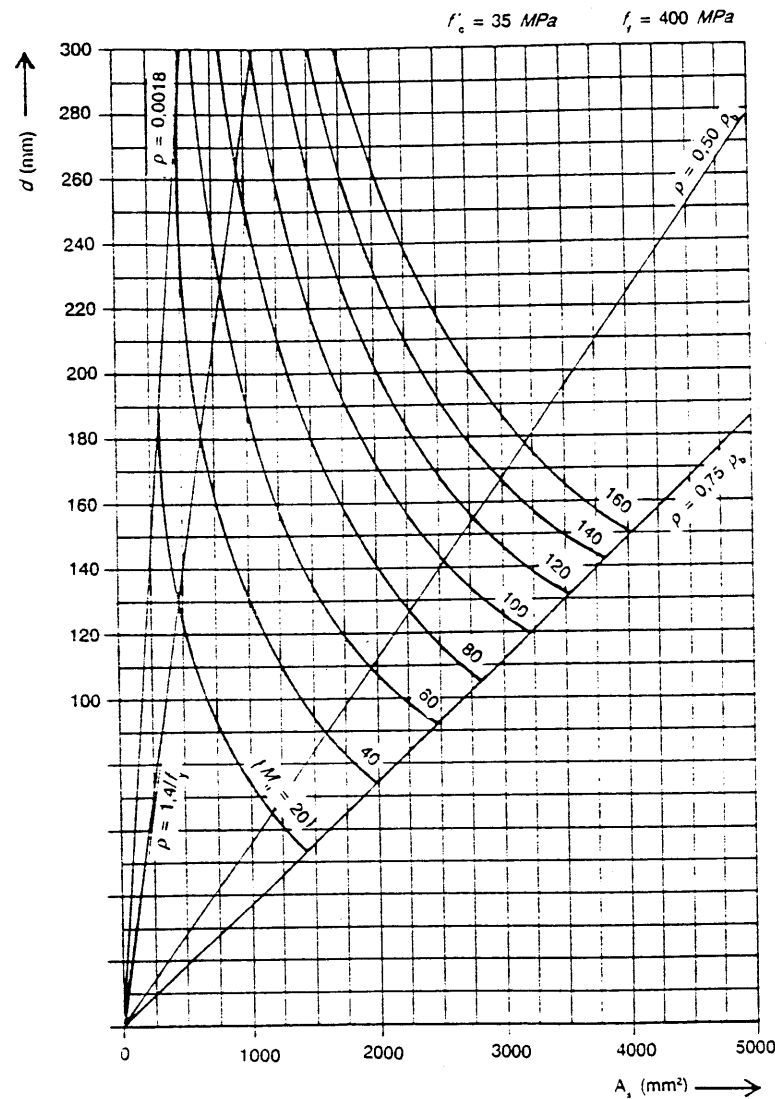


Gambar 5.4.h



Gambar 5.4.i

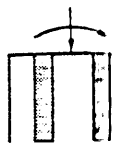




BAB

Lentur Dengan Beban Aksial

6



6.1 Beban lentur dengan beban aksial

Kolom penampang persegi dan penampang bulat

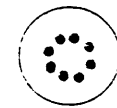
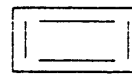
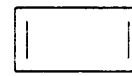
Pemakaian Grafik-grafik

Untuk mutu beton $f'_c = 15, 20, 25, 30$ dan 35 MPa

mutu baja $f_y = 240$ dan 400 MPa

harga-harga $\frac{P}{h} = 0,10, 0,15$ dan $0,20$

untuk kolom di bawah ini diberikan grafik-grafik penulangan



Pada sumbu vertical dicantumkan nilai $\frac{P_u}{\phi A_g \cdot 0,85 f'_c}$

Untuk mutu beton $f'_c = 35$ maka faktor $0,85$ harus digantikan dengan faktor $0,81$.

Faktor ini tanpa dimensi dan ditentukan oleh faktor beban tertentu dikalikan dengan beban aksial, kemudian ditentukan pula oleh mutu beton dan ukuran penampang.

Pada sumbu horizontal dicantumkan nilai $\frac{P_u}{\phi A_g \cdot 0,85 f'_c} \cdot \left(\frac{e_i}{h} \right)$

Faktor-faktor ini pun tidak berdimensi.

Dalam e_i telah diperhitungkan harga eksentrisitas $e = \frac{M_u}{P}$, demikian pula dengan faktor pembesar yang berkaitan dengan gajala tekuk.

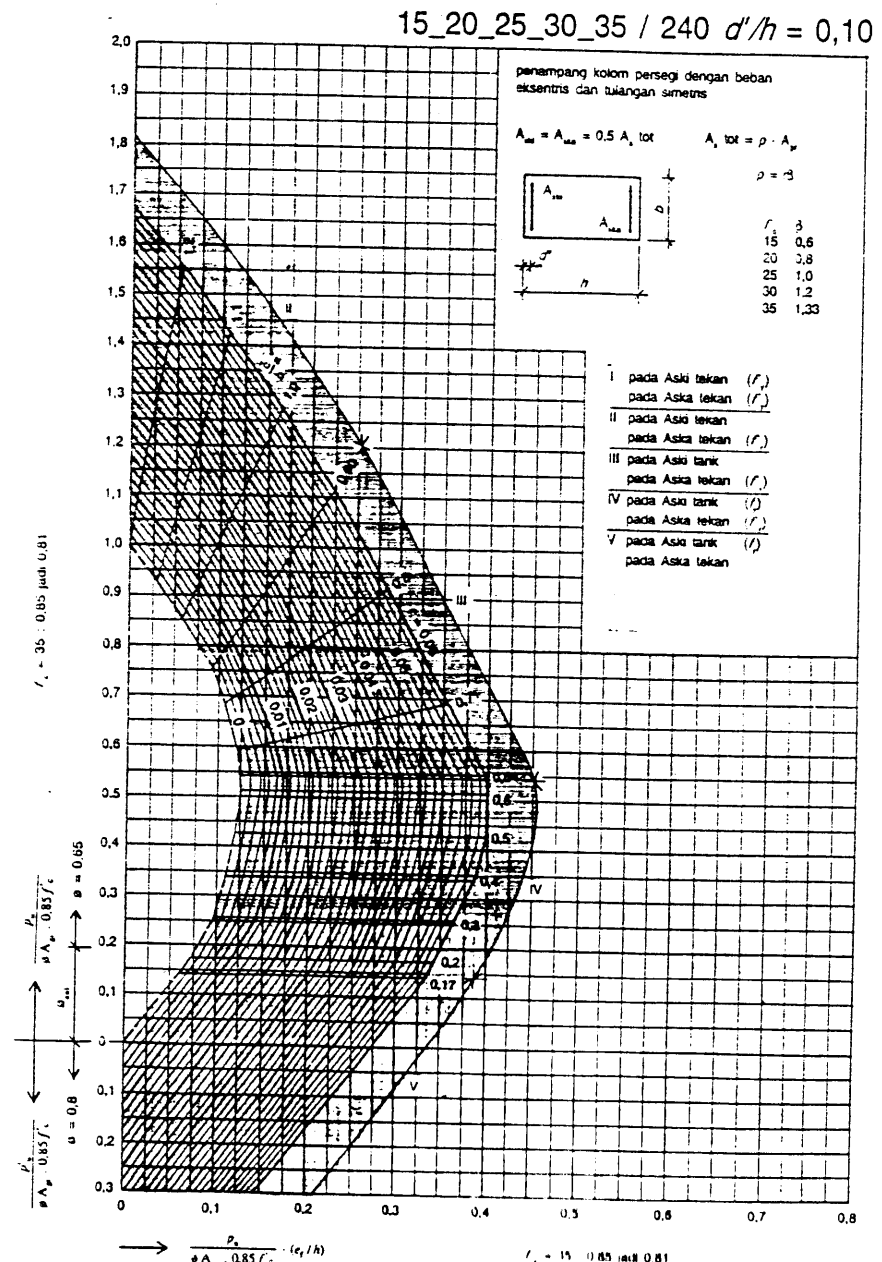
Untuk mutu beton $f'_c = 35 \text{ MPa}$ maka faktor $0,85$ digantikan dengan faktor $0,81$.

Besaran pada kedua sumbu dapat dihitung dan dipetakan dalam bentuk grafik-grafik. Kemudian yang dibaca adalah nilai r . Tulangan yang diperlukan $A_{s,us}$ ditentukan dengan $\beta \cdot r$, di mana β tergantung pada mutu beton. Nilai dari β ditunjukkan dalam grafik-grafik.

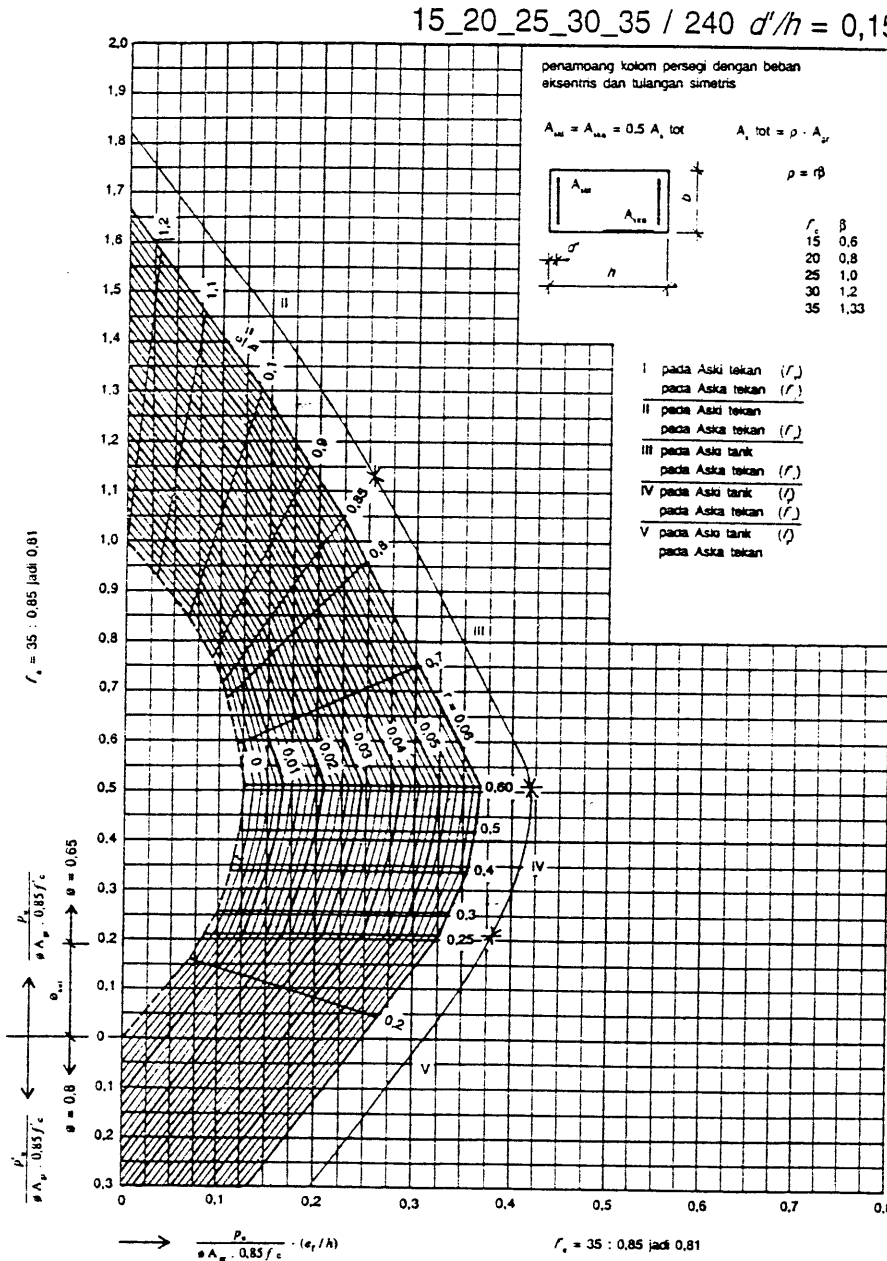
Peralihan tegangan baja dalam tulangan dinyatakan pada daerah-daerah I s/d V.

Nilai-nilai $\frac{e}{h}$ dicantumkan dalam grafik-grafik, begitu pula pada peralihan tegangan baja.

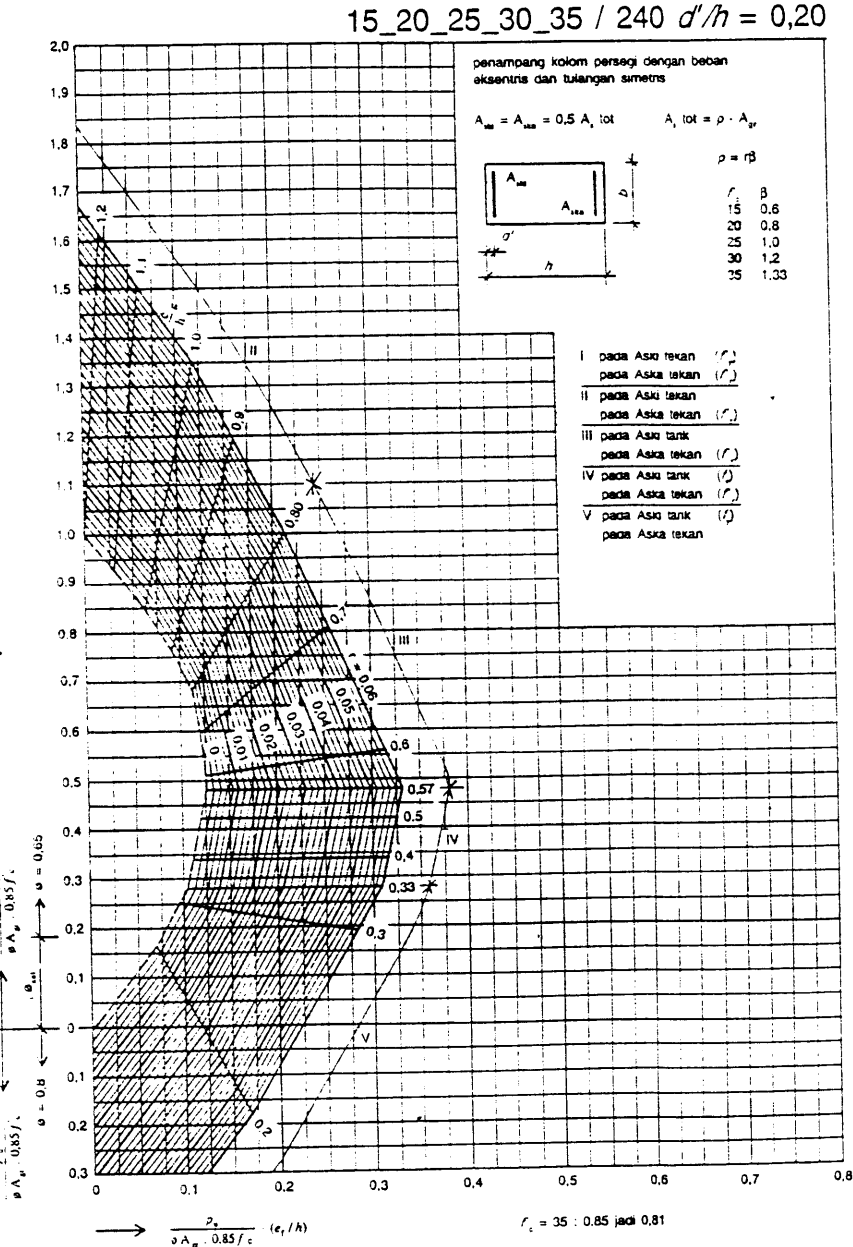
Untuk nilai-nilai ϕ di antara $P_u = 0,1 f'_c A_g$ dan $P_u = 0$, boleh ditingkatkan dari $\phi = 0,65$ sampai $\phi = 0,80$. Untuk kolom yang dibebani tarik berlaku $\phi = 0,8$.



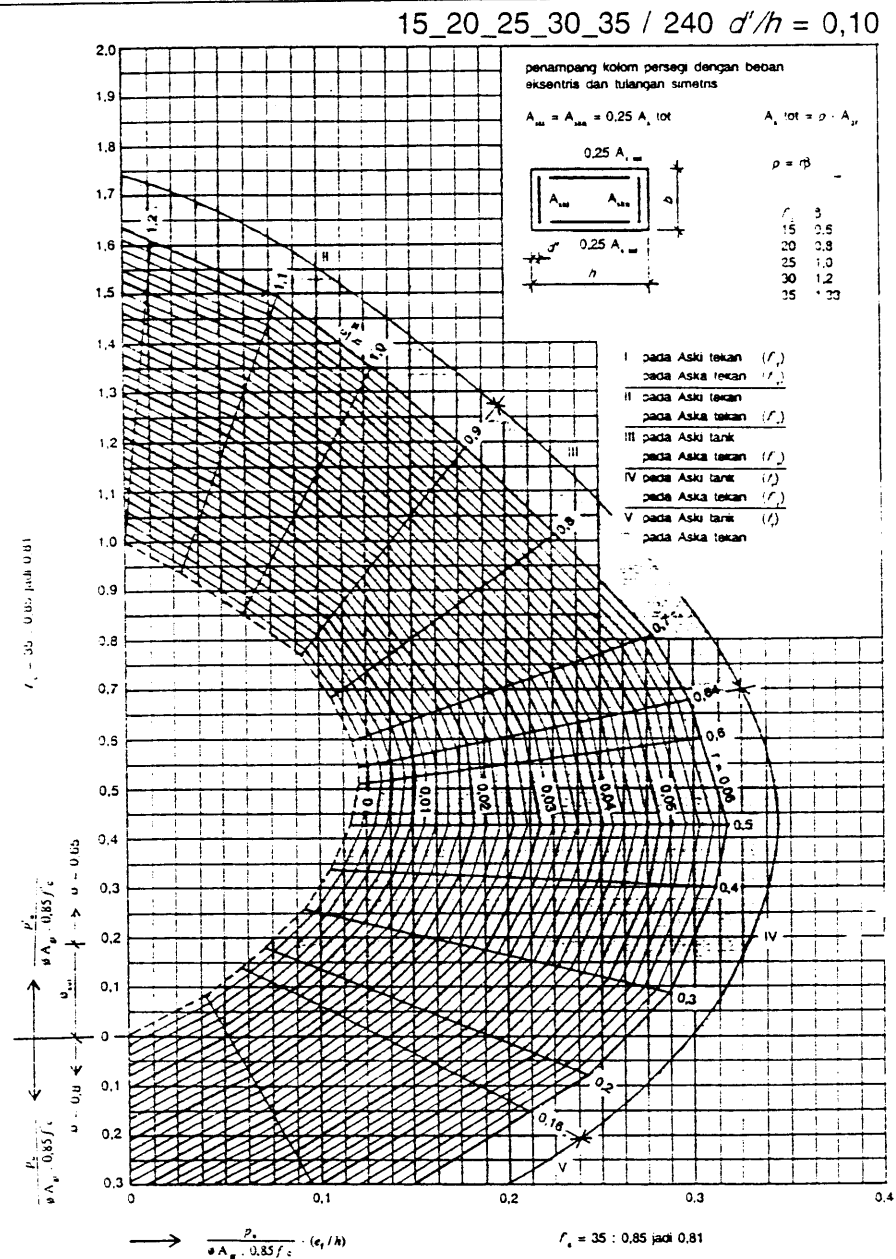
Gambar 6.1.a



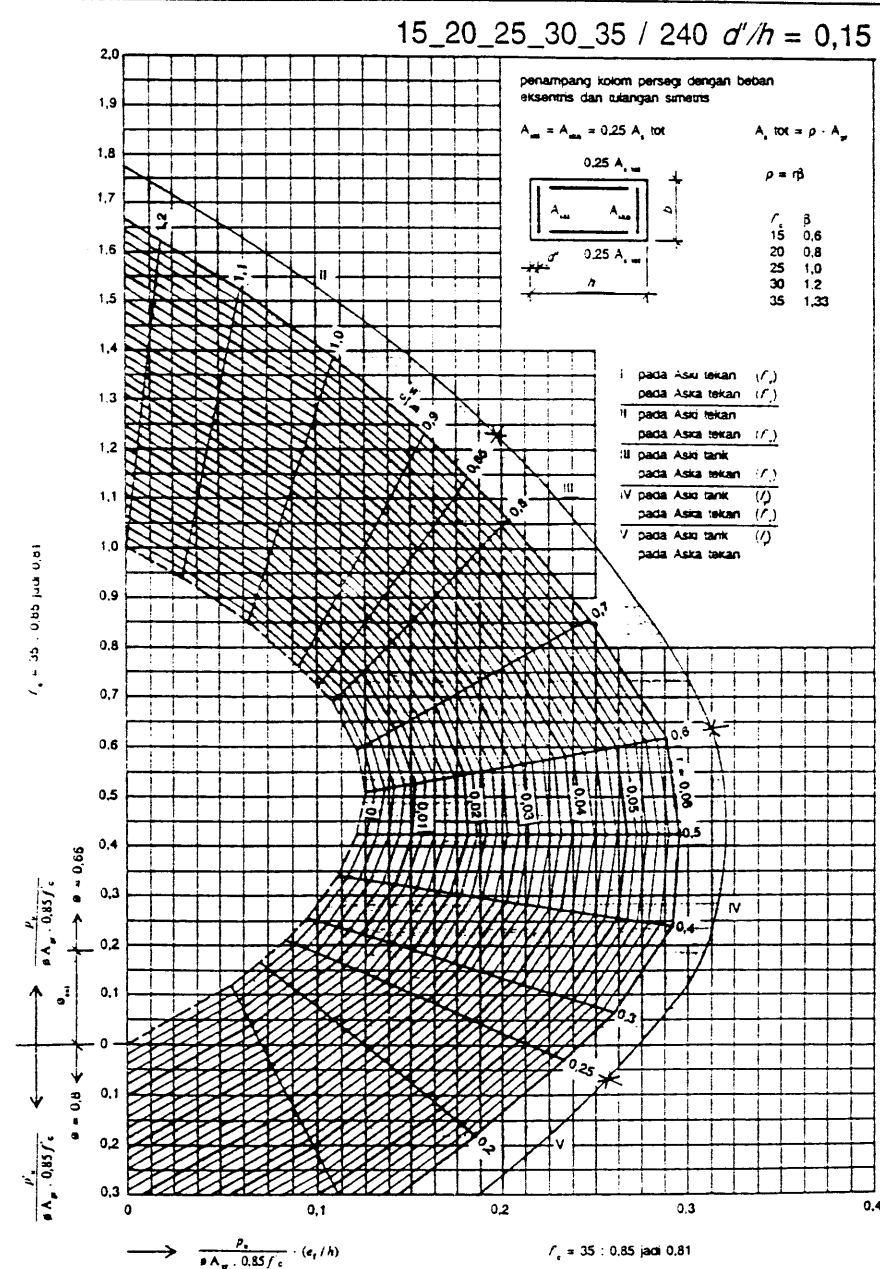
Gambar 5.1.b



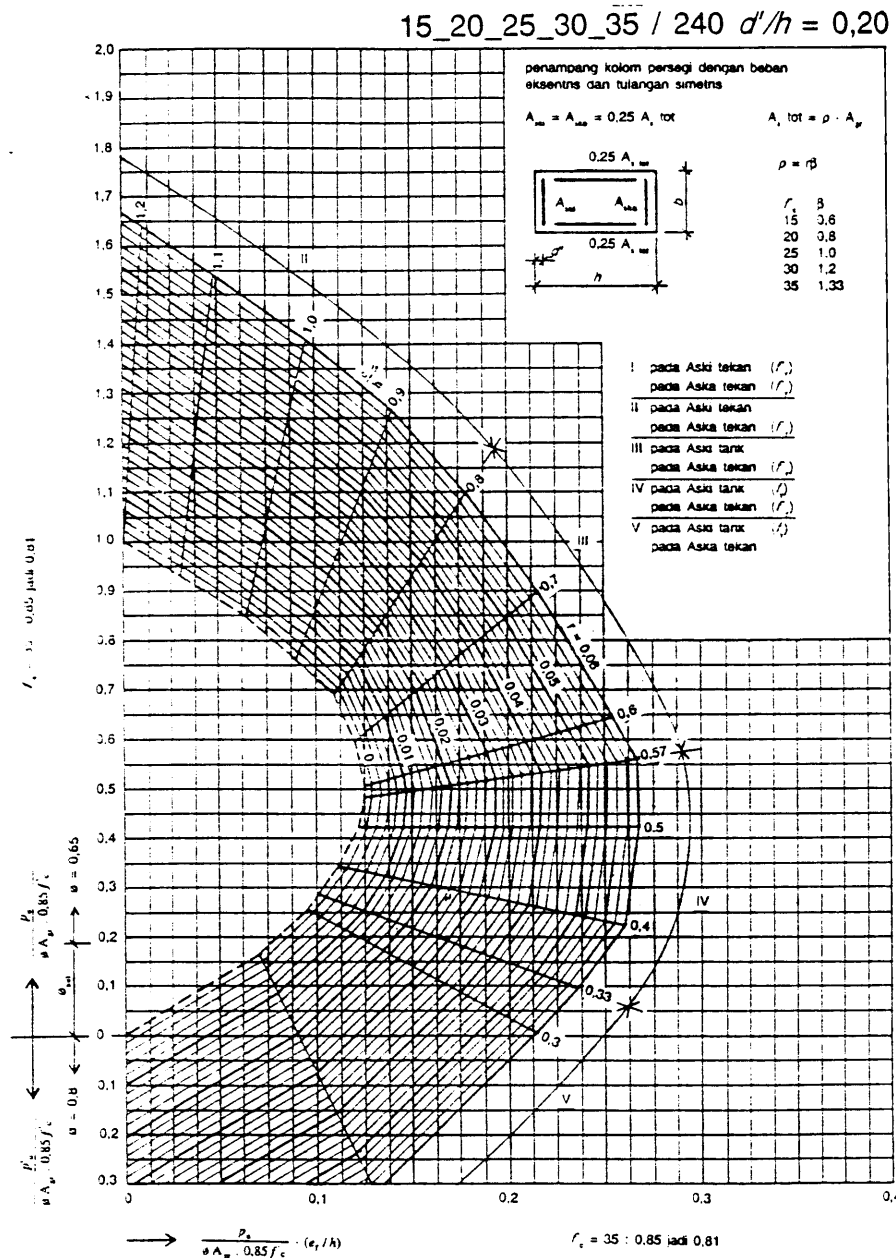
Gamoar 5 : 1



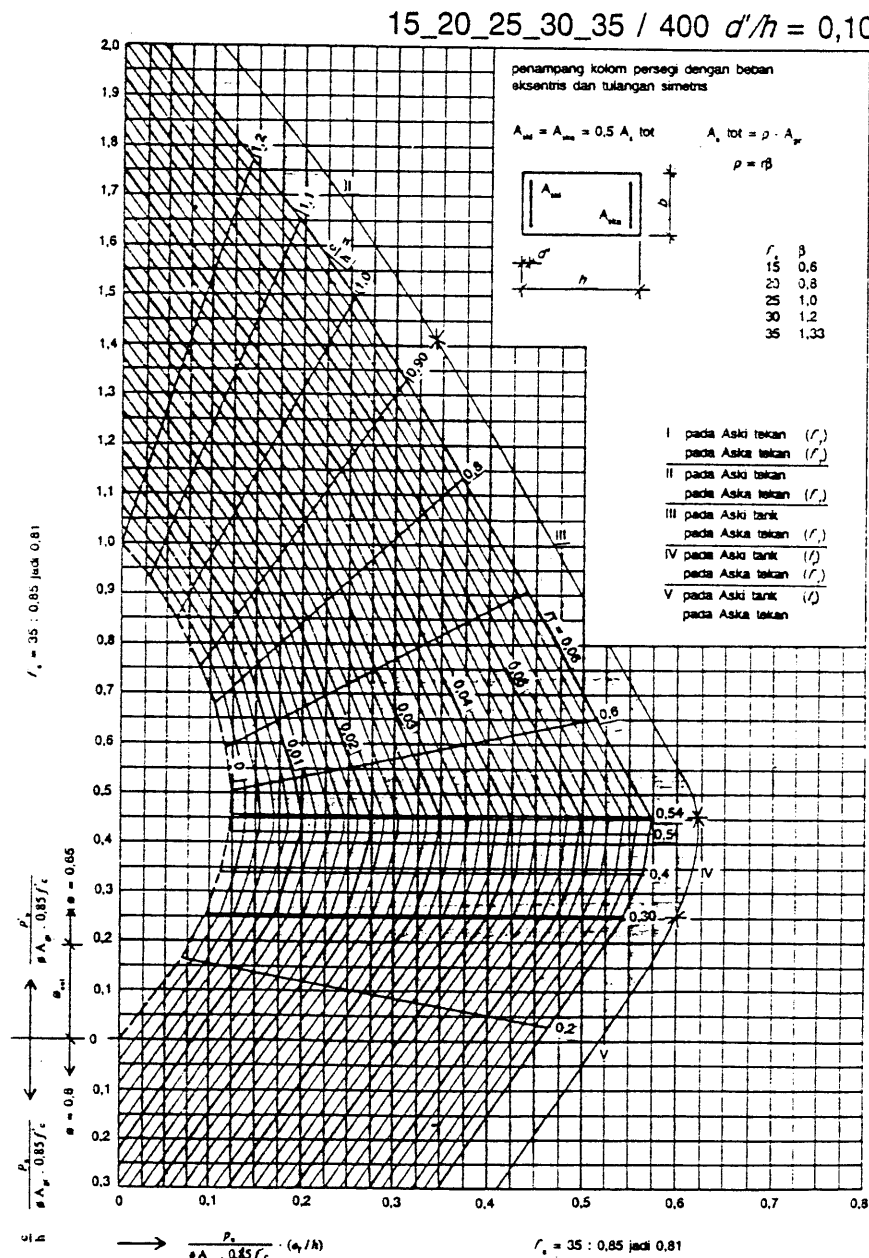
Gambar 6.1.d



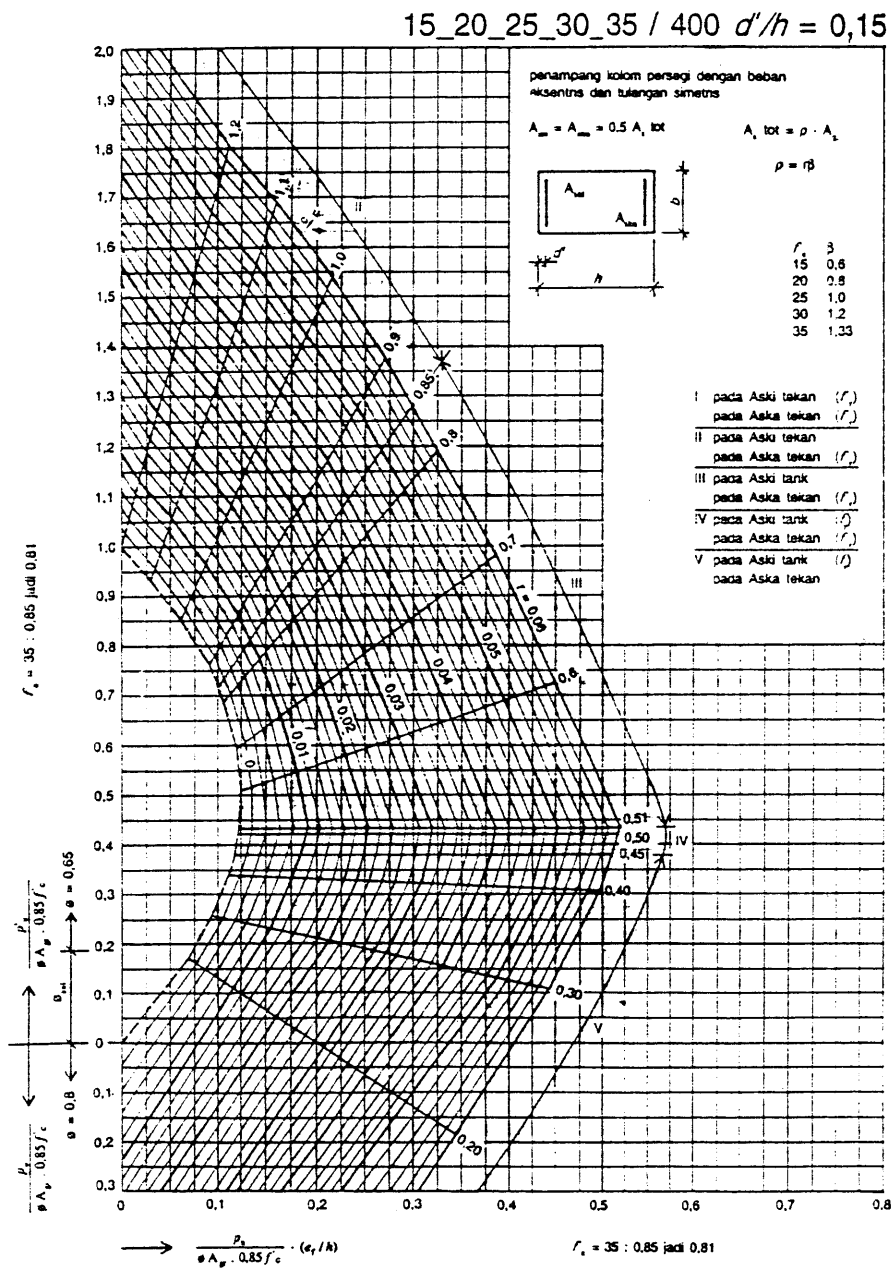
Gambar 6.1.e



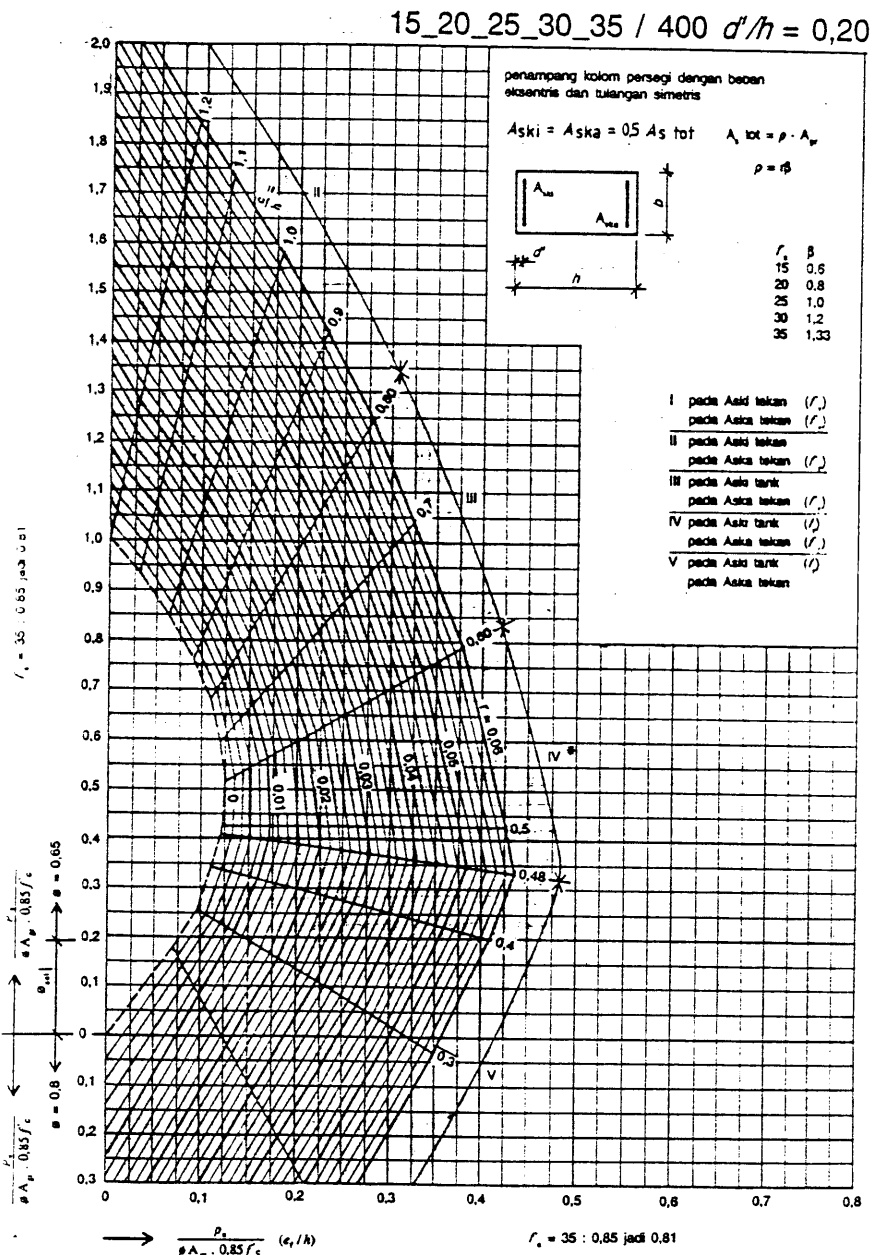
Gambar 6.1.f



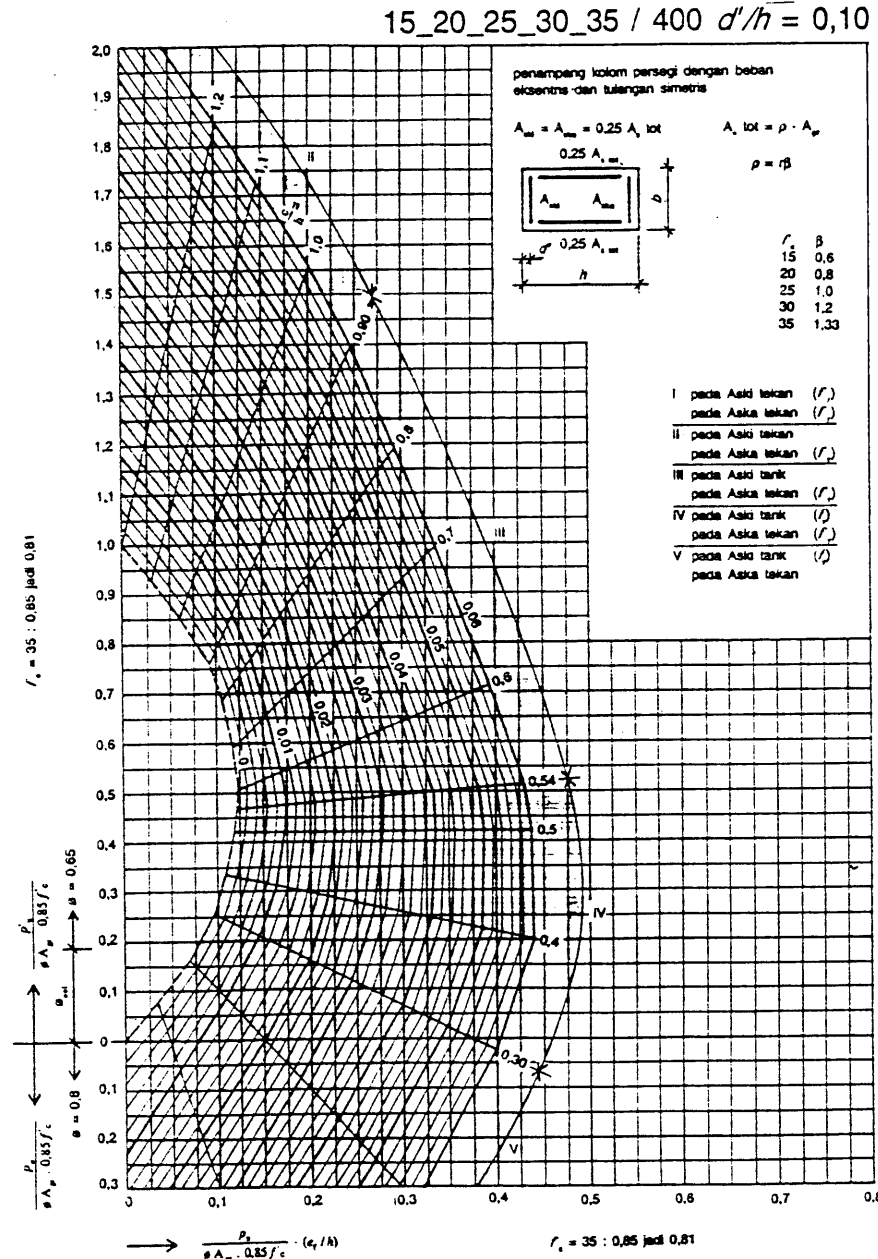
Gambar 6.2.a



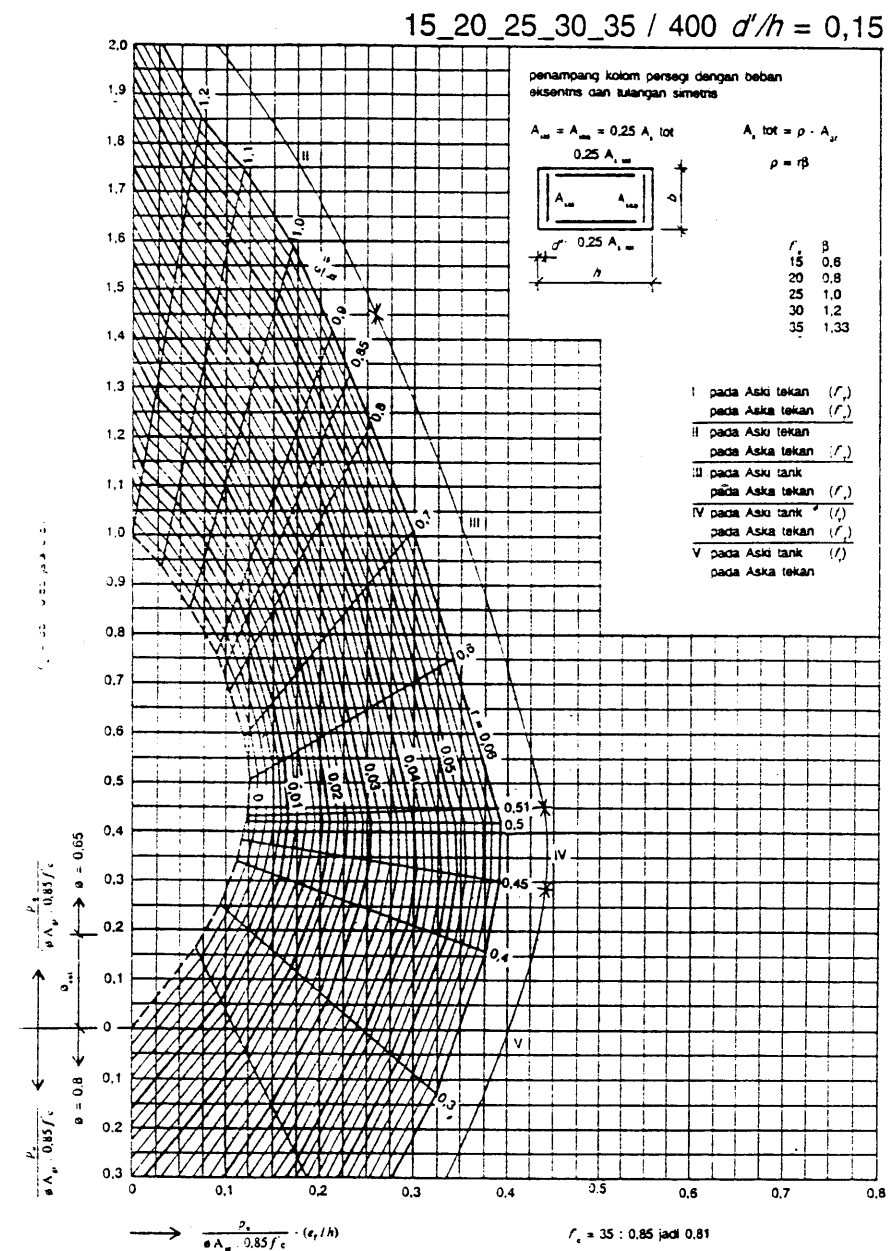
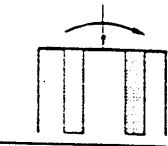
Gambar 6.2.b



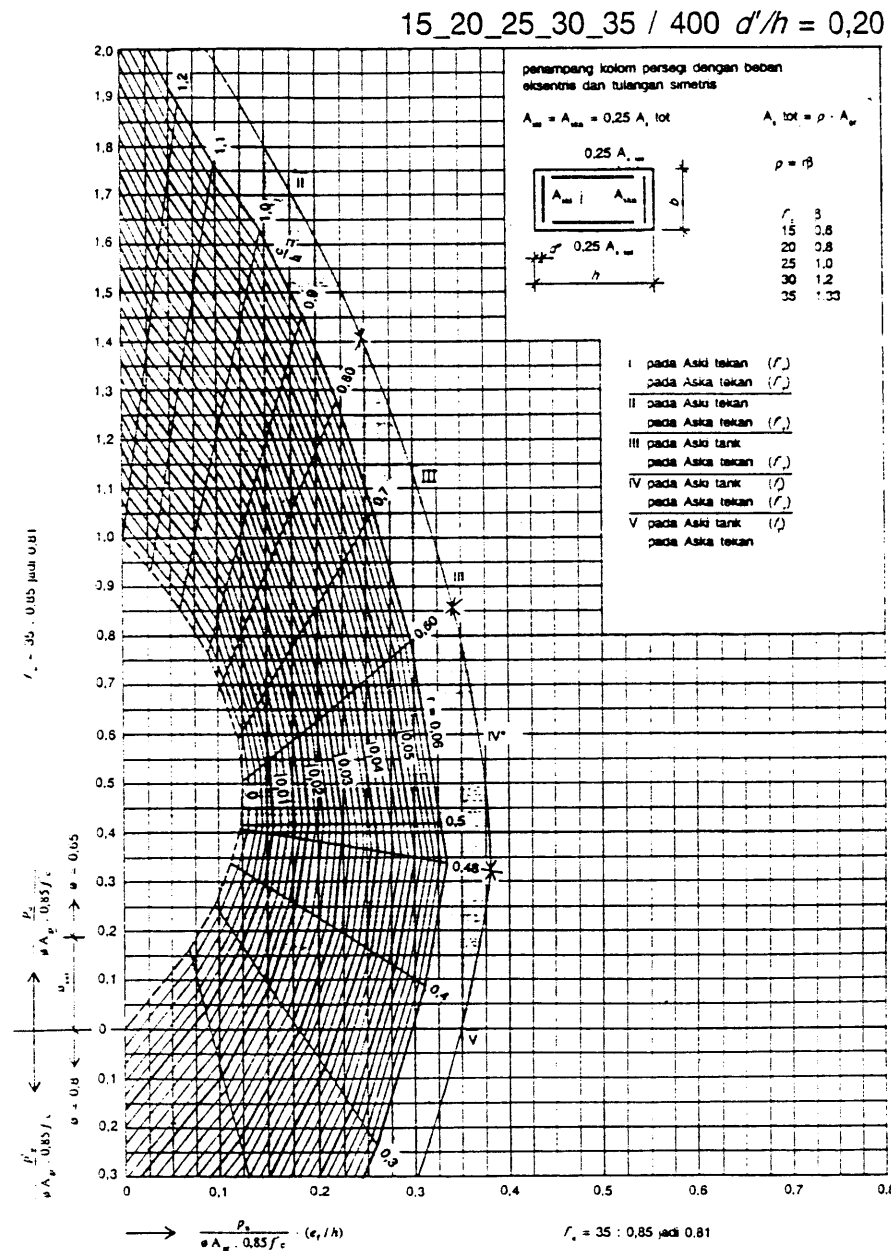
Gambar 6.2.c



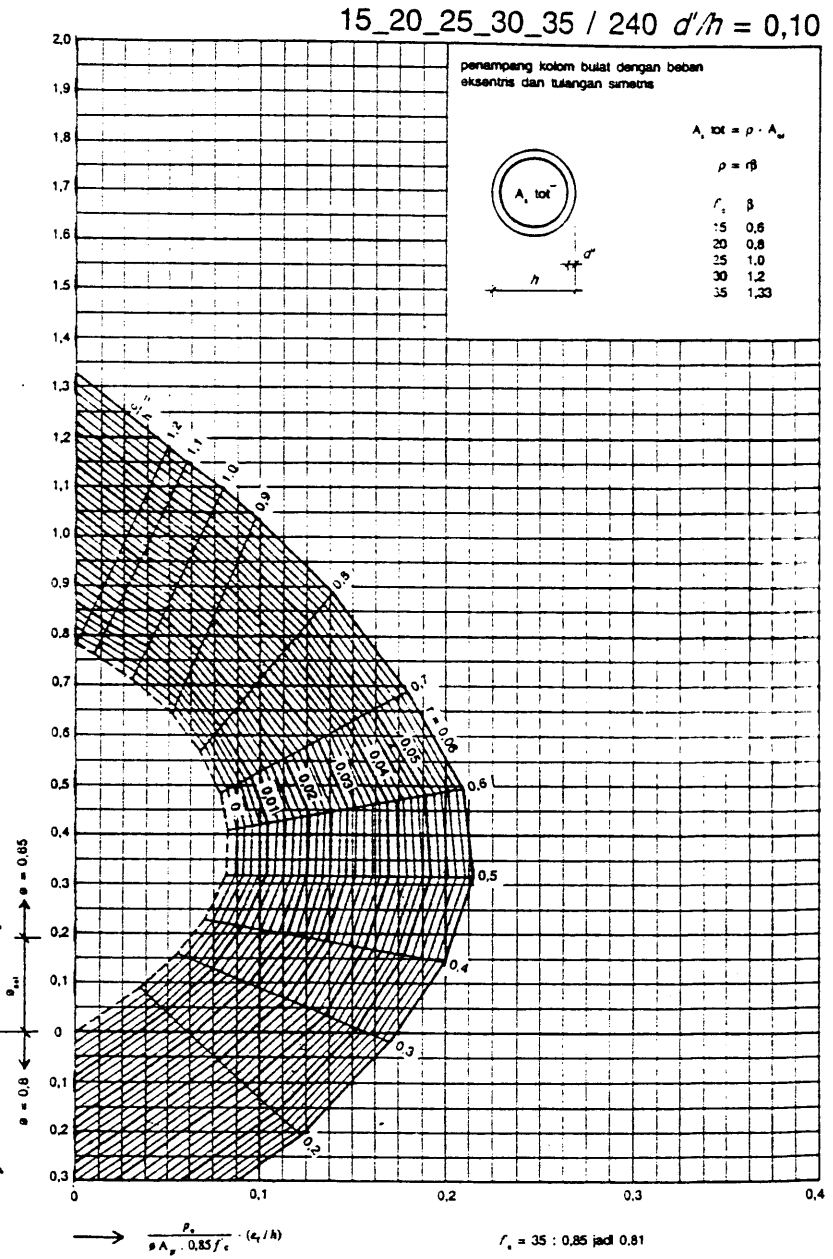
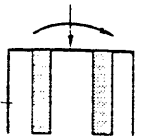
Gambar 6.2.d



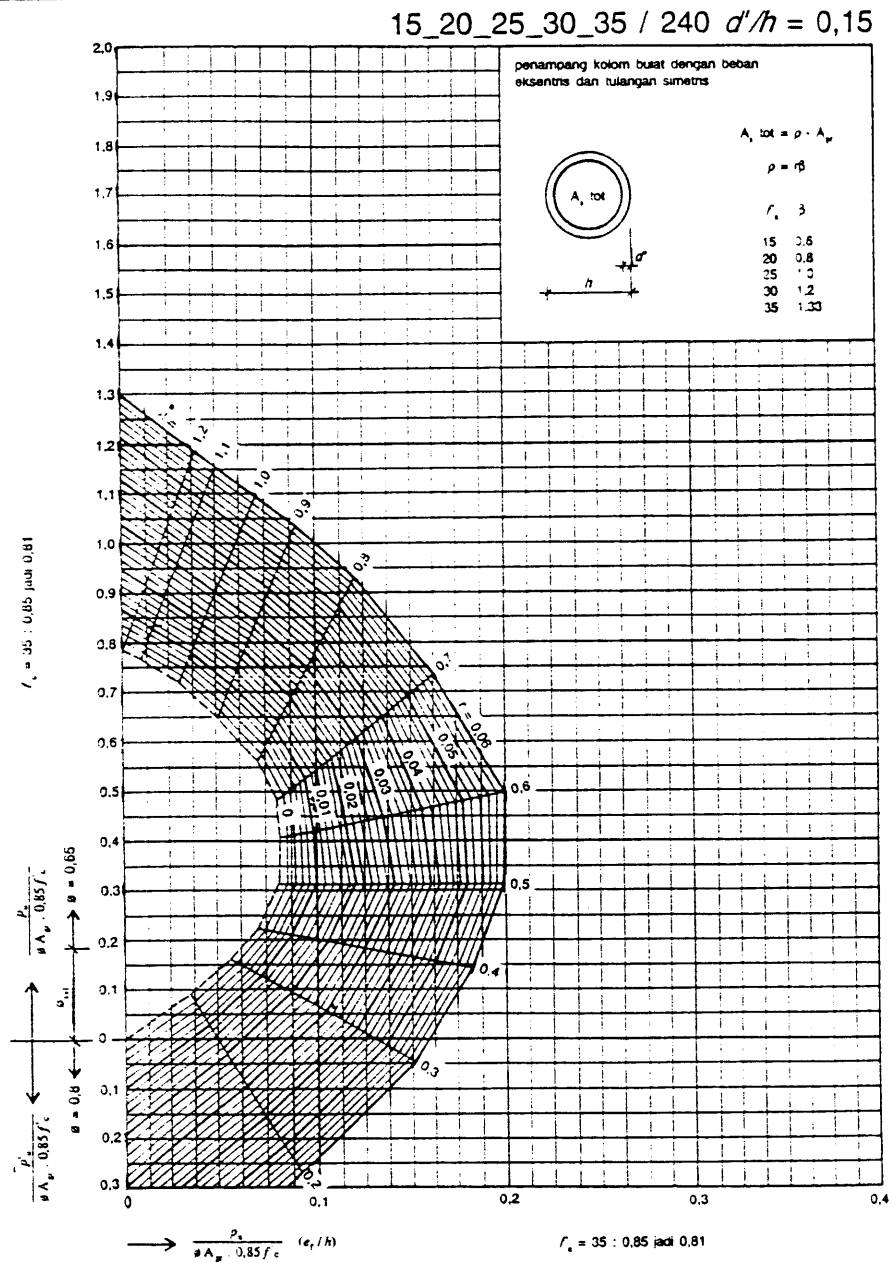
Gambar 6.2.e



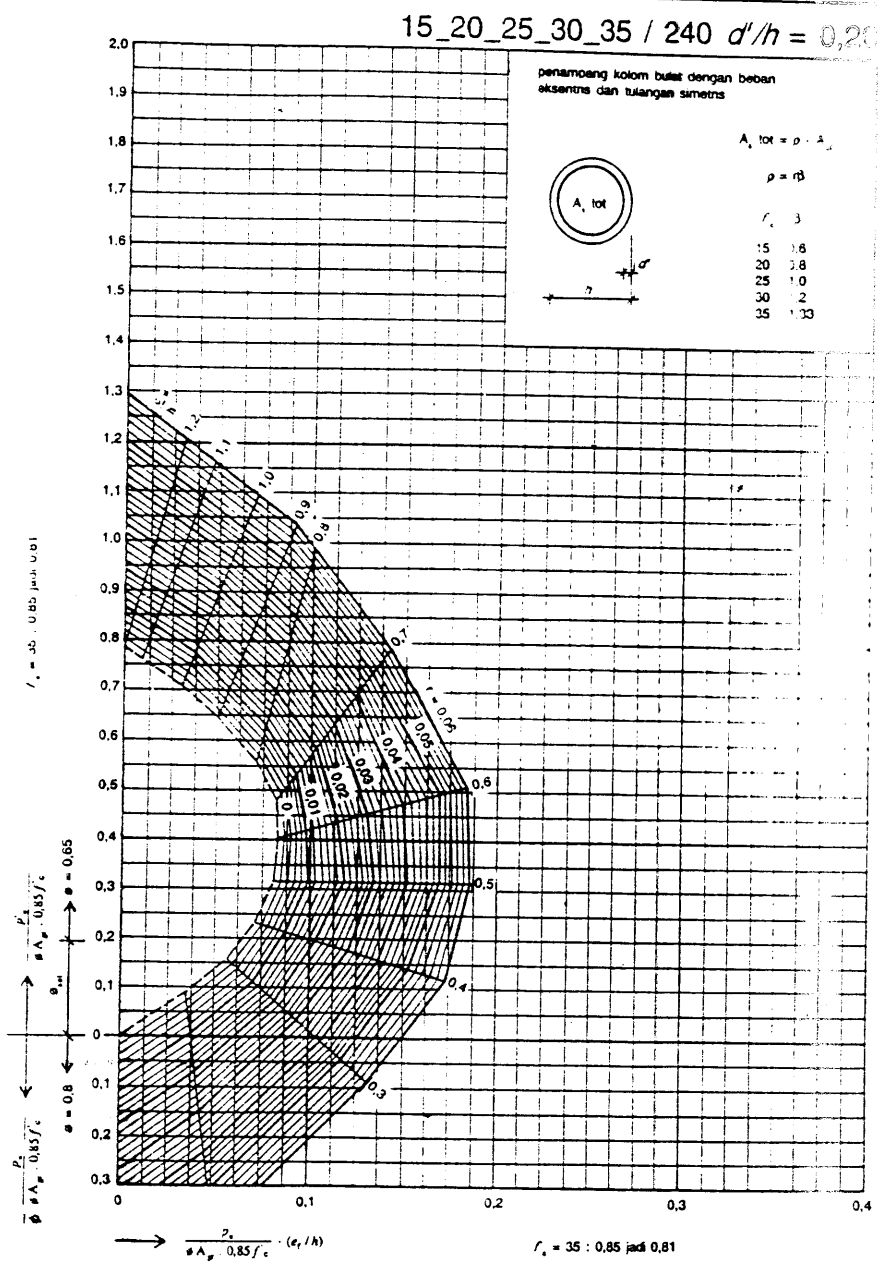
Gambar 6.2.f



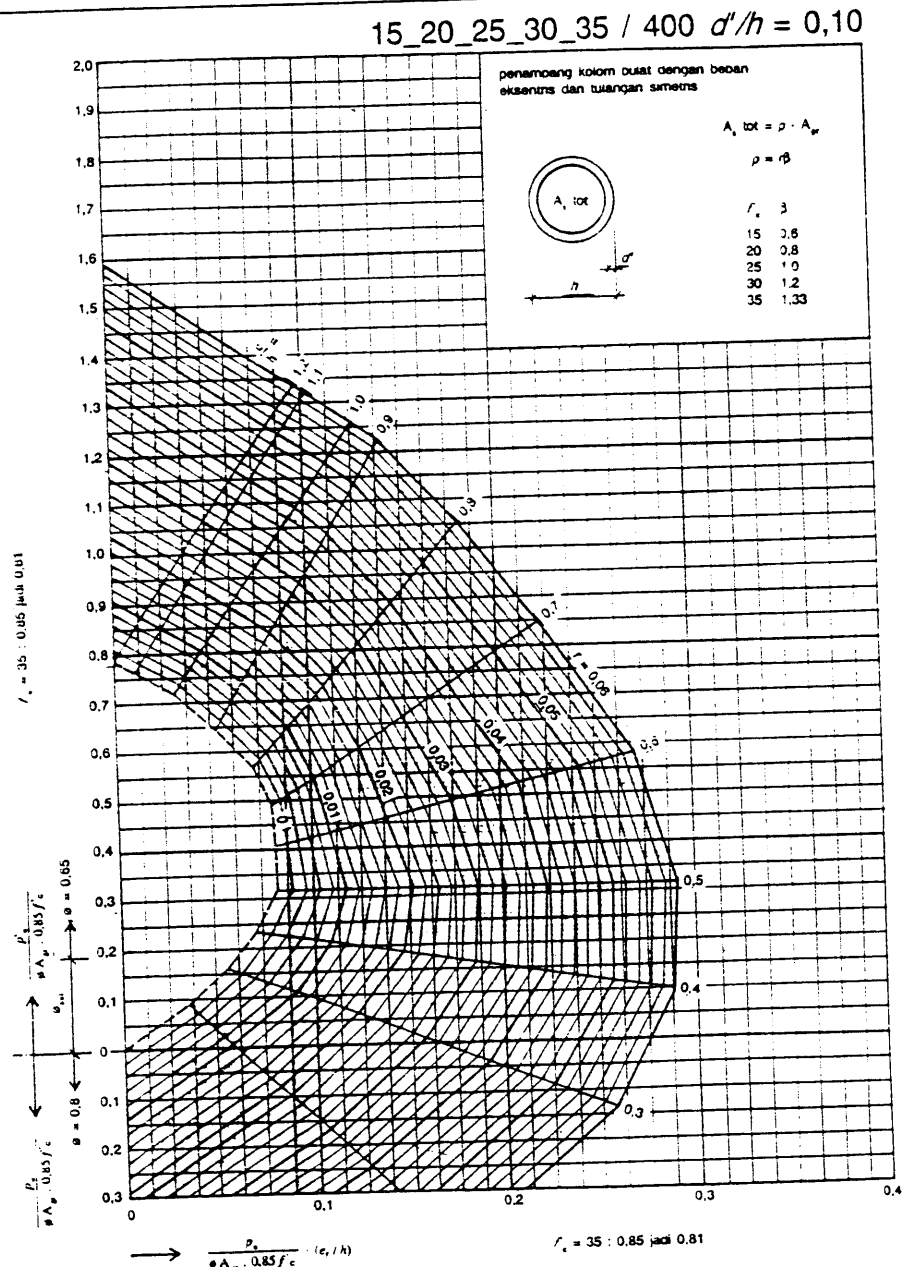
Gambar 6.3.a



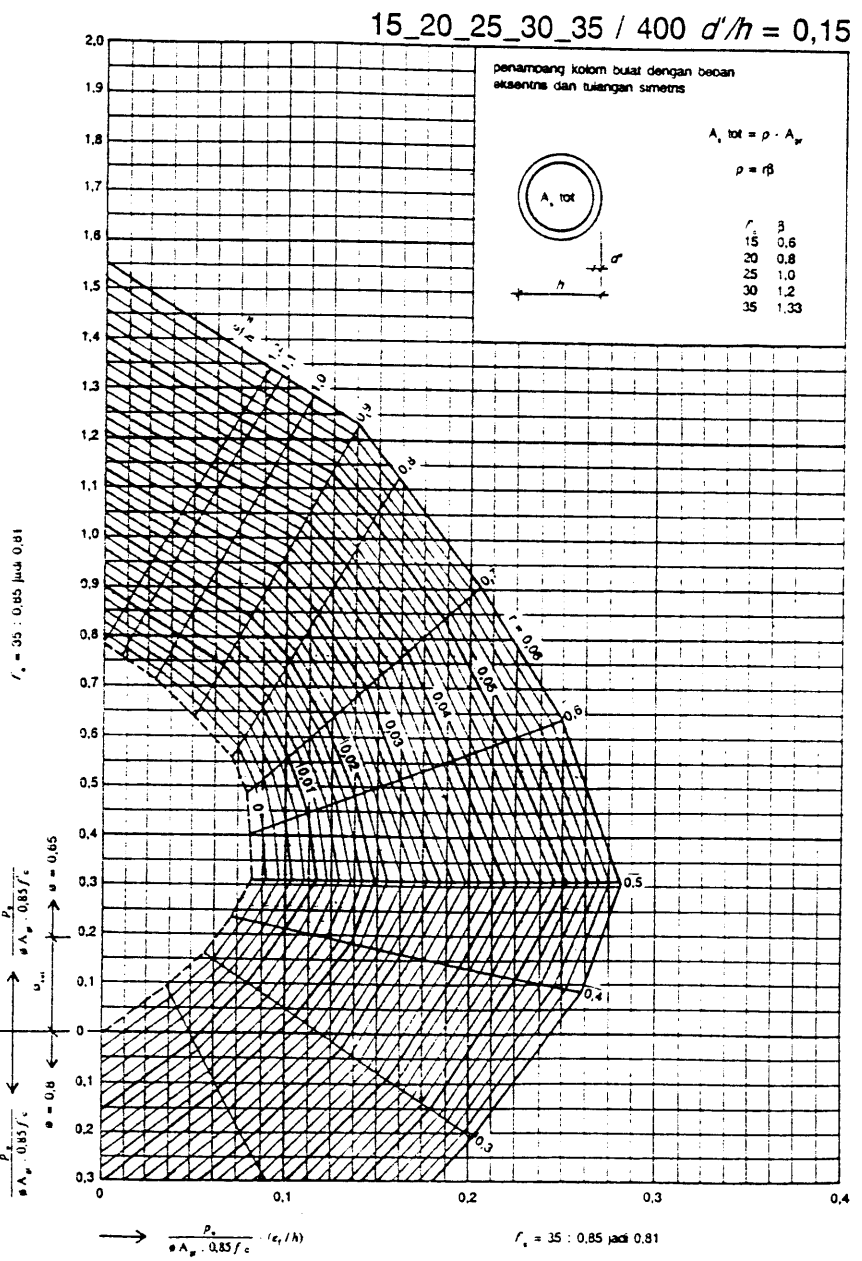
Gambar 6.3.b



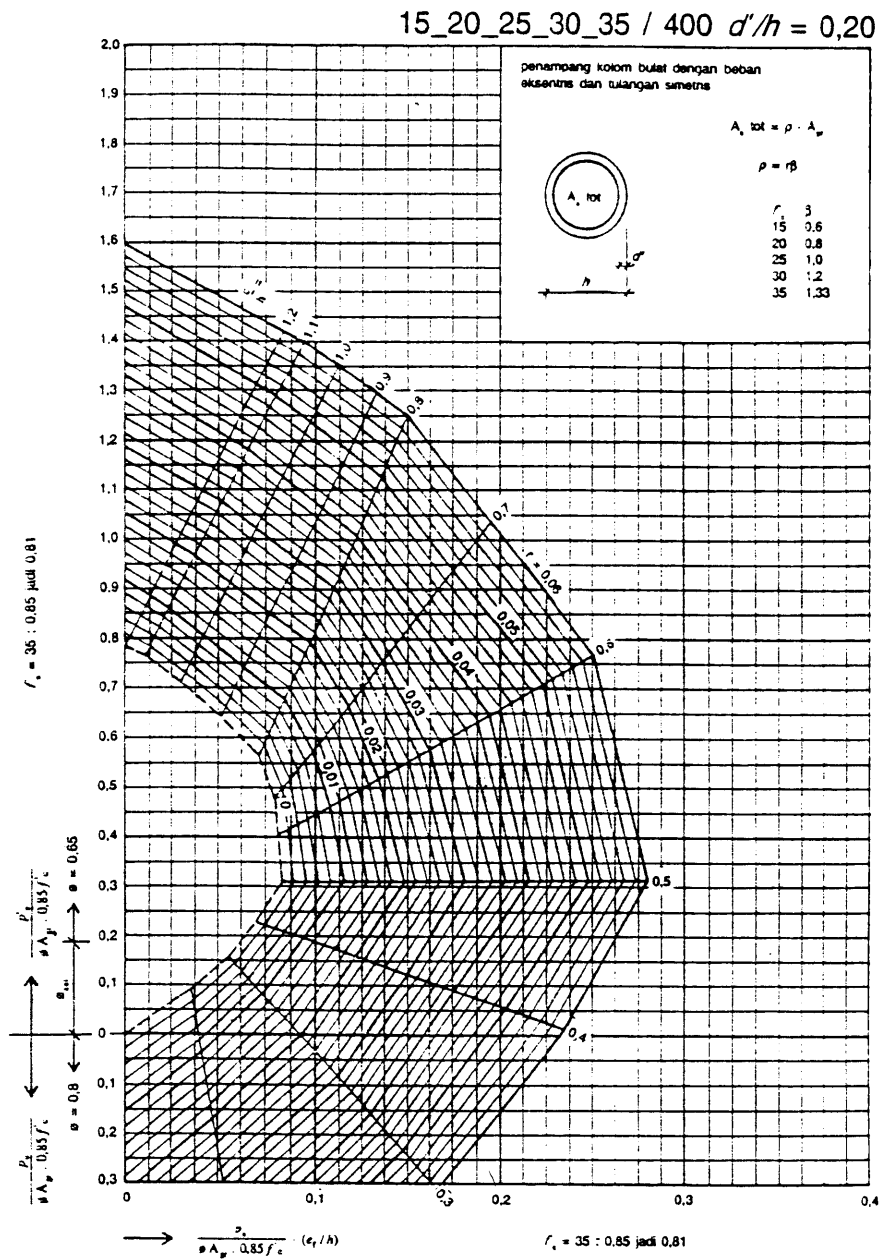
Gambar 6.3.c



Gambar 6.3.d



Gambar 6.3.e



BAB

Perencanaan Kolom

7

Gambar 6.3.f

7.1.a Perencanaan kolom pada struktur dengan penahan pengaku

Kolom-kolom pada struktur dengan pengaku harus direncanakan terhadap beban aksial P_u yang diperhitungkan secara elastisitas linier dan dengan suatu faktor pembesar agar momen $M_c = \delta_b M$ meningkat, di mana M_2 adalah momen terbesar M_u pada ujung-ujung kolom yang dihitung dengan perhitungan elastis linier.

Untuk δ_b harus ditetapkan sebagai:

$$\delta_b = \frac{C_m}{\left(1 - \frac{P_u}{\phi P_c}\right)} \geq 1,0$$

$$\text{dengan: } P_c = \frac{\pi^2 EI}{(kl_u)^2}$$

Untuk EI_t boleh ditetapkan sebagai:

$$EI_t = \frac{\left(\frac{E_c I_g}{2.5}\right)}{1 + \beta_d} \text{ dan untuk } EI_b = \frac{\left(\frac{E_c I_g}{5}\right)}{1 + \beta_d}$$

$$\beta_d = \frac{1.2 D}{(1.2 D + 1.6 L)}$$

$$C_m = 0.6 + 0.4 \left(\frac{M_{1b}}{M_{2b}} \right) \geq 0.4$$

Dalam persamaan ini M_{1b} adalah momen minimum M_u sedangkan M_{2b} momen maksimum M_u pada kolom yang dihitung dengan perhitungan elastis linier.

M_{2b} selalu positif, bila momen terhadap M_{2b} berubah tanda maka M_{1b} akan negatif.

Sebagai perhitungan dapat digunakan grafik-grafik dan/atau tabel-tabel berikut:

Untuk menentukan distribusi gaya orde-satu grafik E_f Nilai β_d didapat dari perhitungan berat.

Untuk k ditentukan dengan menggunakan diagram nomogram

Untuk menentukan y dalam diagram nomogram harus menggunakan rumus berikut:

$$y = \frac{\sum \left(\frac{EI_t}{l_t} \right)}{\sum \left(\frac{EI_b}{l_b} \right)}$$

Untuk (EI_t) dan (EI_b) diijinkan memakai rumus $E_f E_f$ didapatkan dalam MPa. Bila I_t ditentukan dalam satuan mm^4 , maka EI_t dan EI_b didapat dalam satuan Nmm^2 . Dikalikan dengan 10^{-9} maka EI_t dan EI_b diperoleh dalam satuan kNm^2 .

Jika syarat $\frac{kl_u}{r} < 34 - 12 \left(\frac{M_{1b}}{M_{2b}} \right)$ memadai, maka perhitungan orde-dua tidak perlu dilaksanakan.

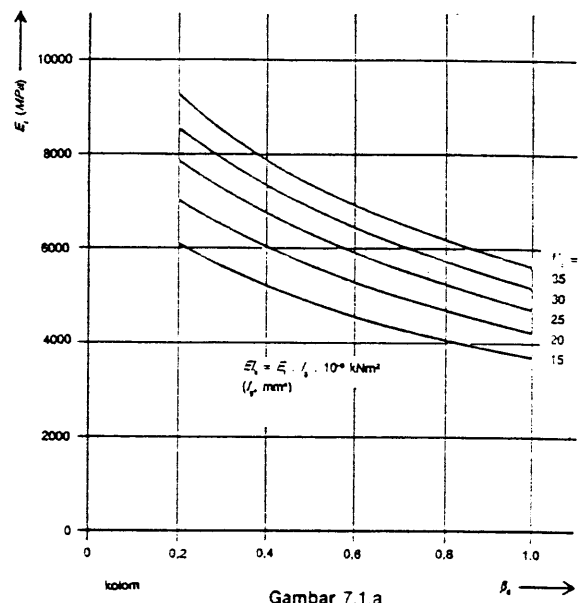
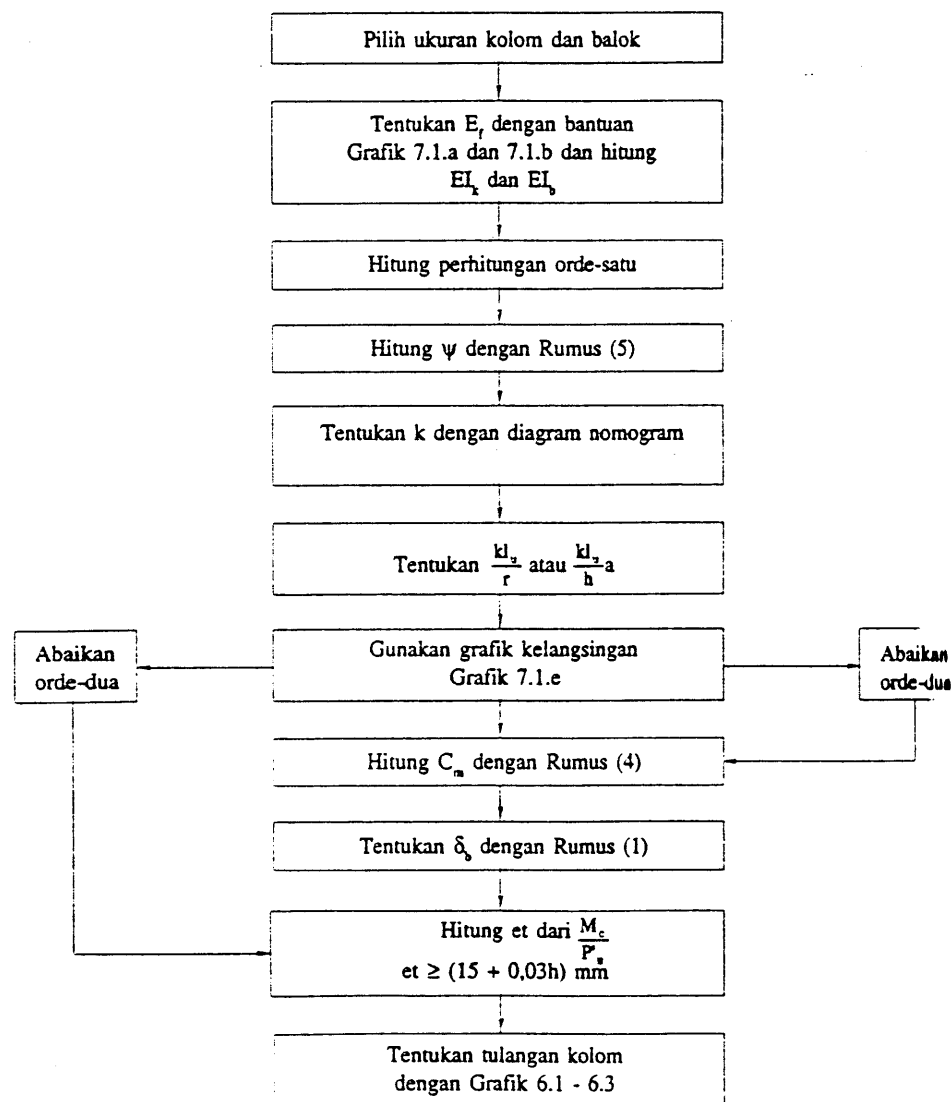
Untuk kolom penampang persegi, r boleh digantikan dengan $r = 0,3 \text{ h}$.

Jika dari $\frac{kl_u}{r}$ atau $\frac{kl_u}{h}$ yang tidak perlu diperhitungkan dengan orde-dua, dapat ditentukan dengan bantuan grafik pada halaman 88.

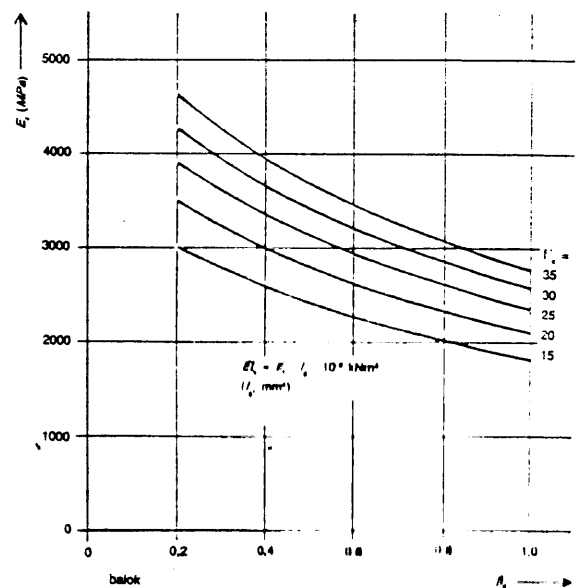
Andaikan nilai $\frac{M_2}{P_u}$ yang didapatkan, lebih kecil dari pada $(15 + 0,03 h) \text{ mm}$ maka M_2 paling sedikit harus diperhitungkan dengan eksentrisitas $e_{max} = (15 + 0,03 h) \text{ mm}$.



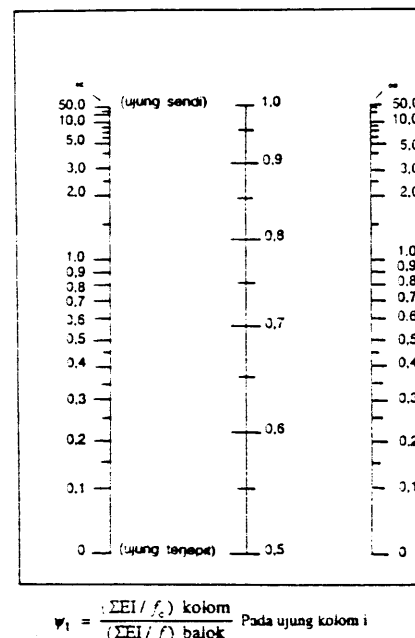
Diagram alir perencanaan kolom pada struktur dengan pengaku



Gambar 7.1.a



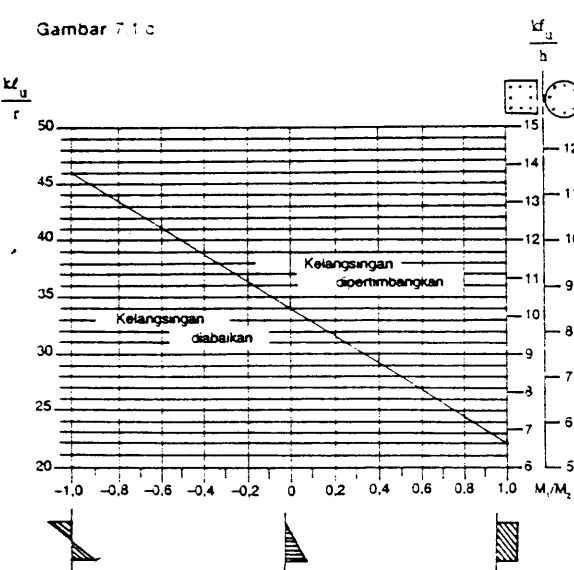
Gambar 7.1.b



Gambar 7.1.c

i	0.5	0.5	0.7	0.8	0.9	1.0
	1.0	0.9	0.8	0.7	0.6	0.5

Gambar 7.1.d



Gambar 7.1.e

7.2. Merencanakan kolom pada struktur tanpa penahan

Kolom-kolom pada struktur tanpa pengaku harus direncanakan terhadap beban aksial P_a yang diperhitungkan secara elastisitas linier dan dengan suatu faktor pembesar yang meningkatkan momen $M_i = \delta_b M_{ib} + \delta_m$ dengan:

M_{ib} adalah momen kolom terbesar yang dapat terjadi, bila struktur dengan pengaku;
 M_{25} adalah momen kolom terbesar yang timbul akibat struktur tergoyang horisontal.

Untuk δ_b harus ditetapkan sebagai:

$$\delta_b = \frac{C_n}{\left(1 - \frac{P_a}{\vartheta P_c}\right)} \geq 1.0 \quad (1)$$

$$\delta_m = \frac{C_n}{\left(1 - \frac{\sum P_a}{\sum \vartheta P_c}\right)} \geq 1.0 \quad (6)$$

$$\text{dengan } P_c = \frac{\pi^2 EI}{(kl_w)^2}$$

$\sum P_a$ adalah jumlah beban kolom P_a pada tingkat (lantai) yang berkaitan
 $\sum \vartheta P_c$ adalah jumlah beban teuk ϑP_c pada tingkat (lantai) yang berkaitan.

Untuk EI_k boleh digunakan rumus berikut:

$$EI_k = \frac{\left(\frac{E_c I_q}{5}\right) + E_s I_{sc}}{1 + \beta_3} \quad (7)$$

atau dengan rumus yang disederhanakan berupa:

$$EI_k = \frac{\left(\frac{E_c I_q}{2.5}\right)}{1 + \beta_3} \text{ dikombinasikan dengan } EI_h = \frac{(E_c I_q)}{1 + \beta_1} \quad (2)$$

$$\beta_1 = \frac{1.2 D}{(1.2 D + 1.6 L)} \quad (3)$$

$$\beta_3 = 0.6 + 0.4 \left(\frac{M_{ib}}{M_{25}} \right) \geq 0.4 \quad (4)$$

Dalam persamaan ini M_{ib} adalah momen minimum M_{ib} sedangkan M_{25} momen maksimum M_{25} pada kolom yang dihitung bila struktur diberi pengaku dan dengan perhitungan elastis linier. M_{ib} selalu positif. M_{ib} akan negatif bila momen terhadap M_{25} berubah tandanya

Sebagai perhitungan dapat digunakan grafik-grafik dan tabel-tabel berikut.
Untuk menentukan distribusi gaya orde-satu: grafik untuk E_t menurut Grafik 7.1.

Nilai β_d didapat dari perhitungan berat.

Penentuan k (panjang tekuk) dapat memakai diagram nomogram untuk struktur tanpa pengaku menurut Tabel 7.2.c. Untuk menentukan ψ dalam diagram nomogram harus menggunakan rumus berikut:

$$\psi = \frac{\sum \left(\frac{EI_k}{l_k} \right)}{\sum \left(\frac{EI_b}{l_b} \right)}$$

Untuk EI_k dan EI_b boleh memakai rumus E_t menurut halaman 104.

Bila tulangan diketahui maka untuk EI_k dapat digunakan rumus (7), yaitu:

$$EI_k = \frac{\left(\frac{E_c I_q}{5} \right) + E_s I_{sc}}{1 + \beta_d}$$

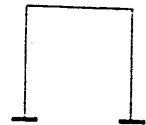
Untuk menentukan I_{sc} dapat digunakan rumus sesuai dengan tabel pada halaman 112.

$$\frac{I_{sc}}{I_s} = c \cdot \rho \cdot \gamma^2$$

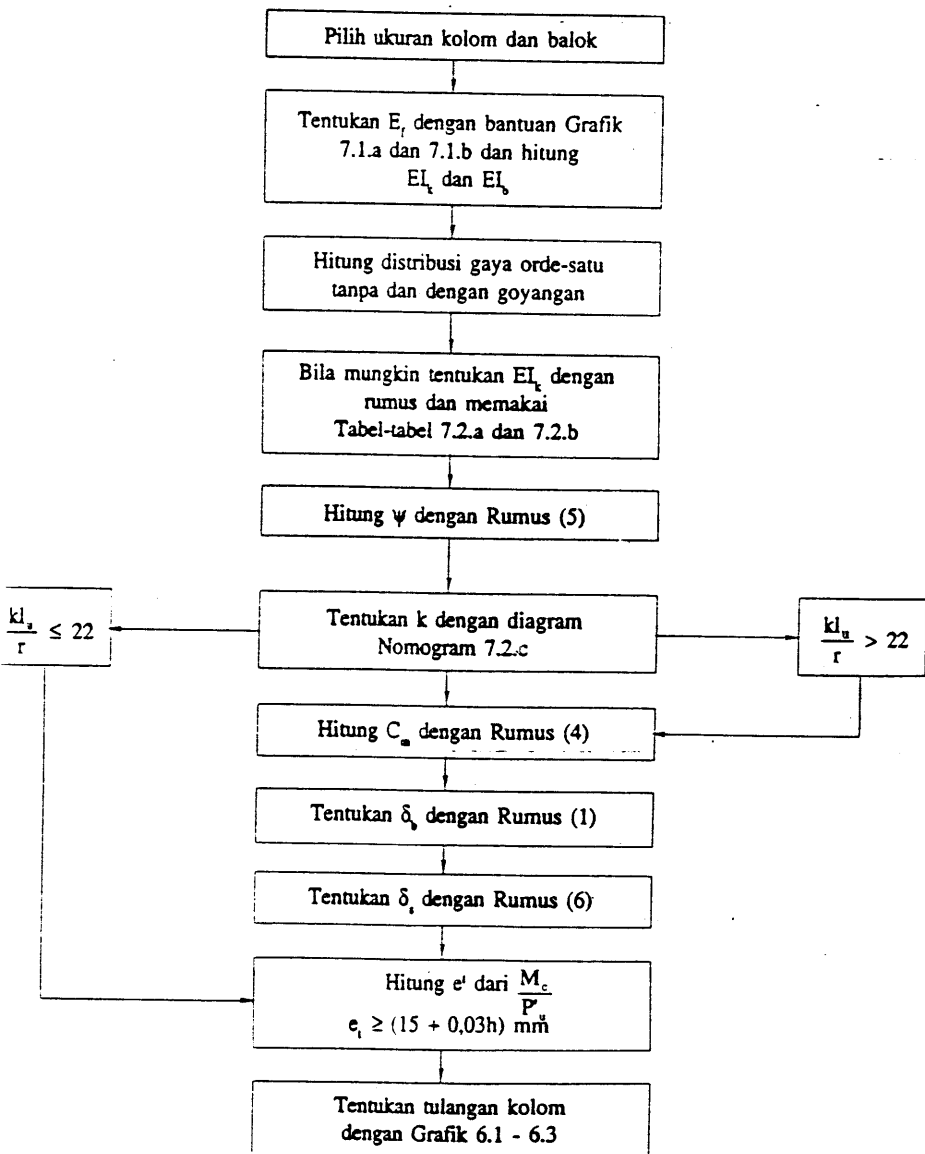
Untuk menentukan γ pada ketinggian balok dan penutup beton yang ber variasi dapat digunakan tabel halaman 113

Bila memenuhi persyaratan $\frac{kl_a}{r} \leq 22$, maka perhitungan orde-dua tidak perlu dilaksanakan.

Untuk e_i harus diperhitungkan dengan $(15 + 0.03h)$ mm



7.2.b Diagram alir perencanaan kolom pada struktur tanpa penahan



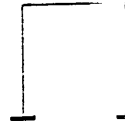
7.2.a Tabel untuk menentukan I_{se} dan I_{se}/I_g

tipe kolom	jumlah batang	I_{se}	I_{se}/I_g
	-	$0,25A_u \gamma^2 h^2$	$3 p_i \gamma^2$
	3 per sisi 6 per sisi	$0,167 A_u \gamma^2 h^2$ $0,117 A_u \gamma^2 h^2$	$2 p_i \gamma^2$ $1,4 p_i \gamma^2$
	3 per sisi (8) 4 per sisi (12) 5 per sisi (16)	$0,187 A_u \gamma^2 h^2$ $0,187 A_u \gamma^2 h^2$ $0,172 A_u \gamma^2 h^2$	$2,24 p_i \gamma^2$ $2,24 p_i \gamma^2$ $2,06 p_i \gamma^2$
	$h = 2b$ 16 batang pada sumbu terkuat	$0,128 A_u \gamma^2 h^2$	$1,54 p_i \gamma^2$
	$b = 2h$ 16 batang pada sumbu terlemah	$0,219 A_u \gamma^2 h^2$	$2,63 p_i \gamma^2$
	-	$0,125 A_u \gamma^2 h^2$	$2 p_i \gamma^2$
	-	$0,125 A_u \gamma^2 h^2$	$1,5 p_i \gamma^2$

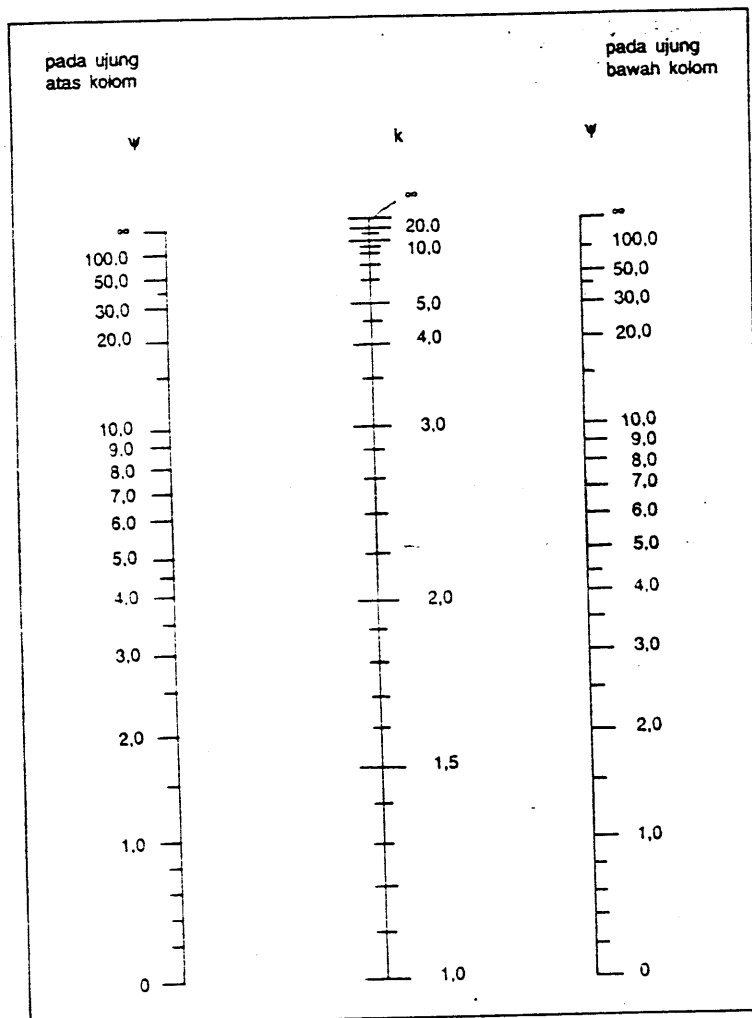
7.2.b Nilai γ untuk kolom

h dalam mm	nilai γ untuk penutup beton 40 mm, sengkang $\phi 10$							
	12	14	16	19	22	25	28	32
200	0,44	0,43	0,42	0,41	0,39	0,38	0,36	0,34
250	0,55	0,54	0,53	0,52	0,51	0,50	0,49	0,47
300	0,63	0,62	0,61	0,60	0,59	0,58	0,57	0,56
350	0,68	0,67	0,67	0,66	0,65	0,64	0,63	0,62
400	0,72	0,72	0,71	0,70	0,70	0,69	0,68	0,67
450	0,75	0,75	0,74	0,74	0,73	0,72	0,71	0,70
500	0,78	0,77	0,77	0,76	0,76	0,75	0,74	0,74
550	0,80	0,79	0,79	0,78	0,78	0,77	0,77	0,76
600	0,81	0,81	0,81	0,80	0,80	0,79	0,79	0,78
650	0,83	0,82	0,82	0,82	0,81	0,81	0,80	0,80
700	0,84	0,84	0,83	0,83	0,83	0,82	0,82	0,81
≥ 750	0,85	0,84	0,84	0,84	0,84	0,83	0,83	0,82

h dalam mm	nilai γ untuk penutup beton 50 mm, sengkang $\phi 10$							
	12	14	16	19	22	25	28	32
250	0,47	0,46	0,46	0,44	0,43	0,42	0,41	0,39
300	0,56	0,55	0,55	0,54	0,53	0,52	0,51	0,49
350	0,62	0,62	0,61	0,60	0,59	0,59	0,58	0,57
400	0,67	0,67	0,66	0,65	0,65	0,64	0,63	0,62
450	0,71	0,70	0,70	0,69	0,68	0,68	0,67	0,66
500	0,74	0,73	0,73	0,72	0,71	0,71	0,70	0,70
550	0,76	0,76	0,75	0,75	0,74	0,73	0,73	0,72
600	0,78	0,78	0,77	0,77	0,76	0,76	0,75	0,75
650	0,80	0,79	0,79	0,78	0,78	0,78	0,77	0,77
700	0,81	0,81	0,81	0,80	0,80	0,79	0,79	0,78
≥ 750	0,82	0,82	0,82	0,81	0,81	0,81	0,80	0,80



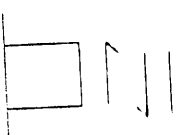
Tabel 7.2.c



BAB

Geser

8



3.1 Gaya lintang

Balok persegi

Pemakaian grafik dan tabel-tabel
Untuk mutu beton $f'_c = 15, 20, 25, 30$ dan 35 MPa , pada Tabel 3.2 diberikan tabel-tabel untuk nilai maksimum ϕv_c

- penggunaan rumus $V_c = \frac{1}{6} \sqrt{f'_c} \cdot bd$

kemudian diturunkan dalam bentuk $\phi v_c = 0.6 \frac{1}{6} \sqrt{f'_c}$

- penggunaan rumus

$$V_c = \frac{1}{7} \left[\sqrt{f'_c} + 120 \rho \frac{V_c d}{M_u} \right] bd$$

kemudian diturunkan dalam bentuk

$$\phi v_c = 0.6 \frac{1}{7} \left[\sqrt{f'_c} + 120 \rho \frac{V_c d}{M_u} \right]$$

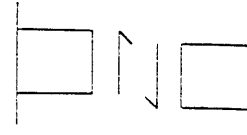
Di samping itu, pada diberikan grafik-grafik 8.3.a s/d 8.3.c petunjuk untuk mutu beton $f'_c = 15, 20, 25, 30$ dan 35 MPa di mana nilai maksimum ϕv_c dinyatakan pada sumbu vertikal yang bergantung pada nilai ρ (sumbu horizontal) dan perbandingan ρ (sumbu horizontal)

$\frac{V_c d}{M_u}$ (dalam grafik, berupa garis seperti jari-jari)

Untuk mutu baja $f_y = 240, 400$ diberikan tabel pada 8.4.a dan 8.4.b untuk nilai $\phi v_s = (v_s - \phi v_c)$, kemudian yang variabelnya berupa diameter sengkang, kelebaran jaringan dan kelebaran balok.

Untuk menentukan jumlah minimum sengkang harga $S_s = \frac{bs}{3f_y}$ (3.4-14) dapat dicari menggunakan tabel petunjuk pada grafik gambar 8.5.a dan gambar 8.5.b di mana hubungan antara b dan s ditetapkan dengan $\phi 8, \phi 10, \phi 12$ dan $\phi 14$. Bila lebar balok diketahui maka dari lengkungan setiap diameter didapatkan nilai s maksimum.

Nilai-nilai maksimum ϕV_c menurut $\phi V_{c,\max} = \frac{2}{3} \sqrt{f'_c} \cdot bd$ berlaku untuk mutu beton $f'_c = 15, 20, 25, 30$ dan 35 pada balok berukuran variabel.



8.2.a TABEL GESER

- Nilai ϕv_c (3.4-3)

$f'_c = 15 \text{ MPa}$	$f'_c = 20 \text{ MPa}$	$f'_c = 25 \text{ MPa}$	$f'_c = 30 \text{ MPa}$	$f'_c = 35 \text{ MPa}$
0,387	0,448	0,500	0,548	0,592

Catatan : - Tegangan geser beton ϕv_c dalam satuan MPa

- Faktor reduksi kekuatan $\phi = 0,60$ sudah termasuk dalam tabel ini

- Nilai $\phi v_c = \phi \sqrt{f'_c / 6}$ SKSNI T15-1991-03 Persamaan 3.4-3

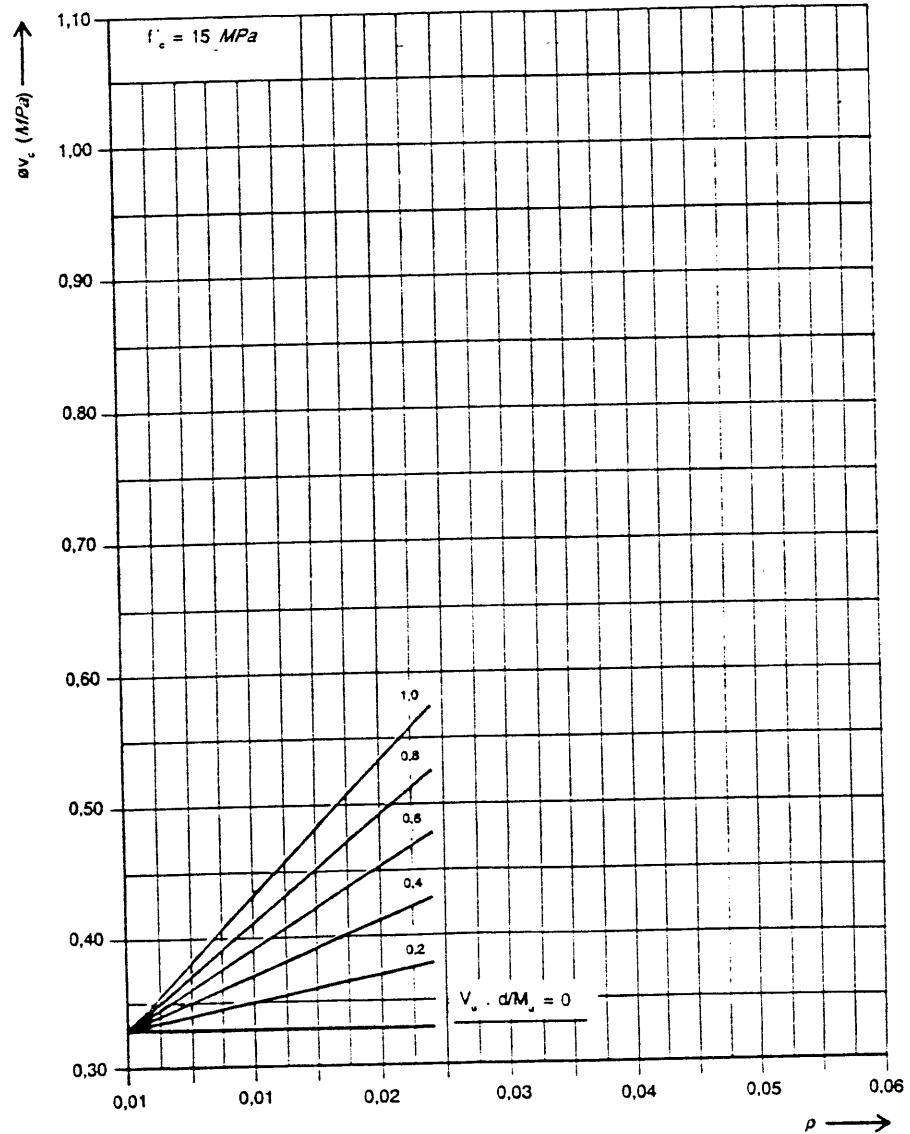
8.2.b TABEL GESER - Nilai ϕv_c (SKSNI T15-1991-03 Persamaan 3.4-6)

$\rho \cdot V_c \cdot d/M_u$	$f'_c = 15 \text{ MPa}$	$f'_c = 20 \text{ MPa}$	$f'_c = 25 \text{ MPa}$	$f'_c = 30 \text{ MPa}$	$f'_c = 35 \text{ MPa}$
0,000	0,332	0,383	0,429	0,469	0,507
0,001	0,342	0,394	0,439	0,480	0,517
0,002	0,353	0,404	0,449	0,490	0,528
0,003	0,363	0,414	0,459	0,500	0,538
0,004	0,373	0,424	0,470	0,511	0,548
0,005	0,383	0,435	0,480	0,521	0,559
0,006	0,394	0,445	0,490	0,531	0,569
0,007	0,404	0,455	0,501	0,541	0,579
0,008	0,414	0,466	0,511	0,552	0,589
0,009	0,425	0,476	0,521	0,562	0,600
0,010	0,435	0,486	0,531	0,572	0,610
0,011	0,445	0,496	0,542	0,583	0,620
0,012	0,455	0,507	0,552	0,593	0,631
0,013	0,466	0,517	0,562	0,603	0,641
0,014	0,476	0,527	0,573	0,613	0,651
0,015	0,486	0,538	0,583	0,624	0,661
0,016	0,497	0,548	0,593	0,634	0,672
0,017	0,507	0,558	0,603	0,644	0,682
0,018	0,517	0,568	0,614	0,655	0,692
0,019	0,527	0,579	0,624	0,665	0,703
0,020	0,538	0,589	0,634	0,675	0,713
0,021	0,548	0,599	0,645	0,685	0,723
0,022	0,558	0,610	0,655	0,696	0,733
0,023	0,569	0,620	0,665	0,706	0,744
0,024	0,579	0,630	0,675	0,716	0,754
0,025	0,589	0,640	0,686	0,727	0,764
0,026	0,599	0,651	0,696	0,737	0,775
0,027	0,610	0,661	0,706	0,747	0,785
0,028	0,620	0,671	0,717	0,757	0,795
0,029	0,630	0,682	0,727	0,768	0,805
0,030	0,641	0,692	0,737	0,778	0,816
0,031	0,651	0,702	0,747	0,788	0,826
0,032	0,661	0,712	0,758	0,799	0,836
0,033	0,671	0,723	0,768	0,809	0,847
0,034	0,682	0,733	0,778	0,819	0,857
0,035	0,692	0,743	0,789	0,829	0,867
0,036		0,754	0,799	0,840	0,877
0,037		0,764	0,809	0,850	0,888
0,038		0,774	0,819	0,860	0,898
0,039		0,784	0,830	0,871	0,908
0,040		0,795	0,840	0,881	0,919
0,041		0,805	0,850	0,891	0,929
0,042			0,861	0,901	0,939
0,043			0,871	0,912	0,949
0,044			0,881	0,922	0,960
0,045			0,891	0,932	0,970
0,046				0,943	0,980
0,047				0,953	0,991
0,048				0,963	1,001
0,049				0,973	1,011
0,050				0,984	1,021
0,051					1,032
0,052					1,042
0,053					1,052

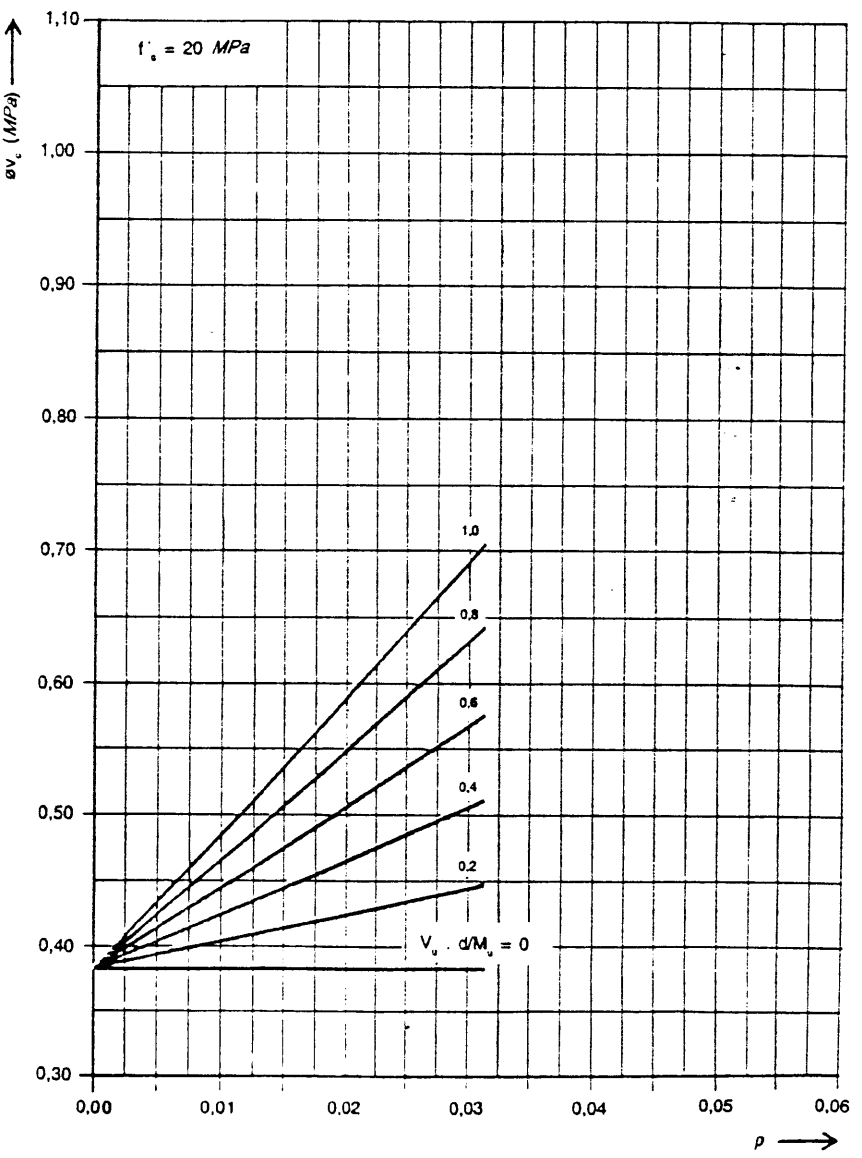
1. ϕv_c dalam satuan MPa

2. Faktor reduksi kekuatan $\phi = 0,60$ sudah termasuk dalam tabel ini

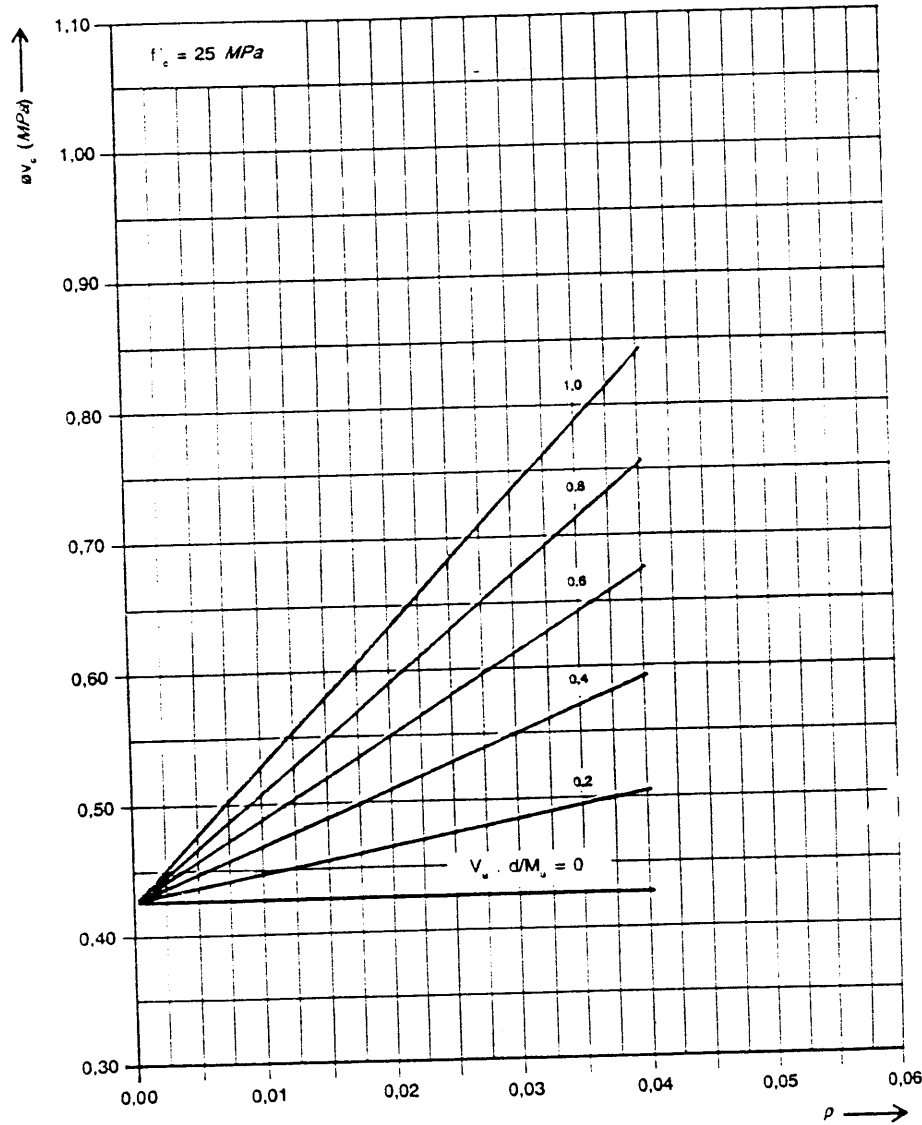
3. Nilai ϕv_c yang tidak tercantum lebih besar dari $\phi v_c \max = 0,1 \sqrt{f'_c}$ draft SKSNI T15-1991-03 Pasal 3.4.3.2.1



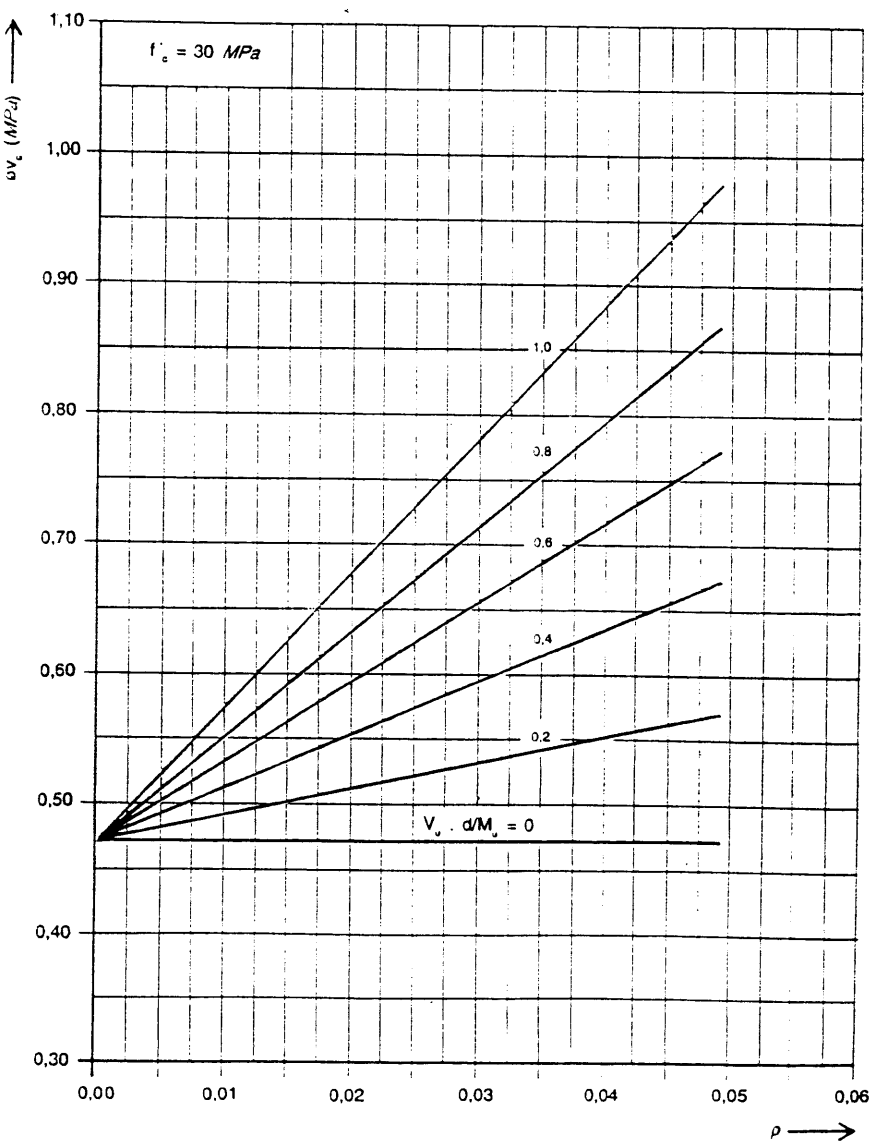
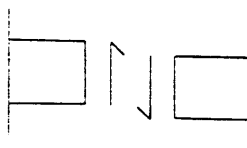
Gambar 8.3.a



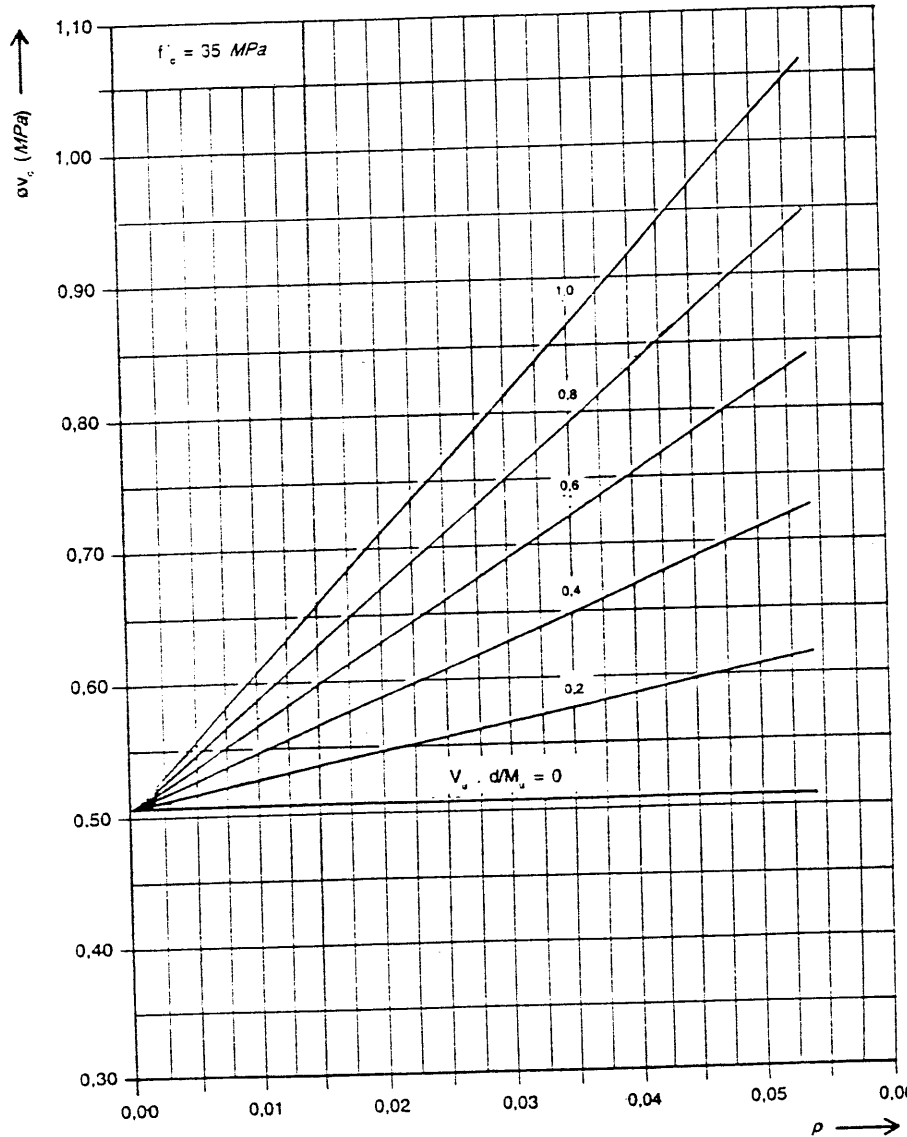
Gambar 8.3.b



Gambar 8.3.c



Gambar 8.3.d



Gambar 8.3.e

Tabel 8.4.a

σ_v , dalam MPa untuk $\phi = 0,6$

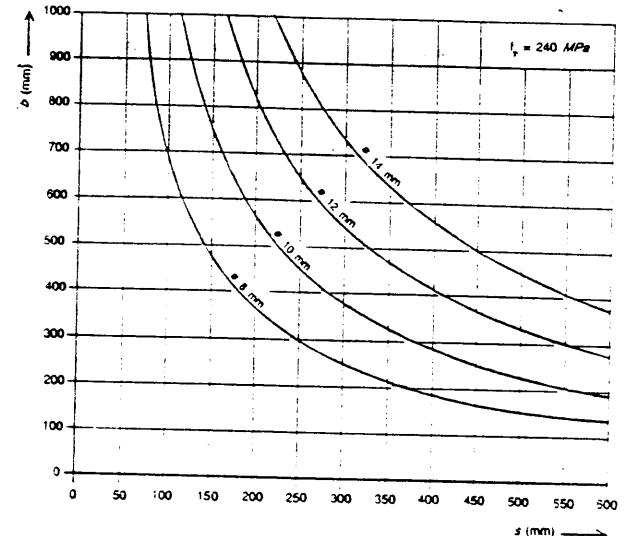
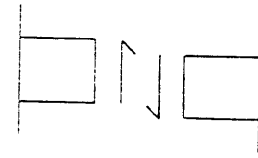
tulangan sengkang	$A_{wir_k} \text{ mm}^2$	$f_y = 240 \text{ MPa}$					$f_y = 400 \text{ MPa}$				
		$(v_u - \sigma v_c)_{\text{ratio-ratio}} = \sigma v_c \text{ (MPa)}$					$(v_u - \sigma v_c)_{\text{ratio-ratio}} = \sigma v_c \text{ (MPa)}$				
		$b \text{ dalam mm}$					$b \text{ dalam mm}$				
		250	300	350	400	500	250	300	350	400	500
ø8 - 50	2010	1,16	0,96	0,82	0,72	0,58	1,92	1,60	1,38	1,20	0,96
ø8 - 75	1340	0,78	0,64	0,56	0,48	0,38	1,28	1,08	0,92	0,80	0,64
ø8 - 100	1005	0,58	0,48	0,41	0,36	0,29	0,96	0,80	0,69	0,60	0,48
ø8 - 125	804	0,46	0,38	0,34	0,28	0,24	0,78	0,64	0,56	0,48	0,38
ø8 - 150	670	0,39	0,32	0,28	0,24	0,19	0,64	0,54	0,46	0,40	0,32
ø8 - 200	503	0,29	0,24	0,21	0,18	0,14	0,48	0,40	0,34	0,30	0,24
ø8 - 250	402	0,23	0,19	0,17	0,14	0,12	0,39	0,32	0,28	0,24	0,19
ø8 - 300	335	0,19	0,16	0,14	0,12	0,10	0,32	0,27	0,23	0,20	0,16
ø8 - 400	251	0,14	0,12	0,10	0,09	0,07	0,24	0,20	0,17	0,15	0,12
ø8 - 500	201	0,12	0,10	0,08	0,07	0,06	0,19	0,16	0,14	0,12	0,10
ø10 - 50	3130	1,80	1,50	1,30	1,14	0,90	-	-	2,16	1,88	1,50
ø10 - 75	2090	1,20	1,00	0,86	0,76	0,60	2,02	1,68	1,42	1,26	1,00
ø10 - 100	1570	0,90	0,75	0,65	0,57	0,45	1,51	1,26	1,08	0,94	0,75
ø10 - 125	1256	0,72	0,60	0,52	0,46	0,36	1,20	1,00	0,86	0,76	0,60
ø10 - 150	1047	0,60	0,50	0,43	0,38	0,30	1,01	0,84	0,71	0,63	0,50
ø10 - 200	785	0,45	0,38	0,32	0,28	0,23	0,75	0,63	0,54	0,47	0,38
ø10 - 250	628	0,36	0,30	0,26	0,23	0,18	0,60	0,50	0,43	0,38	0,30
ø10 - 300	524	0,30	0,25	0,22	0,19	0,15	0,50	0,42	0,36	0,31	0,25
ø10 - 400	393	0,23	0,19	0,16	0,14	0,11	0,38	0,31	0,27	0,24	0,19
ø10 - 500	314	0,18	0,15	0,13	0,11	0,09	0,30	0,25	0,22	0,19	0,15

Grafik dan Tabel Pertukungan Beton Bertulang

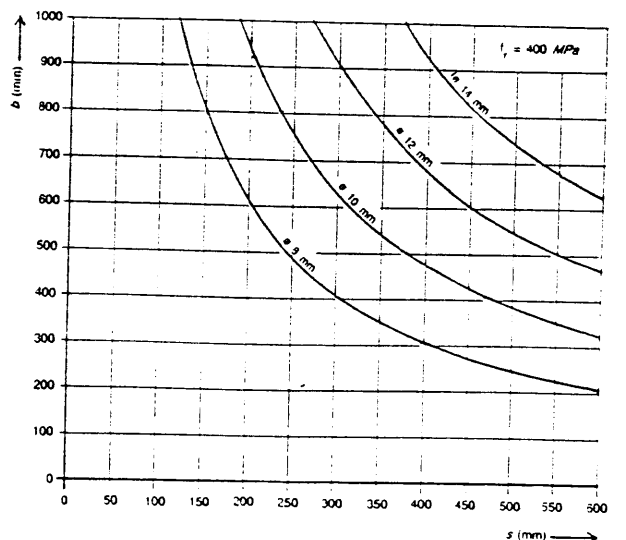
Tabel 8.4.b

ϕv_c dalam MPa untuk $\phi = 0.6$

tulangan sengkang	$A_{sengkang}$ mm ²	$f_y = 240$ MPa					$f_y = 400$ MPa				
		$(v_u - \phi v_c)_{satuan} = \phi v_c$ (MPa)					$(v_u - \phi v_c)_{satuan} = \phi v_c$ (MPa)				
		b dalam mm					b dalam mm				
		250	300	350	400	500	250	300	350	400	500
ø12 - 50	4524	-	2,18	1,86	1,62	1,30	-	-	-	2,70	2,18
ø12 - 75	3016	1,74	1,44	1,24	1,08	0,86	-	-	-	2,06	1,80
ø12 - 100	2262	1,30	1,09	0,93	0,81	0,65	2,17	1,81	1,55	1,35	1,09
ø12 - 125	1810	1,04	0,86	0,74	0,66	0,52	1,74	1,50	1,24	0,98	0,86
ø12 - 150	1508	0,87	0,72	0,62	0,54	0,43	1,45	1,21	1,03	0,90	0,72
ø12 - 200	1131	0,65	0,54	0,47	0,41	0,33	1,09	0,90	0,73	0,68	0,54
ø12 - 250	905	0,52	0,43	0,37	0,33	0,26	0,87	0,75	0,62	0,54	0,41
ø12 - 300	754	0,43	0,36	0,31	0,17	0,22	0,72	0,60	0,52	0,45	0,36
ø12 - 400	565	0,32	0,27	0,23	0,20	0,16	0,54	0,45	0,39	0,34	0,27
ø12 - 500	452	0,26	0,22	0,19	0,16	0,13	0,43	0,36	0,31	0,27	0,22
ø14 - 50	6156	-	-	-	2,22	1,77	-	-	-	-	-
ø14 - 75	4104	2,36	1,97	1,69	1,48	1,18	-	-	-	-	1,97
ø14 - 100	3078	1,77	1,48	1,27	1,11	0,89	-	-	-	2,11	1,85
ø14 - 125	2462	1,42	1,18	1,01	0,89	0,71	2,36	1,97	1,69	1,48	1,18
ø14 - 150	2052	1,18	0,98	0,84	0,74	0,59	1,97	1,64	1,41	1,23	0,98
ø14 - 200	1539	0,89	0,74	0,63	0,55	0,44	1,48	1,23	1,06	0,92	0,74
ø14 - 250	1232	0,71	0,59	0,51	0,44	0,35	1,23	1,02	0,88	0,77	0,62
ø14 - 300	1026	0,59	0,49	0,42	0,37	0,30	0,98	0,82	0,70	0,62	0,49
ø14 - 400	770	0,44	0,37	0,32	0,28	0,22	0,74	0,62	0,53	0,46	0,37
ø14 - 500	616	0,35	0,30	0,25	0,22	0,18	0,59	0,49	0,42	0,37	0,30



Gambar 8.5.a



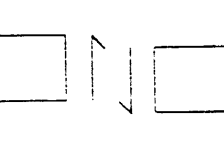
Gambar 8.5.b

Tabel 8.6.a

– Nilai kapasitas geser sengkang maksimum ϕV_i maks dalam kN

$f'_c = 15 \text{ MPa}$														
$d \setminus b$	100	150	200	250	300	350	400	450	500	600	700	800	900	1000
75	11,62	17,43	23,24	29,05	34,86	40,67	46,48	52,29	58,09	69,71	81,33	92,95	104,57	116,19
100	15,49	23,24	30,98	38,73	46,48	54,22	61,97	69,71	77,46	92,95	106,44	123,94	139,43	154,92
125	19,36	29,05	38,73	48,41	58,09	67,78	77,46	87,14	96,82	116,19	135,55	154,92	174,28	193,65
150	23,24	34,86	46,48	58,09	69,71	81,33	92,95	104,57	116,19	139,43	162,67	185,90	209,14	232,38
175	27,11	40,67	54,22	67,78	81,33	94,89	108,44	122,00	135,55	162,67	189,78	216,89	244,00	271,11
200	30,98	46,48	61,97	77,46	92,95	108,44	123,94	139,43	154,92	185,90	216,89	247,87	278,85	309,84
225	34,86	52,29	69,71	87,14	104,57	122,00	139,43	156,86	174,28	209,14	244,00	278,85	313,71	348,57
250	38,73	58,09	77,46	96,82	116,19	135,55	154,92	174,28	193,65	232,38	271,11	309,84	348,57	387,30
275	42,60	63,90	85,21	106,51	127,81	149,11	170,41	191,71	213,01	255,62	298,22	340,82	383,43	426,03
300	46,48	69,71	92,95	116,19	139,43	162,67	185,90	209,14	232,38	278,85	325,33	371,81	418,28	464,76
325	50,35	75,52	100,70	125,87	151,05	175,22	201,39	226,57	251,74	302,09	352,44	402,79	453,14	503,49
350	54,22	81,33	108,44	135,55	162,67	189,78	216,89	244,00	271,11	325,33	379,55	433,77	488,00	542,22
375	58,09	87,14	116,19	145,24	174,28	203,33	232,38	261,43	290,47	348,57	406,66	444,76	522,85	580,95
400	61,97	92,95	123,94	154,92	185,90	216,89	247,87	278,85	309,84	371,81	433,77	495,74	557,71	619,68
425	65,84	98,76	131,68	164,60	197,52	230,44	263,36	296,28	329,20	395,04	460,88	526,73	592,57	658,41
450	69,71	104,57	139,43	174,28	209,14	244,00	278,85	313,71	348,57	418,28	488,00	557,71	627,42	697,14
475	73,59	110,38	147,17	183,97	220,76	257,55	294,35	331,14	367,93	441,52	515,11	588,69	662,28	735,87
500	77,46	116,19	154,92	193,65	232,38	271,11	309,84	348,57	387,30	464,76	542,22	619,68	697,14	774,60
525	81,33	122,00	162,67	203,33	244,00	284,66	325,33	366,00	406,66	488,00	569,33	650,66	731,99	813,33
550	85,21	127,81	170,41	213,01	255,62	298,22	340,82	383,43	426,03	511,23	596,44	681,64	766,85	852,06
575	89,08	133,62	173,16	222,70	267,24	311,77	356,31	400,85	445,39	534,47	623,55	712,63	801,71	890,79
600	92,95	139,43	155,90	232,38	278,85	325,33	371,81	418,28	464,76	557,71	650,66	743,61	836,56	929,52
625	96,82	145,24	193,65	242,06	290,47	338,89	387,30	435,71	484,12	580,95	677,77	774,60	871,42	968,25
650	100,70	151,05	201,39	251,74	302,09	352,44	402,79	453,14	503,49	604,18	704,88	805,58	906,28	1006,97
675	104,57	156,86	209,14	261,43	313,71	366,00	418,28	470,57	522,85	627,42	731,99	836,56	941,13	1045,70
700	108,44	162,67	216,89	271,11	325,33	379,55	433,77	488,00	542,22	650,66	759,10	867,55	975,99	1084,43
725	112,32	168,47	224,63	280,79	336,95	393,11	449,27	505,42	561,58	673,90	786,21	898,53	1010,85	1123,16
750	116,19	174,28	232,38	290,47	348,57	406,66	464,76	522,85	580,95	697,14	813,33	929,52	1045,70	1161,89
775	120,06	180,09	240,12	300,16	360,19	420,22	480,25	540,28	600,31	720,37	840,44	960,50	1080,56	1200,62
800	123,94	185,90	247,87	309,84	371,31	433,77	495,74	557,71	619,68	743,61	867,55	991,48	1115,42	1239,35
825	127,81	191,71	255,62	319,52	383,43	447,33	511,23	575,14	639,04	766,85	894,66	1022,47	1150,28	1278,08
850	131,68	197,52	263,36	329,20	395,04	460,88	526,73	592,57	658,41	790,09	921,77	1053,45	1185,13	1316,81
875	135,55	203,33	271,11	338,89	406,66	474,44	542,22	609,99	677,77	813,33	948,88	1084,43	1219,99	1355,54
900	139,43	209,14	278,85	348,57	418,28	488,00	557,71	627,42	697,14	836,56	975,99	1115,42	1254,35	1394,27
925	143,30	214,95	286,60	358,25	429,90	501,55	573,20	644,85	716,50	859,80	1003,10	1146,40	1289,70	1433,00
950	147,17	220,76	294,35	367,93	441,52	515,11	588,69	662,28	735,87	883,04	1030,21	1177,39	1324,56	1471,73
975	151,05	226,57	302,09	377,62	453,14	528,66	604,18	679,71	755,23	906,28	1057,32	1208,37	1359,42	1510,46
1000	154,92	232,38	309,84	387,30	464,76	542,22	619,68	697,14	774,60	929,52	1084,43	1239,35	1394,27	1549,19
1025	158,79	238,19	317,58	396,98	476,38	555,77	635,17	714,56	793,96	952,75	1111,55	1270,34	1429,13	1587,92
1050	162,67	244,00	325,33	406,66	488,00	569,33	650,66	731,99	813,33	975,99	1138,66	1301,32	1463,99	1626,65
1075	166,54	249,81	333,08	416,35	499,61	582,88	666,15	749,42	832,69	999,23	1165,77	1332,31	1498,84	1665,38
1100	170,41	255,62	340,82	426,03	511,23	596,44	681,64	766,85	852,06	1022,47	1192,88	1363,29	1533,70	1704,11

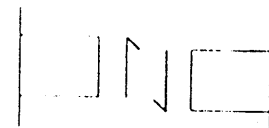
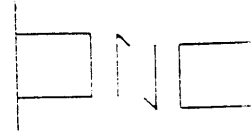
Catatan : lebar balok b dan tinggi efektif balok d dalam satuan m



Tabel 8.6.b

– Nilai kapasitas geser sengkang maksimum ϕV_i maks dalam kN

$f'_c = 20 \text{ MPa}$														
$d \setminus b$	100	150	200	250	300	350	400	450	500	600	700	800	900	1000
75	13,42	20,12	26,83	33,54	40,25	46,96	53,67	60,37	67,08	80,50	93,91	107,33	120,75	134,16
100	17,89	26,83	35,78	44,72	53,67	62,61	71,55	80,50	89,44	107,33	125,22	143,11	161,00	178,89
125	22,36	33,54	44,72	55,90	67,08	78,26	89,44	100,62	111,80	134,16	156,52	173,89	201,25	223,61
150	26,83	40,25	53,67	67,08	80,50	93,91	107,33	120,75	134,16	161,00	187,83	214,66	241,50	268,33
175	31,30	46,96	62,61	78,26	93,91	109,57	125,22	140,87	156,52	187,83	219,13	250,44	286,22	321,99
200	35,78	53,67	71,55	89,44	107,33	125,22	143,11	161,00	178,89	214,66	241,50	271,38	301,87	337,77
225	40,25	60,37	80,50	100,62	120,75	140,87	161,00	181,12	201,25	232,61	263,49	293,73	323,24	362,24
250	44,72	67,08	89,44	111,80	134,16	156,52	178,89	201,25	223,61	268,33	313,05	357,77	402,49	447,21
275	49,19	73,79	98,39	122,98	147,58	172,18	196,77	221,37	245,97	295,16	344,35	393,55	442,74	491,94
300	53,67	80,50	107,33	134,16	161,00	187,83	214,66	241,50	271,38	313,05	375,66	438,27	500,88	563,49
325	58,14	87,21	116,28	145,34	174,41	203,48	232,55	261,62	290,69	321,99	375,66	437,40	507,40	567,40
350	62,61	93,91	125,22	156,52	187,83	219,13	250,44	281,74	313,05	375,66	429,33	482,99	543,49	603,99
375	67,08	100,62	134,16	167,71	201,25	234,79	268,33	301,87	335,41	390,29	457,77	515,54	580,88	649,71
400	71,55	107,33	143,11	178,89	214,66	250,44	286,22	321,99	357,77	409,33	460,88	523,24	584,43	670,82
425	76,03	114,04	152,05	190,07	228,08	266,09	304,11	342,12	380,13	456,16	532,18	608,21	684,24	715,54
450	80,50	120,7												



Tabel 8.6.c

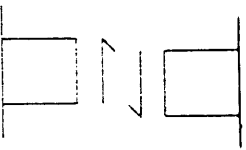
- Nilai kapasitas geser sengkang maksimum ϕV_s maks dalam kN

$f'_c = 25 \text{ MPa}$														
b	100	150	200	250	300	350	400	450	500	600	700	800	900	1000
75	15,00	22,50	30,00	37,50	45,00	52,50	60,00	67,50	75,00	90,00	105,00	120,00	135,00	150,00
100	20,00	30,00	40,00	50,00	60,00	70,00	80,00	90,00	100,00	120,00	140,00	160,00	180,00	200,00
125	25,00	37,50	50,00	62,50	75,00	87,50	100,00	112,50	125,00	150,00	175,00	200,00	225,00	250,00
150	30,00	45,00	60,00	75,00	90,00	105,00	120,00	135,00	150,00	180,00	210,00	240,00	270,00	300,00
175	35,00	52,50	70,00	87,50	105,00	122,50	140,00	157,50	175,00	210,00	245,00	280,00	315,00	350,00
200	40,00	60,00	80,00	100,00	120,00	140,00	160,00	180,00	200,00	240,00	280,00	320,00	360,00	400,00
225	45,00	67,50	90,00	112,50	135,00	157,50	180,00	202,50	225,00	270,00	315,00	360,00	405,00	450,00
250	50,00	75,00	100,00	125,00	150,00	175,00	200,00	225,00	250,00	300,00	350,00	400,00	450,00	500,00
275	55,00	82,50	110,00	137,50	165,00	192,50	220,00	247,50	275,00	330,00	385,00	440,00	495,00	550,00
300	60,00	90,00	120,00	150,00	180,00	210,00	240,00	270,00	300,00	360,00	420,00	480,00	540,00	600,00
325	65,00	97,50	130,00	162,50	195,00	227,50	260,00	292,50	325,00	390,00	455,00	520,00	585,00	650,00
350	70,00	105,00	140,00	175,00	210,00	245,00	280,00	315,00	350,00	420,00	490,00	560,00	630,00	700,00
375	75,00	112,50	150,00	187,50	235,00	262,50	300,00	337,50	375,00	450,00	525,00	600,00	675,00	750,00
400	80,00	120,00	160,00	200,00	240,00	280,00	320,00	360,00	400,00	480,00	560,00	640,00	720,00	800,00
425	85,00	127,50	170,00	212,50	255,00	297,50	340,00	382,50	425,00	510,00	595,00	680,00	765,00	850,00
450	90,00	135,00	180,00	225,00	270,00	315,00	360,00	405,00	450,00	540,00	630,00	720,00	810,00	900,00
475	95,00	142,50	190,00	237,50	285,00	332,50	380,00	427,50	475,00	570,00	665,00	760,00	855,00	950,00
500	100,00	150,00	200,00	250,00	300,00	350,00	400,00	450,00	500,00	600,00	700,00	800,00	900,00	1000,00
525	105,00	157,50	210,00	262,50	315,00	367,50	420,00	472,50	525,00	630,00	735,00	840,00	945,00	1050,00
550	110,00	165,00	220,00	275,00	330,00	385,00	440,00	495,00	550,00	660,00	770,00	880,00	990,00	1100,00
575	115,00	172,50	230,00	287,50	345,00	402,50	460,00	517,50	575,00	690,00	805,00	920,00	1035,00	1150,00
600	120,00	180,00	240,00	300,00	360,00	420,00	480,00	540,00	600,00	720,00	840,00	960,00	1080,00	1200,00
625	125,00	187,50	250,00	312,50	375,00	437,50	500,00	562,50	625,00	750,00	875,00	1000,00	1125,00	1250,00
650	130,00	195,00	260,00	325,00	390,00	455,00	520,00	585,00	650,00	780,00	910,00	1040,00	1170,00	1300,00
675	135,00	202,50	270,00	337,50	405,00	472,50	540,00	607,50	675,00	810,00	945,00	1080,00	1215,00	1350,00
700	140,00	210,00	280,00	350,00	420,00	490,00	560,00	630,00	700,00	840,00	980,00	1120,00	1260,00	1400,00
725	145,00	217,50	290,00	362,50	435,00	507,50	580,00	652,50	725,00	870,00	1015,00	1160,00	1305,00	1450,00
750	150,00	225,00	300,00	375,00	450,00	525,00	600,00	675,00	750,00	900,00	1050,00	1200,00	1350,00	1500,00
775	155,00	232,50	310,00	387,50	465,00	542,50	620,00	697,50	775,00	930,00	1085,00	1240,00	1395,00	1550,00
800	160,00	240,00	320,00	400,00	480,00	560,00	640,00	720,00	800,00	960,00	1120,00	1280,00	1440,00	1600,00
825	165,00	247,50	330,00	412,50	495,00	577,50	660,00	742,50	825,00	990,00	1155,00	1320,00	1485,00	1650,00
850	170,00	255,00	340,00	425,00	510,00	595,00	680,00	765,00	850,00	1020,00	1190,00	1360,00	1530,00	1700,00
875	175,00	262,50	350,00	437,50	525,00	612,50	700,00	787,50	875,00	1050,00	1225,00	1400,00	1575,00	1750,00
900	180,00	270,00	360,00	450,00	540,00	630,00	720,00	810,00	900,00	1080,00	1260,00	1440,00	1620,00	1800,00
925	185,00	277,50	370,00	462,50	555,00	647,50	740,00	832,50	925,00	1110,00	1295,00	1480,00	1665,00	1850,00
950	190,00	285,00	380,00	475,00	570,00	665,00	760,00	855,00	950,00	1140,00	1330,00	1520,00	1710,00	1900,00
975	195,00	292,50	390,00	487,50	585,00	682,50	780,00	877,50	975,00	1170,00	1365,00	1560,00	1755,00	1950,00
1000	200,00	300,00	400,00	500,00	600,00	700,00	800,00	900,00	1000,00	1200,00	1400,00	1600,00	1800,00	2000,00
1025	205,00	307,50	410,00	512,50	615,00	717,50	820,00	922,50	1025,00	1230,00	1435,00	1640,00	1845,00	2050,00
1050	210,00	315,00	420,00	525,00	630,00	735,00	840,00	945,00	1050,00	1260,00	1470,00	1680,00	1890,00	2100,00
1075	215,00	322,50	430,00	537,50	645,00	752,50	860,00	967,50	1075,00	1290,00	1505,00	1720,00	1935,00	2150,00
1100	220,00	330,00	440,00	550,00	660,00	770,00	880,00	990,00	1100,00	1320,00	1540,00	1760,00	1980,00	2200,00

Tabel 8.6.d

- Nilai kapasitas geser sengkang maksimum ϕV_s maks dalam kN

$f'_c = 30 \text{ MPa}$														
b	100	150	200	250	300	350	400	450	500	600	700	800	900	1000
75	16,43	24,65	32,86	41,08	49,30	57,51	65,73	73,94	82,16	98,59	115,02	131,45	147,89	164,32
100	21,91	32,86	43,82	54,77	65,73	76,68	87,64	98,59	109,54	131,45	153,36	175,27	197,18	219,09
125	27,39	41,08	54,77	68,47	82,16	98,59	115,02	131,45	147,89	164,32	191,70	219,09	246,48	273,86
150	32,86	49,30	65,73	82,16	98,59	115,02	131,45	147,89	164,32	191,70	219,09	246,48	273,86	304,00
175	38,34	57,51	76,68	95,85	115,02	134,19	153,36	172,53	191,70	230,04	268,38	306,72	345,07	383,41
200	43,82	65,73	87,64	109,54	131,45	153,36	175,27	197,18	219,09	262,91	306,72	345,07	383,41	421,75
225	49,30	73,94	98,59	123,24	147,89	172,53	197,18	219,09	246,48	287,55	328,63	368,31	408,30	448,25
250	54,77	82,16	109,54	136,93	164,32	191,70	219,09	246,48	287,55	328,63	368,31	408,30	448,25	487,72
275	60,25	90,37	120,50	150,62	180,75	210,87	241,00	271,12	301,25	361,50	421,75	482,00	542,25	602,50
300	65,73	98,59	131,45	164,32	197,18	230,04	262,91	295,77	328,63	394,36	460,09	525,81	591,54	657,27
325	71,20	106,81	142,41	178,01	213,61	249,21	284,82	320,42	356,02	427,22	498,43	567,03	640,84	712,04
350	76,68	115,02	153,36	191,70	230,04	268,38	306,72	345,07	383,41	460,09	532,94	602,50	673,77	743,43
375	82,16	123,24	164,32	205,40	246,48	287,55	328,63	368,31	408,30	448,25	518,56	588,68	658,82	728,47
400	87,64	131,45	175,27	219,09	262,91	306,72	350,54	394,36	438,18	504,45	574,82	641,55	712,04	782,47
425	93,11	139,67	186,23	232,78	279,34	325,99	372,45	427,22	479,26	541,75	612,19	684,65	752,51	821,58
45														



Tabel 8.6.e

Nilai kapasitas geser sengkang maksimum ϕV_s maks dalam kN

b	$f'_c = 35 \text{ MPa}$													
	100	150	200	250	300	350	400	450	500	600	700	800	900	1000
75	17,75	26,62	35,50	44,37	53,24	62,12	70,99	79,87	88,74	106,49	124,24	141,99	159,73	177,48
100	23,66	35,50	47,33	59,16	70,99	82,83	94,66	106,49	118,32	141,99	165,65	189,31	212,98	236,64
125	29,58	44,37	59,16	73,95	88,74	103,53	118,32	133,11	147,90	177,48	207,06	236,64	266,22	295,80
150	35,50	53,24	70,99	88,74	106,49	124,24	141,99	159,73	177,48	212,98	248,48	283,97	319,47	354,96
175	41,41	62,12	82,83	103,53	124,24	144,94	165,65	186,36	207,06	248,48	289,89	331,30	372,71	414,13
200	47,33	70,99	94,66	118,32	141,99	165,65	189,31	212,98	236,64	283,97	331,30	378,63	425,96	473,29
225	53,24	79,87	106,49	133,11	159,73	186,36	212,98	239,60	266,22	319,47	372,71	425,96	479,20	532,45
250	59,16	88,74	118,32	147,90	177,48	207,06	236,64	266,22	295,80	354,96	414,13	473,29	532,45	591,61
275	65,08	97,62	130,15	162,69	195,23	227,77	260,31	302,85	325,38	390,46	455,54	520,62	585,69	650,77
300	70,99	106,49	141,99	177,48	212,98	248,48	283,97	319,47	354,96	425,96	496,95	567,94	638,94	709,93
325	76,91	115,36	153,82	192,27	230,73	269,18	307,64	346,09	384,55	461,45	538,36	615,27	692,18	769,09
350	82,83	124,24	165,65	207,06	248,48	289,89	331,30	372,71	414,13	496,95	579,78	662,50	745,43	828,29
375	88,74	133,11	177,48	221,85	266,22	310,59	354,96	399,34	443,71	532,45	621,19	709,93	798,67	887,41
400	94,66	141,99	189,31	236,64	283,97	331,30	378,63	425,96	473,29	567,94	662,60	757,26	851,92	946,57
425	100,57	150,36	201,15	251,43	301,72	352,01	402,29	452,58	502,87	603,44	704,01	804,59	905,16	1005,73
450	106,49	159,73	212,98	266,22	319,47	372,71	425,96	479,20	532,45	638,94	745,43	851,92	958,40	1064,89
475	112,41	168,61	224,81	281,01	337,22	393,42	449,62	505,82	562,03	674,43	786,84	899,24	1011,65	1124,06
500	118,32	177,48	236,64	295,80	354,96	414,13	473,29	532,45	591,61	709,93	828,25	946,57	1064,89	1183,22
525	124,24	186,36	248,48	310,59	372,71	434,83	496,95	559,07	621,19	745,43	869,66	993,90	1118,14	1242,38
550	130,15	195,23	260,31	325,38	390,46	455,54	520,62	585,69	650,77	780,92	911,08	1041,23	1171,38	1301,54
575	136,07	204,10	272,14	340,17	408,21	476,24	544,23	612,31	680,35	816,42	952,49	1088,56	1224,63	1360,70
600	141,99	212,98	283,97	354,96	425,96	496,95	567,94	638,94	709,93	851,92	993,90	1135,39	1277,87	1419,86
625	147,90	221,85	295,80	369,75	443,71	517,66	591,61	665,56	739,51	887,41	1035,31	1183,22	1331,12	1479,02
650	153,82	230,73	307,64	384,55	461,45	538,36	615,27	692,18	769,09	922,91	1076,73	1230,54	1384,36	1538,18
675	159,73	239,60	319,47	399,34	479,20	559,07	638,94	718,80	798,67	958,40	1118,14	1277,87	1437,61	1597,34
700	165,65	248,48	331,30	414,13	496,95	579,78	662,60	745,43	828,25	993,90	1159,55	1325,20	1490,85	1656,50
725	171,57	257,35	343,13	428,92	514,70	600,48	686,27	772,05	857,83	1029,40	1200,96	1372,53	1544,10	1715,66
750	177,48	266,22	354,96	443,71	532,45	621,19	709,93	798,67	887,41	1064,89	1242,38	1419,86	1597,34	1774,82
775	183,40	275,10	366,30	458,50	550,20	641,89	733,59	825,29	916,99	1100,39	1283,79	1467,19	1650,59	1833,98
800	189,31	283,97	378,63	473,29	567,94	662,60	757,26	851,92	946,57	1135,89	1325,20	1514,52	1703,83	1893,15
825	195,23	292,85	390,46	488,08	585,69	683,31	780,92	878,54	976,15	1171,38	1366,61	1561,35	1757,08	1952,31
850	201,15	301,72	402,29	502,87	603,44	704,01	804,59	905,16	1005,73	1206,38	1408,03	1609,17	1810,32	2011,47
875	207,06	310,59	414,13	517,66	621,19	724,72	828,25	931,78	1035,31	1242,38	1449,44	1656,50	1863,57	2070,63
900	212,98	319,47	425,96	532,45	638,94	745,43	851,92	958,40	1064,89	1277,87	1490,85	1703,33	1916,81	2129,79
925	218,89	328,34	437,79	547,24	656,68	766,13	875,58	985,03	1094,47	1313,37	1532,26	1751,16	1970,05	2188,95
950	224,81	337,22	449,62	562,03	674,43	786,84	899,24	1011,65	1124,06	1348,87	1573,68	1798,49	2023,30	2248,11
975	230,73	346,09	461,45	576,82	692,18	807,54	922,91	1038,27	1153,64	1384,36	1615,09	1845,32	2076,54	2307,27
1000	236,64	354,96	473,29	591,61	709,93	828,25	946,57	1064,89	1183,22	1419,86	1656,50	1893,15	2129,79	2366,43
1025	242,56	363,84	485,12	606,40	727,68	848,96	970,24	1091,52	1212,80	1455,36	1697,91	1940,47	2183,03	2425,59
1050	248,48	372,71	496,95	621,19	745,43	869,66	993,90	1118,14	1242,38	1490,85	1739,33	1987,30	2236,28	2484,73
1075	254,39	381,59	508,78	635,98	763,17	890,37	1017,57	1144,76	1271,96	1526,35	1780,74	2035,13	2289,52	2543,91
1100	260,31	390,46	520,62	650,77	780,92	911,08	1041,23	1171,38	1301,54	1561,85	1822,15	2082,46	2342,77	2603,08

Catatan : lebar balok b dan tinggi efektif balok d dalam satuan m

BAB Lendutan

9

9.1 LENDUTAN

Syarat-syarat kelangsungan

9.1.a Tebal minimum h

Komponen	Δ		$\Delta - \Delta'$		$\Delta - \Delta' - S$		$\frac{f}{f_c}$
	f_c	f_c	f_c	f_c	f_c	f_c	
	400	240	400	240	400	240	400
pelat mendukung dalam satu arah	$\frac{1}{20}$	$\frac{1}{27}$	$\frac{1}{24}$	$\frac{1}{32}$	$\frac{1}{28}$	$\frac{1}{37}$	$\frac{1}{10}$
Balok atau lantai berrusuk mendukung dalam satu arah	$\frac{1}{16}$	$\frac{1}{21}$	$\frac{1}{18.5}$	$\frac{1}{24.5}$	$\frac{1}{21}$	$\frac{1}{28}$	$\frac{1}{3}$

Tebal minimal yang diberikan pada tabel di atas dapat pula diterapkan untuk lantai yang keempat sisinya didukung dinding atau balok yang kaku. Sebagai bentang l dapat ditetapkan bentang yang paling pendek.

Bila syarat-syarat dalam tabel di atas memadai, maka dapat dianggap memenuhi ketentuan lendutan maksimum tabel berikut.

9.1.b Lendutan Ijin Maksimum

Tipe komponen struktur	Lendutan yang diperhitungkan	Batas Lendutan
Atap datar tidak menahan atau berhubungan dengan komponen nonstruktural yang mungkin akan rusak akibat lendutan yang besar	Lendutan akibat beban hidup L	$\frac{1}{180}$
Lantai tidak menahan atau berhubungan dengan komponen nonstruktural yang mungkin rusak akibat lendutan yang besar	Lendutan akibat beban hidup L	$\frac{1}{360}$
Konstruksi atap atau lantai yang menahan atau berhubungan dengan komponen nonstruktural yang mungkin rusak akibat lendutan yang besar	Bagian dari lendutan total yang terjadi setelah pemasangan komponen nonstruktural (jumlah dari lendutan jangka panjang akibat semua beban yang bekerja dan lendutan seketika yang terjadi akibat penambahan sembarang beban hidup)	$\frac{1}{480}$
Konstruksi atap atau lantai yang menahan atau berhubungan dengan komponen nonstruktural yang mungkin tidak rusak akibat lendutan yang besar		$\frac{1}{240}$

9.2 PENJELASAN

Menghitung lendutan dari pelat masif persegi yang dibebani dengan beban terbagi rata (distribusi) tabel-tabel dan grafik.

Lendutan dihitung dengan:

$$\delta = C \frac{M l^2}{EI} \text{ atau } \delta = C \frac{w l^4}{EI}$$

Dalam persamaan ini C adalah suatu faktor yang tergantung pada poia pembebanan dan syarat-syarat batas dari pelat (lihat Tabel 1.1.a – 1.1.d)

Untuk EI dapat dianggap sebagai: $EI = E'_b I_{av}$

Untuk lendutan yang seketika terjadi: $E'_b = E'_{bo} = 4700 \sqrt{f_c}$

Tabel untuk E'_{bo} dapat dilihat pada

Untuk lendutan yang terjadi setelah 2 tahun atau lebih:

$$E'_b = E'_{bo} \frac{1 + 50 \rho'}{2} E'_{bo}$$

dengan ρ' adalah rasio tulangan dari tulangan tekan.

I_{av} adalah momen enerzia rata-rata pelat dalam arah memanjang.

Dengan demikian boleh ditetapkan

$$I_{av} = I_{el}$$

$$I_{av} = \frac{1}{4} I_{el} + \frac{1}{4} I_{ct}$$

$$I_{av} = \frac{1}{2} I_{el} + \frac{1}{4} (I_{el} + I_{cta})$$

$$I_e = \left(\frac{M_{cr}}{M_s} \right)^3 I_s + \left[1 - \left(\frac{M_{cr}}{M_s} \right)^3 \right] I_{cr}$$

Dengan:

$$I_s = \frac{1}{12} b h^3$$

$$M_{cr} = \frac{1}{6} b h^2 \cdot f_r; f_r = 0.7 \sqrt{f_c}$$

Tabel untuk f_c lihat Tabel 9.2

$$I_{cl} = C_4 \frac{1}{12} b h^3 \quad \text{untuk pelat dengan } d' = d''$$

$$C_4 = \left(\frac{1}{1 + \frac{d'}{d}} \right)^3 \left[12 n \rho \left\{ (1 - k)^2 + r \left(k - \frac{d'}{d} \right)^2 \right\} + 4k^3 \right]$$

$$k = \sqrt{\{n \rho (1 + r)\}^2 + 2 n \rho (1 + r) \frac{d'}{d} - n \rho (1 + r)}$$

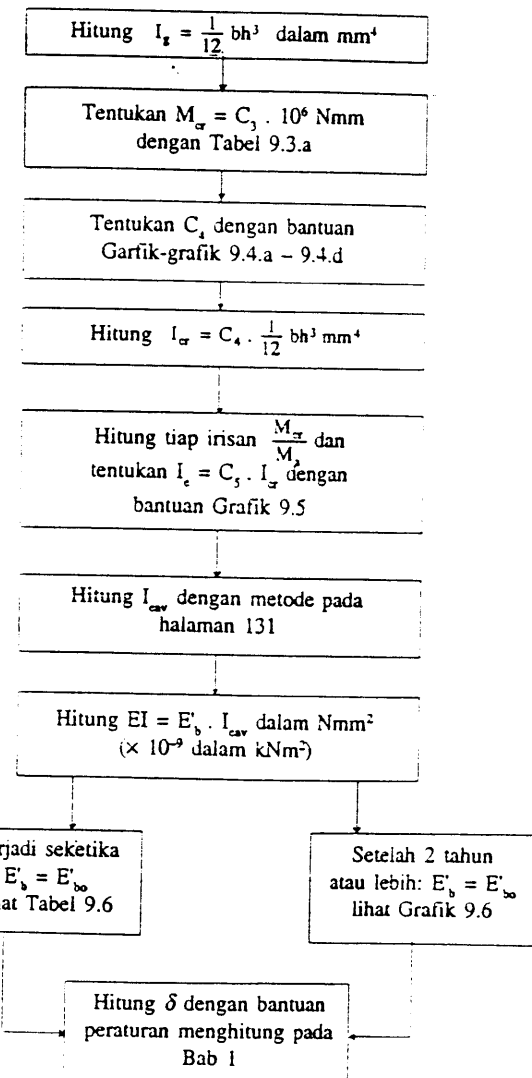
$$r = \frac{\rho'}{\rho}$$

M_{α} adalah perbandingan antara momen retak dan momen yang terjadi pada pembebaan dimana lendutan M_{cr} ditentukan, pada penampang yang ditinjau.

9.2 Tabel untuk E'_{bo} dan f_t

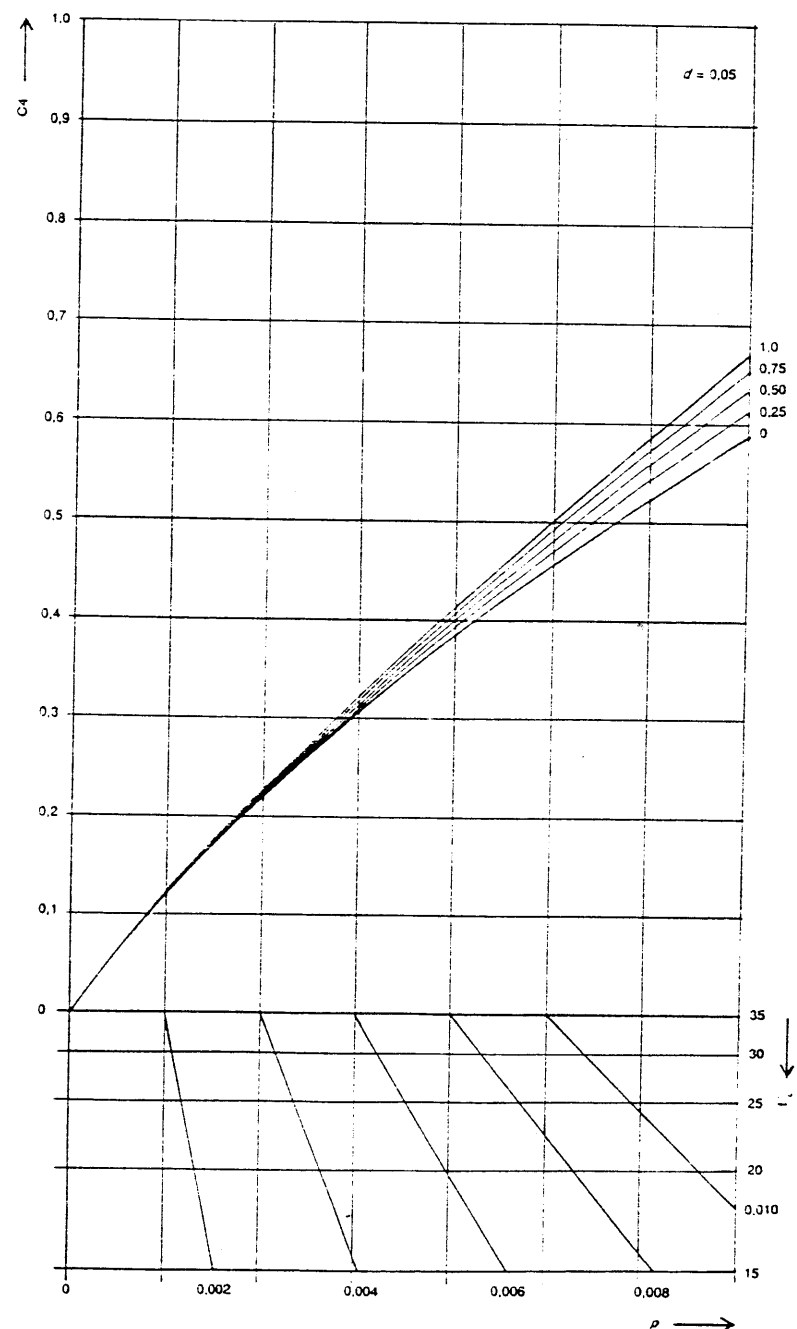
Mutu beton MPa	E'_{bo} N/mm ²	f_t N/mm ²
15	18200	2,7
20	21020	3,1
25	23500	3,5
30	25740	3,8
35	27810	4,1

Diagram alir untuk menghitung lendutan dari pelat masif

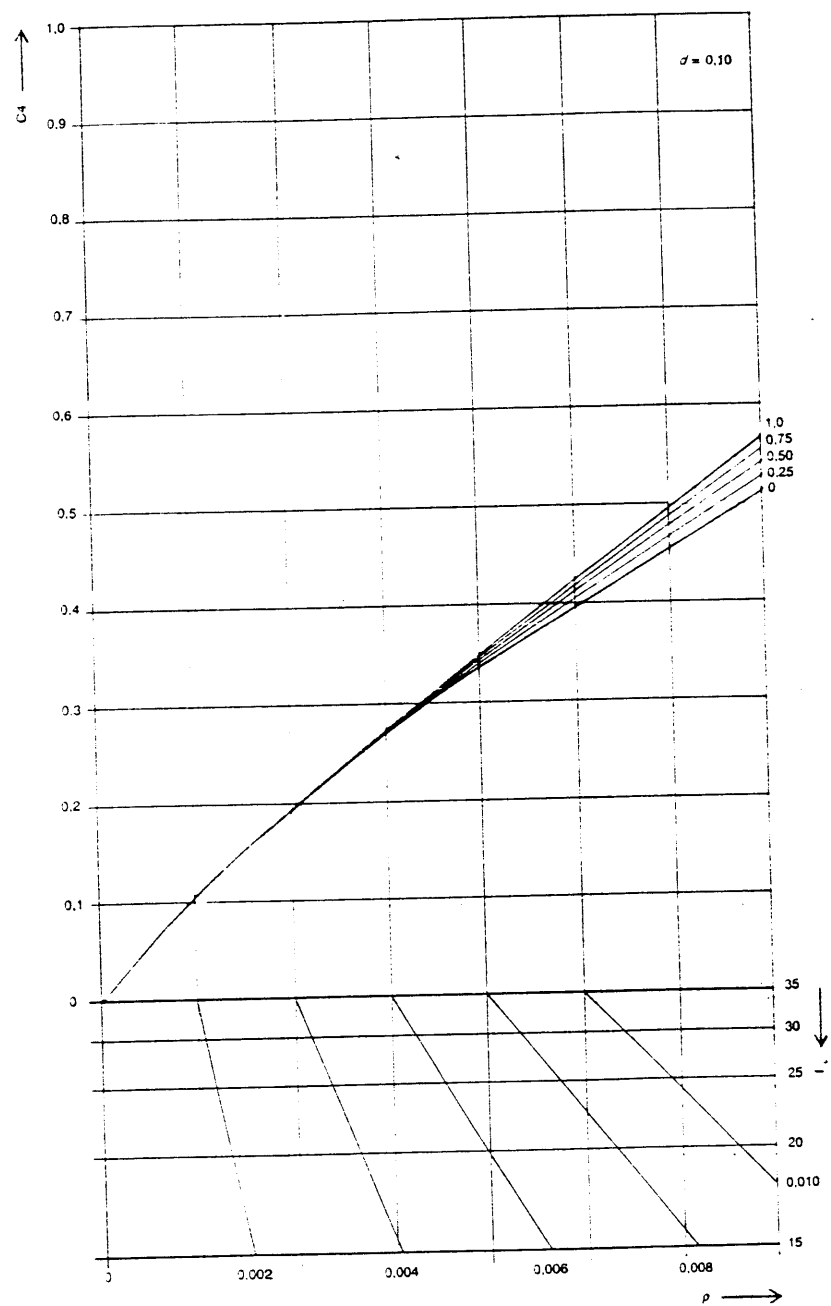


a. Tabel untuk menentukan $M_{cr} = C_3 \cdot 10^6 \text{ Nmm}$

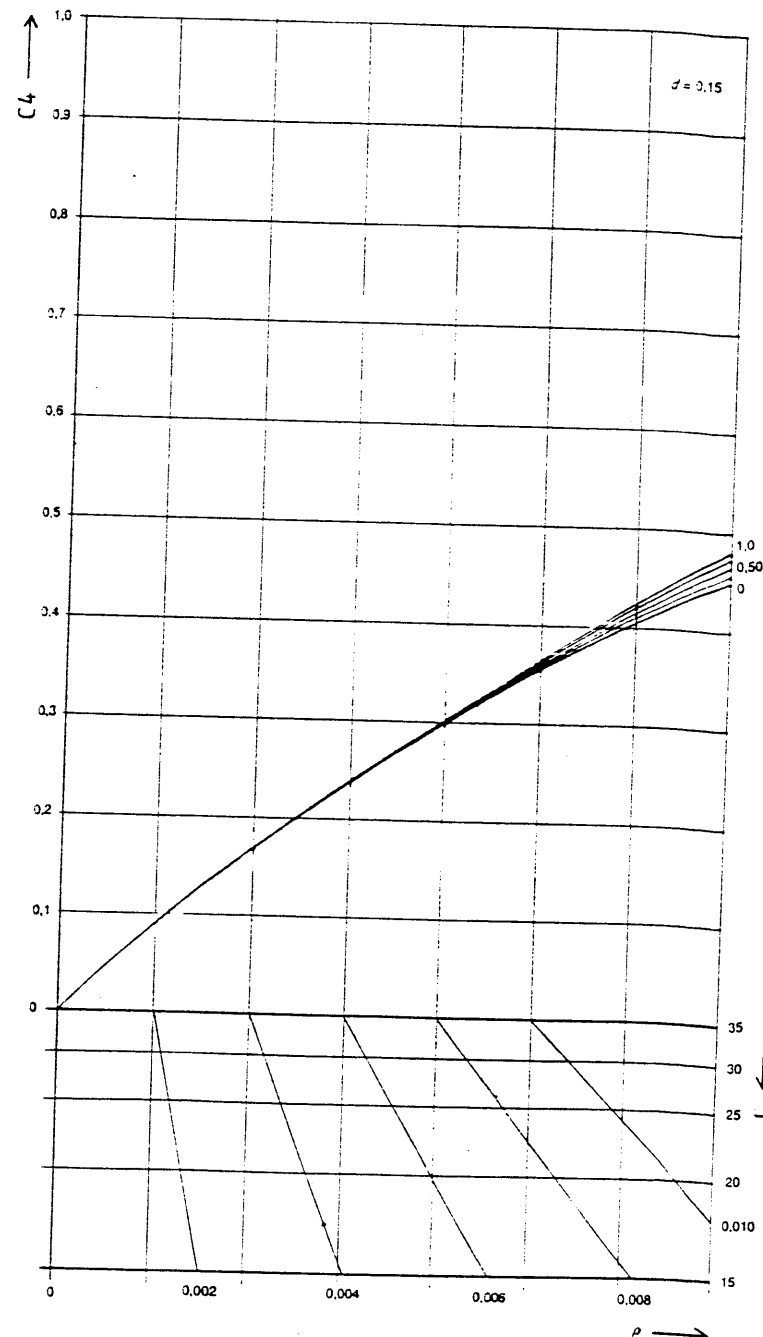
h dalam mm	f'_c dalam MPa				
	15	20	25	30	35
100	4,52	5,22	5,83	6,39	6,90
120	6,51	7,51	8,40	9,20	9,94
140	8,86	10,23	11,43	12,52	13,53
150	10,17	11,74	13,12	14,38	15,53
160	11,57	13,36	14,93	16,36	17,67
170	14,64	16,91	18,90	20,70	22,36
200	18,07	20,87	23,33	30,93	33,41
220	26,03	30,05	33,60	36,01	39,76
240	26,03	30,05	33,60	36,01	39,76
250	28,24	32,61	35,46	39,94	43,14
260	30,54	35,27	39,43	43,20	46,66
280	35,42	40,91	45,73	50,10	54,11
300	40,67	46,96	52,50	57,51	62,12
350	55,35	63,91	71,46	78,28	84,55
400	72,30	83,48	93,33	102,24	110,43
450	91,50	105,65	118,12	129,40	139,77
500	112,96	130,44	145,83	159,75	172,55



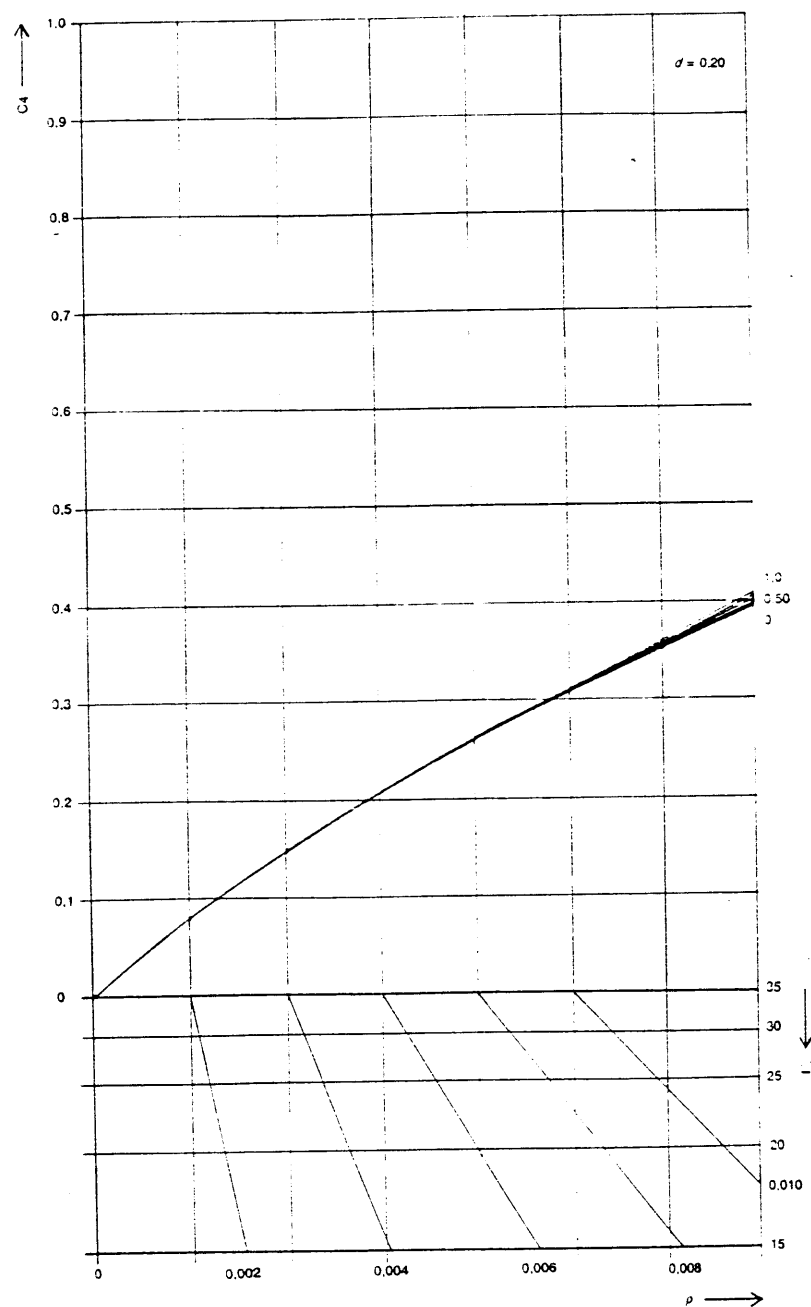
Gambar 9.4.a



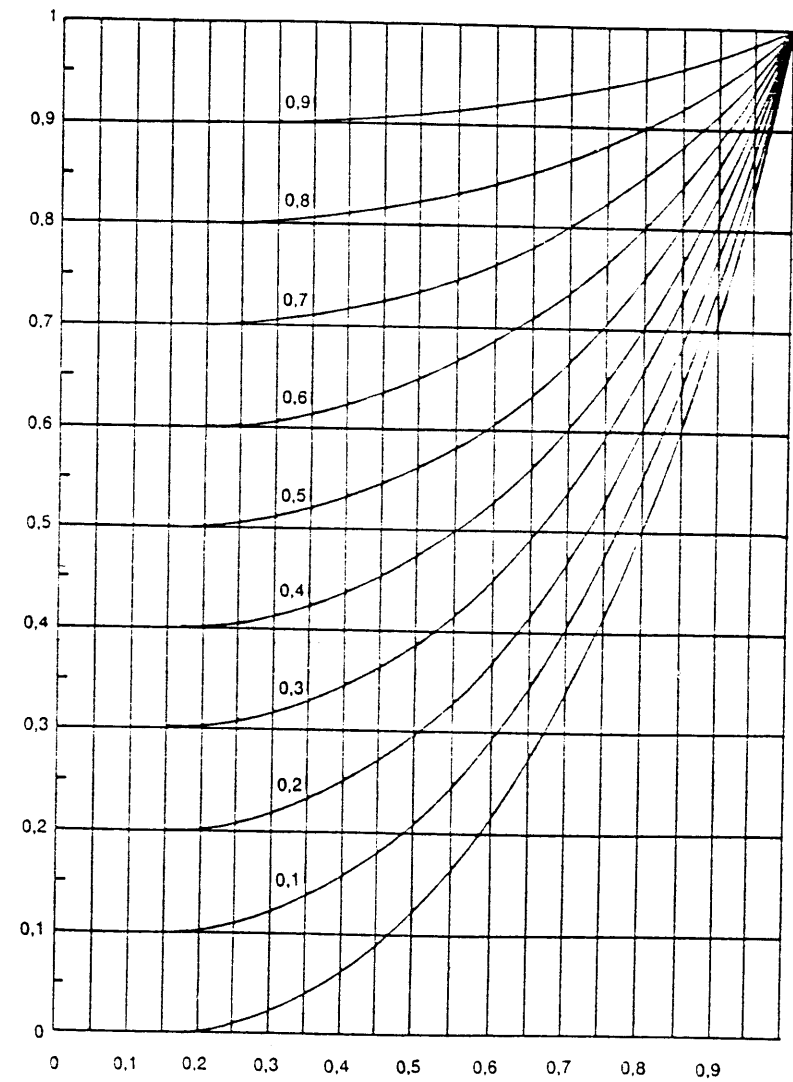
Gambar 9.4.b



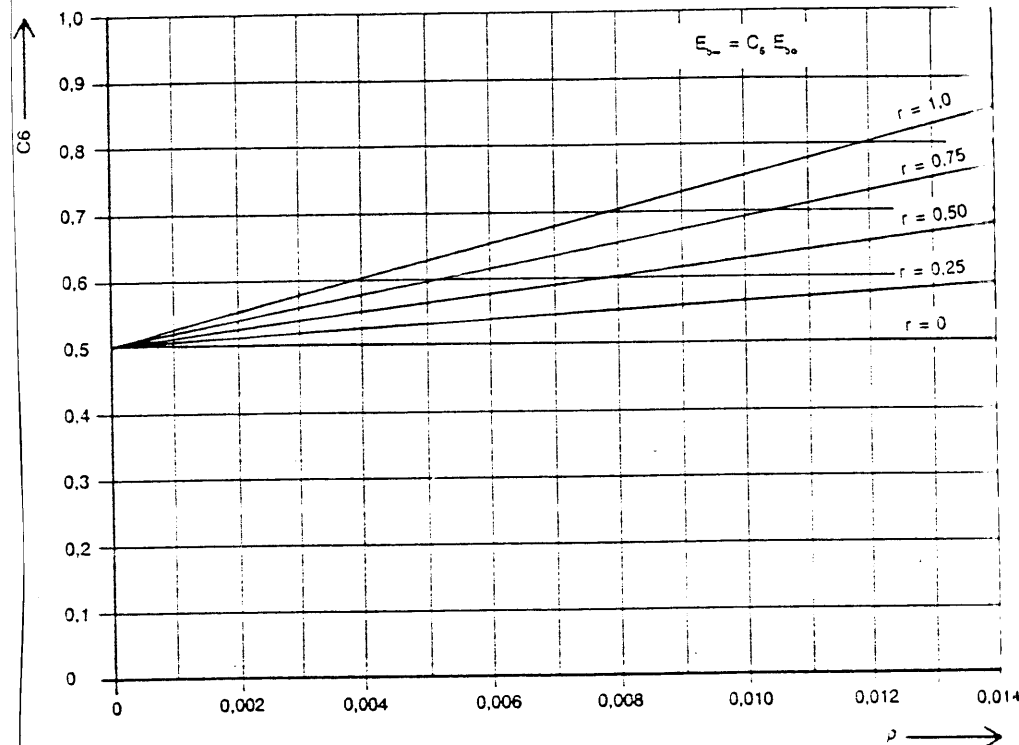
Gambar 9.4.c



Gambar 9.4 d

Koefisien momen inersia efektif C_5 

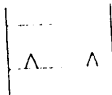
Gambar 9.5



Gambar 9.6

BAB Retak

10



10 Tabel untuk jarak maksimum tulangan s_{\max} dalam satuan mm bila retakan tidak diperhitungkan

Komponen-struktur	Persyaratan	$f_y = 400$
Lantai	dalam ruangan $\phi_D \leq 36$ mm	1085 *)
	di luar ruangan $\phi_D \leq 16$ mm	225
	dalam ruangan $\phi_D > 16$ mm	155
Balok	dalam ruangan	230
	di luar $\phi_D < 16$ mm	135
	di luar $\phi_D > 36$ mm	100

*) Lebar maksimum jaringan menurut SKSNI T15-1991-03 : 2 h
Lebar maksimal jaringan menurut SKSNI T15-1991-03 : 500 mm

s_{\max} didasarkan pada:

Untuk lantai dalam ruangan $d_c = 30$ mm

$$w = 0,40 \text{ mm}$$

Untuk lantai di luar ruangan $\phi_D < 16$: $d_c = 50$ mm

$$w = 0,30 \text{ mm}$$

Untuk lantai di luar ruangan $\phi_D > 16$: $d_c = 60$ mm

$$w = 0,30 \text{ mm}$$

Untuk balok dalam ruangan $d_c = 65$ mm

$$w = 0,40 \text{ mm}$$

Untuk balok di luar ruangan $\phi_D < 16$: $d_c = 65$ mm

$$w = 0,30 \text{ mm}$$

Untuk balok di luar ruangan $\phi_D > 16$: $d_c = 75$ mm

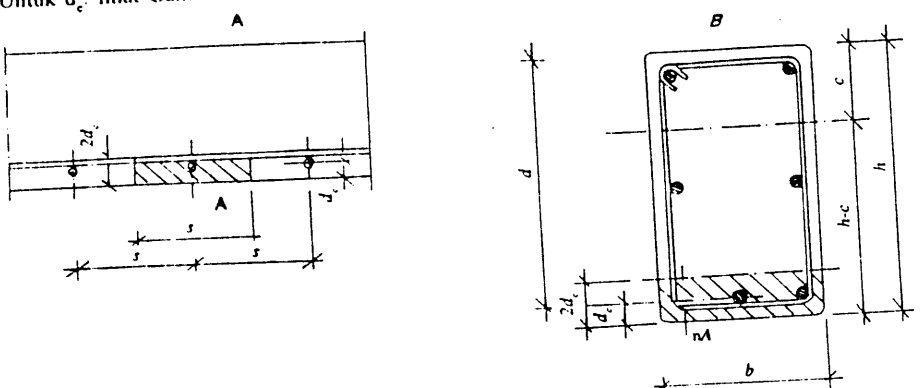
$$w = 0,30 \text{ mm}$$

$$z = 0,6 f_y \sqrt{d^2_c} \cdot s < 30 \text{ MN/m dalam ruangan}$$

< 25 MN/m di luar ruangan

Untuk balok $s = \frac{b}{h}$, dengan n adalah jumlah batang tulangan

Untuk d_c : lihat Gambar 10.



Gambar 10. Menentukan harga dc